





دانشکده برق و رباتیک

گروه کنترل

پایان نامه کارشناسی ارشد

کنترل مقاوم H_{∞} برای مبدل SEPIC در کاربردهای فتوولتائیک

وحید کمالی

استاد راهنما:

دکتر حسین قلیزاده نرم

شهریور ۱۳۹۴

ب

تقدیم به

ما حصل آموخته بایم را تقدیم می کنم به آمان که مهر آسمانی شان آرام بخش آلام زینی ام است

به استوار ترین نکیه کاهم، دستان پر مهر پدرم

به سبزترین نگاه زندگیم، چنان سبز مادرم

که هرچه آموختم در مکتب عشق شنا آموختم و هرچه بکوشم قله رهایی از دنیا بی کران مهر بانستان را سپاس تو انعم بگویم . امروز
هستی ام به امید شماست و فرد اکمید باغ بهشتم رضای شما، ره آوردی گران سکن تراز این ارزان نداشتم تا به خاک پیستان شارکنم،
باشد که حاصل تلاش نیم کونه غبار حکیستان را بزداید.

بوسه بر دستان پر مهران

تقدیر و شکر

شایسته است از استاد فرهنگت و فرزانه بخاناب آقای دکتر حسین قلیزاده نرم

که با کرامتی چون خورشید، سر زمین دل را روشنی بخشیدند و گفشن سرای علم و دانش را بار احمدانی های کارساز و سازنده بارور ساختند؛ تقدیر و شکر نایم.

معلم مقامات ز عرش بر ترباد همینه تو سن اندیشه ات متفرباد

به گفته های دلاویز و گفته های بلند صحیفه های سخن از تو علم پرور باد

همچین از پدر و مادر عزیز، دل روز و مهر بانم که آرامش روحی و آسلیش فکری فراهم نمودند تا با حیات های همه جانبه در محیطی مطلوب، مرتب تحصیلی و نیز پیمان نامه درسی را به نحو احسن به اتمام برسانم؛ پاسکنواری نایم.

شکر خدا که هر چه طلب کردم از خدا بر من تهای هست خود کامران شدم

تعهد نامه

اینجانب وحید کمالی دانشجوی دوره کارشناسی ارشد رشته برق دانشکده برق و ریاتیک دانشگاه شاهرود نویسنده پایان نامه کنترل مقاوم H_{∞} برای مبدل SEPIC در کاربردهای فتوولتائیک تحت راهنمایی دکتر حسین قلی زاده نرم متعهد می شوم.

- تحقيقات در این پایان نامه توسط اینجانب انجام شده است و از صحت و اصالت برخوردار است.
- در استفاده از نتایج پژوهش‌های محققان دیگر به مرجع مورد استفاده استناد شده است.
- مطلوب مندرج در پایان نامه تاکنون توسط خود یا فرد دیگری برای دریافت هیچ نوع مدرک یا امتیازی در هیچ جا ارائه نشده است.
- کلیه حقوق معنوی این اثر متعلق به دانشگاه شاهرود می باشد و مقالات مستخرج با نام «دانشگاه شاهرود» و یا «Shahrood University» به چاپ خواهد رسید.
- حقوق معنوی تمام افرادی که در به دست آمدن نتایج اصلی پایان نامه تأثیرگذار بوده اند در مقالات مستخرج از پایان نامه رعایت می گردد.
- در کلیه مراحل انجام این پایان نامه ، در مواردی که از موجود زنده (یا بافت‌های آنها) استفاده شده است ضوابط و اصول اخلاقی رعایت شده است.
- در کلیه مراحل انجام این پایان نامه، در مواردی که به حوزه اطلاعات شخصی افراد دسترسی یافته یا استفاده شده است اصل رازداری ، ضوابط و اصول اخلاق انسانی رعایت شده است

تاریخ

امضای دانشجو

مالکیت نتایج و حق نشر

- کلیه حقوق معنوی این اثر و محصولات آن (مقالات مستخرج، کتاب، برنامه های رایانه ای، نرم افزار ها و تجهیزات ساخته شده است) متعلق به دانشگاه شاهرود می باشد. این مطلب باید به نحو مقتضی در تولیدات علمی مربوطه ذکر شود.
- استفاده از اطلاعات و نتایج موجود در پایان نامه بدون ذکر مرجع مجاز نمی باشد.

چکیده

برای تثبیت ولتاژ خروجی سیستم‌های فتوولتائیک معمولاً از مبدل‌های DC-DC استفاده می‌شود، در بین این مبدل‌ها مبدل SEPIC با توجه به ویژگی‌هایی که دارد گزینه‌ای مناسب برای این کار است. هرچه این مبدل بهتر کنترل شود بازدهی کلی سیستم افزایش می‌یابد، با توجه به رفتار غیرخطی، عدم قطعیت‌های موجود، تغییرات پارامتری، اغتشاشات بار و ولتاژ ورودی متغیر در مبدل‌های DC-DC، عموماً کنترل‌کننده‌های خطی کلاسیک کارایی مطلوب خود را از دست داده و عملکرد کنترلی مناسبی از خود نشان نمی‌دهند. کنترل‌کننده‌های مقاوم بهینه خطی H_{∞} عملکرد پایان‌نامه با هدف کنترل ولتاژ مبدل SEPIC در حضور تغییرات پارامتری سیستم با استفاده از روش کنترل مقاوم H_{∞} ارائه شده است. به همین منظور، پس از معرفی مبدل SEPIC، مدل فضای حالت سیستم و مدل‌سازی سیستم به همراه نامعینی انجام شده و کنترل‌کننده مقاوم H_{∞} برای کنترل ولتاژ خروجی طراحی شده است. سپس نتایج عملکرد کنترل‌کننده مقاوم و نیز مقایسه با روش کنترل‌کننده PI ارائه شده است. نتایج شبیه‌سازی برتری کنترل‌کننده مقاوم H_{∞} را نسبت به کنترل‌کننده PI نشان می‌دهد.

واژه‌های کلیدی: کنترل‌کننده مقاوم H_{∞} , مبدل SEPIC, نامعینی, کنترل‌کننده PI

لیست مقالات استخراج شده:

[۱] و.کمالی، ح.قلی زاده نرم، ”کنترل مقاوم H_{∞} برای مدل SEPIC در کاربردهای فتوولتائیک“

دومین کنفرانس و نمایشگاه بین المللی انرژی خورشیدی دانشگاه تهران، ۱۳۹۴

فهرست مطالب

۱	فصل ۱ مقدمه
۲	۱-۱ مقدمه
۵	۲-۱ مروری بر کارهای انجام شده
۷	۳-۱ اهداف پایان نامه
۸	۴-۱ ساختار پایان نامه
۹	فصل ۲ معرفی مبدل های مورد استفاده در سیستم های فتوولتائیک
۱۰	۱-۲ مقدمه
۱۰	۲-۲ مبدل های غیر ایزوله با بهره ولتاژ بالا
۱۱	۱-۲-۲ مبدل افزاینده ساده
۱۲	۲-۲-۲ مبدل افزاینده اینترلیود
۱۲	۳-۲-۲ مبدل افزاینده بهره بالا با سلف تزویج
۱۳	۴-۲-۲ مبدل افزاینده بهره بالا با سوئیچ خازنی
۱۴	۵-۲-۲ مبدل افزاینده بهره بالا با سلف و سوئیچ خازنی
۱۴	۶-۲-۲ مبدل افزاینده بهره بالا با سلف تزویج و سوئیچ خازنی
۱۵	۷-۲-۲ مبدل سری
۱۶	۸-۲-۲ مبدل SEPIC
۱۷	۳-۲ مبدل های ایزوله با بهره ولتاژ بالا

۱۷	۱-۳-۲ مبدل پوش-پول
۱۸	۲-۳-۲ مبدل نیمپل
۱۹	۳-۳-۲ مبدل تمامپل
۲۱	فصل ۳ طراحی کنترل کننده مقاوم H_{∞} برای مبدل SEPIC
۲۲	۱-۳ مقدمه
۲۲	۲-۳ مدلسازی، نامعینی
۲۴	۳-۳ تابع تبدیل حساسیت
۲۶	۴-۳ تحلیل پایداری و کارایی سیستم‌های کنترل مقاوم
۲۶	۱-۴-۳ پایداری داخلی
۲۸	۲-۴-۳ کارایی نامی
۲۸	۳-۴-۳ پایداری مقاوم
۲۹	۴-۴-۳ کارایی مقاوم
۳۰	۵-۳ مبدل SEPIC
۳۰	۱-۵-۳ مزایای مبدل
۳۱	۲-۵-۳ شرح عملکرد مبدل
۳۵	۳-۵-۳ محاسبه عناصر مبدل
۳۷	۴-۵-۳ مدلسازی فضای حالت مبدل
۴۱	۶-۳ طراحی کنترل کننده مقاوم H_{∞} برای مبدل SEPIC
۴۲	۱-۶-۳ انتخاب توابع وزنی

۲-۶-۳ انتخاب کنترل کننده ۴۴	
۷-۳ طراحی کنترل کننده به روش سنتز μ برای مبدل SEPIC ۴۸	
۸-۳ طراحی کنترل کننده PI برای مبدل SEPIC ۵۰	
۹-۳ طراحی کنترل کننده H_{∞} برای مبدل افزاینده ساده ۵۱	
۱۰-۳ نتیجه گیری ۵۴	
فصل ۴ شبیه سازی ۵۵	
۱-۴ مقدمه ۵۶	
۲-۴ شبیه سازی مبدل SEPIC با کنترل کننده مقاوم H_{∞} در مدل میانگین ۵۶	
۳-۴ شبیه سازی مبدل SEPIC با کنترل کننده مقاوم ۶۰	
۴-۴ شبیه سازی مبدل SEPIC با کنترل کننده سنتز μ ۶۴	
۵-۴ شبیه سازی مبدل SEPIC با کنترل کننده PI ۶۸	
۶-۴ شبیه سازی مبدل افزاینده ساده با کنترل کننده مقاوم ۷۲	
۷-۴ نتیجه گیری ۷۷	
فصل ۵ نتیجه گیری و پیشنهادات ۷۹	
۱-۵ نتیجه گیری ۸۰	
۲-۵ پیشنهادات ۸۱	

فهرست شکل‌ها

شکل ۱-۱: (الف) دمای ثابت ۲۵ درجه و شدت تابش‌های مختلف.(ب) تابش ثابت m^2 / W ۱۰۰۰ و دماهای متفاوت	۴
شکل ۲-۱: بلوک دیاگرام کلی سیستم کنترل آرایه فتوولتائیک	۴
شکل ۲-۲: شماتیک یک سیستم فتوولتائیک تکفاز	۱۰
شکل ۲-۳: مبدل افزاینده ساده	۱۱
شکل ۲-۴: مبدل افزاینده اینترلیود	۱۲
شکل ۲-۵: مبدل افزاینده بهره بالا با سلف تزویج	۱۳
شکل ۲-۶: مبدل افزاینده بهره بالا با سلف و سوئیچ خازنی	۱۴
شکل ۲-۷: مبدل افزاینده بهره بالا با سلف تزویج و سوئیچ خازنی	۱۵
شکل ۲-۸: مبدل سری	۱۶
شکل ۲-۹: مبدل SEPIC	۱۷
شکل ۲-۱۰: مبدل پوش-پول	۱۸
شکل ۲-۱۱: مبدل نیمپل ایزوله	۱۸
شکل ۲-۱۲: مبدل تمامپل	۱۹
شکل ۳-۱: حلقه‌ی طراحی کنترل‌کننده پسخورد	۲۴
شکل ۳-۲: یک سیستم کنترل متداول	۲۶
شکل ۳-۳: نمایی از یک سیستم نامی با نامعینی ضربی	۲۹
شکل ۳-۴: (الف) مدار برای کلید بسته و دیود خاموش (ب) مدار برای کلید باز و دیود روشن	۳۲

شکل ۳-۵: نمودار بود سیستم نامی و دارای نامعینی.....	۴۱
شکل ۳-۶: مقادیر ویژه دو کنترلکننده مرتبه ۷ و مرتبه کاهش یافته	۴۵
شکل ۳-۷-۳: دیاگرام بود دو کنترلکننده مرتبه ۷ و مرتبه کاهش یافته	۴۵
شکل ۳-۸: بررسی پایداری مقاوم سیستم حلقه بسته	۴۶
شکل ۳-۹: بررسی عملکرد نامی سیستم حلقه بسته	۴۷
شکل ۳-۱۰: بررسی عملکرد مقاوم سیستم حلقه بسته	۴۷
شکل ۳-۱۱: μ سیستم حلقه بسته	۴۹
شکل ۳-۱۲: نوسان نامیرا با زمان تناوب.....	۵۰
شکل ۳-۱۳: بررسی پایداری مقاوم سیستم حلقه بسته مبدل افزاینده ساده	۵۳
شکل ۳-۱۴: بررسی عملکرد نامی سیستم حلقه بسته مبدل افزاینده ساده	۵۳
شکل ۳-۱۵: بررسی عملکرد مقاوم سیستم حلقه بسته مبدل افزاینده ساده	۵۴
شکل ۴-۱: ولتاژ خروجی مبدل SEPIC با کنترلکننده مقاوم مرتبه ۷ در مدل میانگین.....	۵۷
شکل ۴-۲: خطای ولتاژ خروجی مطلوب و کنترل شده مبدل SEPIC در حالت مدل میانگین	۵۷
شکل ۴-۳: ولتاژ خروجی مبدل SEPIC با کنترلکننده مقاوم مرتبه کاهش یافته در مدل میانگین	۵۸
شکل ۴-۴: خطای ولتاژ خروجی مطلوب و کنترل شده مبدل SEPIC با کنترلکننده مرتبه کاهش یافته در حالت مدل میانگین	۵۹
شکل ۴-۵: نمایی از مبدل SEPIC حلقه بسته	۶۰
شکل ۴-۶: ولتاژ خروجی مبدل SEPIC با کنترلکننده مقاوم H_{∞}	۶۱
شکل ۴-۷: ولتاژ خروجی مبدل SEPIC با کنترلکننده مقاوم H_{∞}	۶۱
شکل ۴-۸: ریپل ولتاژ خروجی مبدل SEPIC با کنترلکننده مقاوم H_{∞}	۶۲
شکل ۴-۹: خطای ولتاژ خروجی مبدل SEPIC با کنترلکننده مقاوم H_{∞}	۶۳
شکل ۴-۱۰: سیگنال کنترلکننده مقاوم H_{∞} برای مبدل SEPIC	۶۴

شکل ۱۱-۴: ولتاژ خروجی مبدل SEPIC با استفاده از کنترل کننده مقاوم سنتز	۶۵
شکل ۱۲-۴: ولتاژ خروجی مبدل SEPIC با استفاده از کنترل کننده مقاوم سنتز	۶۵
شکل ۱۳-۴: ریپل ولتاژ خروجی مبدل SEPIC با استفاده از کنترل کننده مقاوم سنتز	۶۶
شکل ۱۴-۴: خطای ولتاژ خروجی مبدل SEPIC با استفاده از کنترل کننده مقاوم سنتز	۶۷
شکل ۱۵-۴: سیگنال کنترل کننده مقاوم سنتز برای مبدل SEPIC	۶۷
شکل ۱۶-۴: ولتاژ خروجی مبدل SEPIC با کنترل کننده PI	۶۸
شکل ۱۷-۴: ولتاژ خروجی مبدل SEPIC با کنترل کننده PI	۶۹
شکل ۱۸-۴: ریپل ولتاژ خروجی مبدل SEPIC با کنترل کننده PI	۷۰
شکل ۱۹-۴: خطای ولتاژ خروجی مبدل SEPIC با کنترل کننده PI	۷۱
شکل ۲۰-۴: خطای ولتاژ خروجی مبدل SEPIC با کنترل کننده PI	۷۱
شکل ۲۱-۴: نمایی از مبدل افزاینده ساده حلقه بسته	۷۲
شکل ۲۲-۴: ولتاژ خروجی مبدل افزاینده ساده با کنترل کننده مقاوم	۷۳
شکل ۲۳-۴: ولتاژ خروجی مبدل افزاینده ساده با کنترل کننده مقاوم	۷۳
شکل ۲۴-۴: ریپل ولتاژ خروجی مبدل افزاینده ساده با کنترل کننده مقاوم	۷۴
شکل ۲۵-۴: خطای ولتاژ خروجی مبدل افزاینده ساده با کنترل کننده مقاوم	۷۵
شکل ۲۶-۴: خطای ولتاژ خروجی مبدل افزاینده ساده با کنترل کننده مقاوم	۷۵
شکل ۲۷-۴: سیگنال کنترل کننده مقاوم H_{∞} برای مبدل افزاینده ساده	۷۶

فهرست جداول

جدول ۱-۳ : انواع نامعینی ۲۳
جدول ۲-۳: مشخصات پنل استفاده شده برای طراحی ۳۶
جدول ۳-۳: پارامترهای مبدل انتخابی و دامنه تغییرات درنظرگرفته شده ۳۷
جدول ۴-۳ : قواعد تنظیم زیگلر- نیکلز ۵۱
جدول ۵-۳ : پارامترهای مبدل افزاینده و دامنه تغییرات ۵۱

فصل ۱

مقدمه

۱-۱ مقدمه

گرم شدن زمین و مسائل مرتبط با انرژی‌های فسیلی از مباحث مهم جامعه جهانی در سال‌های اخیر بوده است. اکثر کشورهای جهان تلاش می‌کنند تا تولید گازهای گلخانه‌ای را طبق پیمان کیوتو کاهش دهند. برای مثال اتحادیه اروپا تصمیم گرفته است که تا سال ۲۰۲۰ تولید گازهای گلخانه‌ای را ۲۰٪ نسبت به سال ۱۹۹۰ کاهش دهد و تولید انرژی از منابع تجدید پذیر به ۲۰٪ برساند [۱].

انرژی خورشیدی در قالب سیستم‌های فتوولتائیک^۱ (PV) یکی از مهم‌ترین این نوع انرژی‌هاست. انرژی خورشیدی در قالب سیستم‌های فتوولتائیک، اولین بار برای کاربردهای فضایی ابداع شده بودند و بعدها کاربرد آن به عنوان مبدل انرژی خورشیدی به الکتریکی در کره زمین متداول گردید. اگرچه انرژی خورشیدی هنوز به میزان کمی از نظر اقتصادی مقرن به صرفه نیست، ولی سال‌های اخیر کاهش چشمگیری در هزینه‌های بهره‌برداری آن‌ها مشاهده گردیده است و انتظار می‌رود در آینده نیز با تحقیقات بیشتر، این کاهش قیمت ادامه یابد. این انرژی دارای مزایای مهمی همچون ناتمام بودن، عملکرد بدون صدا، نداشتن قسمت محرک و مکانیکی، سازگار با محیط‌زیست و عدم آلودگی می‌باشد. استفاده از این نوع انرژی می‌تواند در جهت تأمین انرژی الکتریکی مصرف‌کنندگان شهری و مصرف‌کنندگانی که به شبکه توزیع به علت شرایط جغرافیایی دسترسی ندارند، بسیار مقرن به صرفه و مشکل‌گشا واقع شود. اساساً این نوع سیستم‌ها به دو صورت متصل و یا منفصل از شبکه قدرت بهره‌برداری می‌شود. سیستم‌های متصل به شبکه قدرت، به منظور تزریق توان آرایه‌های فتوولتائیک به شبکه توزیع در ضریب توان واحد و در حد امکان کمک به افزایش کیفیت توان شبکه و بار متصل به آن به کار می‌روند. این سیستم‌ها غالباً در سقف یا حیاط ساختمان‌های مسکونی و یا اداری نصب و استفاده می‌شوند. سیستم‌های منفصل از شبکه برای تأمین انرژی الکتریکی به دور از شبکه توزیع و یا باهدف صرفه‌جویی در مصرف انرژی الکتریکی به طور مستقل از شبکه توزیع بکار می‌روند. پمپ‌های

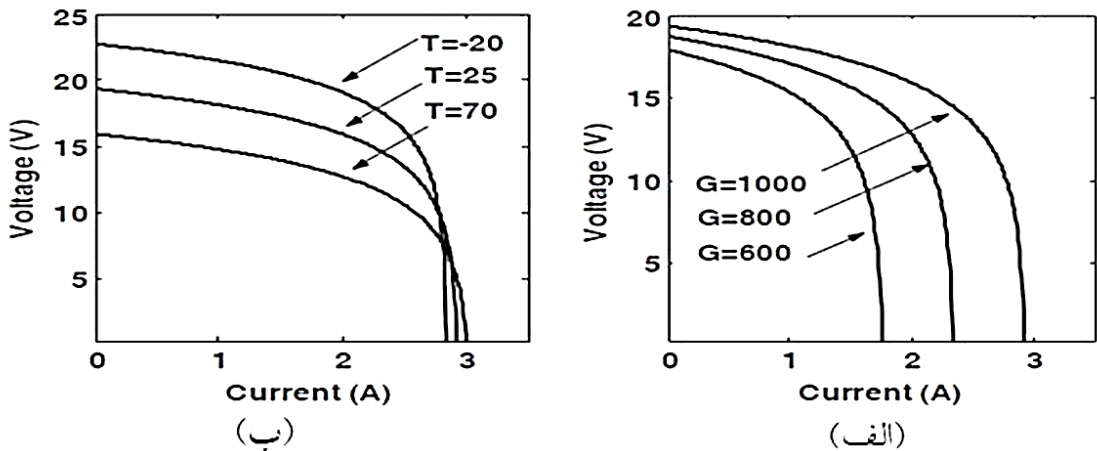
^۱Photovoltaic

آب صحرايی، شارژ کننده‌های باتری و آبگرم کن‌های خورشیدی نمونه‌ای از اين کاربردها می‌باشند.

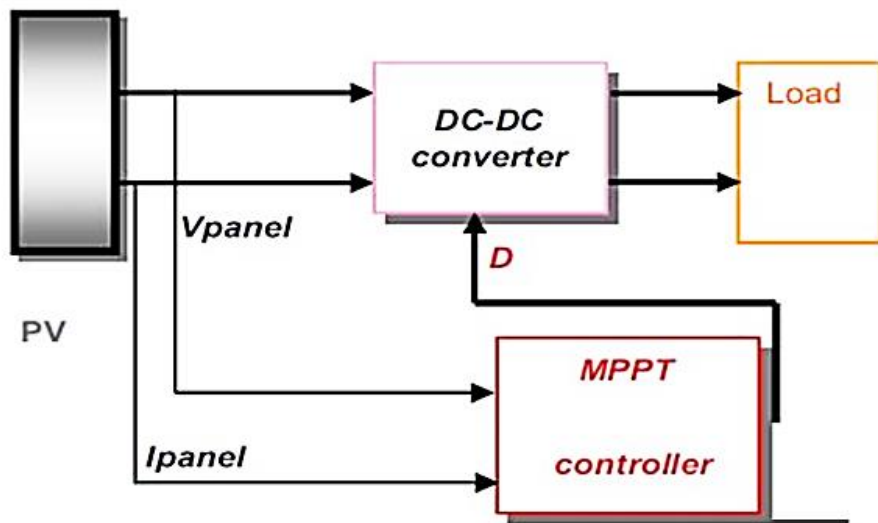
امروزه اکثریت قریب به اتفاق ظرفیت نصب شده سیستم‌های فتوولتائیک، متصل به شبکه می‌باشند به طوری که بخش مستقل از شبکه در حدود ۲٪ از ظرفیت جهانی را به خود اختصاص داده است. با این وجود جذابیت‌ها در سیستم‌های مستقل از شبکه و سیستم‌های مقیاس کوچک در کشورهای در حال توسعه به چشم می‌خورد (در بخش برق‌رسانی روستایی) [۲].

مسئله کلیدی در سیستم‌های فتوولتائیک، افزایش بازده آن است. افزایش بازده باعث کاهش قیمت تمام‌شده سیستم فتوولتائیک می‌شود و این مسئله قدرت رقابت را با سایر منابع انرژی افزایش می‌دهد. بازده یک سیستم فتوولتائیک از سه عامل تأثیر می‌پذیرد: عامل اول بازده پنل خورشیدی است (در پنل‌های تجاری این مقدار بین ۸ تا ۱۵ درصد است [۳]). عامل دوم بازده مبدل است. عامل سوم، بازده ردیاب ماکزیمم توان (MPPT^۱) می‌باشد. افزایش بازده پنل خورشیدی به راحتی صورت نمی‌گیرد و منوط به بهبود فناوری ساخت و همچنین استفاده از قطعات گران‌تر است؛ اما مبدل و ردیاب نقطه ماکزیمم با الگوریتم‌های بهتر و مؤثرتر، کم‌هزینه است و منجر به افزایش بازده سیستم فتوولتائیک می‌شود. پنل فتوولتائیک دارای منحنی مشخصه جریان- ولتاژ، غیرخطی است. در این منحنی مشخصه یک نقطه وجود دارد که توان تولیدی پنل ماکزیمم می‌شود، این نقطه به شرایط محیطی، دمای پنل و میزان تابش بستگی دارد (شکل ۱-۱). در صورتی که ردیابی نقطه ماکزیمم صورت نگیرد، بازده سیستم فتوولتائیک بهشت کاهش می‌یابد؛ بنابراین ردیاب کننده توان بیشینه که بتواند همواره در شرایط مختلف حداکثر توان را از سیستم فتوولتائیک دریافت کند، به جزئی ضروری در سیستم‌های فتوولتائیک تبدیل شده است (بلوک دیاگرام کلی سیستم کنترل آرایه فتوولتائیک‌شکل ۲-۱).

^۱ Maximum Power Point Tracking



شکل ۱-۱: (الف) دمای ثابت ۲۵ درجه و شدت تابش های مختلف.(ب) تابش ثابت 1000 W / m^2 و دماهای متفاوت [۴]



شکل ۱-۲: بلوك دیاگرام کلی سیستم کنترل آرایه فتوولتائیک

سیستم های PV انرژی الکتریسیته را به شکل DC آن تولید می کنند. اگر انرژی مصرفی بارها به شکل انرژی الکتریکی AC باشند، هر نوع سیستم های تجدید پذیر چه به صورت منفصل و چه به

صورت متصل به شبکه نیازمند تبدیل توان از شکل DC به AC توسط یک اینورتر (Inverter) خواهد بود. از طرفی ولتاژ DC منبع PV در سطح پایین‌تری از سطح ولتاژ شبکه و یا ولتاژ موردنیاز بار به دست خواهد آمد و چون اینورترهای معمولی مبدل‌های کاهنده ولتاژ می‌باشند، ناگزیر به استفاده از مبدل افزاینده ولتاژ می‌شویم؛ اما در صورتی که بار مصرفی خروجی DC باشد، در این صورت نیز به دلیل تولید ولتاژ با سطح پایین توسط سیستم PV، نیازمند یک طبقه مبدل افزاینده ولتاژ خواهیم بود.

در یک سیستم با منبع ورودی PV، هدف از قرار دادن مبدل توان، علاوه بر افزایش سطح ولتاژ و تبدیل توان (در صورت نیاز)، استحصال حداکثر توان از منبع توان PV می‌باشد. این اهداف کنترلی توسط الگوریتم مدیریت توان و سیستم کنترل و با استفاده از متغیرهای کنترلی که مثلاً در یک مبدل افزاینده^۱ دوره وظیفه^۲ (D) و در یک اینورتر می‌تواند شیفت فاز و ضریب مدولاسیون باشد، به سیستم اعمال می‌شود؛ بنابراین مبدل‌های الکترونیک قدرت بخش جدایی‌ناپذیر سیستم‌های PV می‌باشند.

۲-۱ مروجی بر کارهای انجام شده

تاکنون تحقیقات متعددی در زمینه‌ی کنترل سیستم‌های الکترونیک قدرت به‌خصوص مبدل‌های DC-DC صورت گرفته است. در سال‌های اخیر استراتژی‌های کنترلی مختلفی برای این مبدل‌ها به کار گرفته شده است. با توجه به رفتار غیرخطی و عدم قطعیت‌های موجود، تغییرات پارامتری، اغتشاشات بار و ولتاژ ورودی متغیر در مبدل‌های DC-DC عموماً کنترل‌کننده‌های خطی کلاسیک به کاررفته کارایی خوب خود را از دست داده، پایداری سیستم را تضمین نمی‌کنند و عملکرد کنترلی مطلوبی از خود نشان نمی‌دهند[۵ و ۶]

در مرجع[۷] نویسنده، با استفاده از تکنیک‌های خطی‌سازی حول نقطه کار، به تخمین

¹ Boost

² Duty Cycle

غیرخطی‌های سیستم پرداخته است. البته این روش در سیستم‌هایی که صفر دینامیکی آن‌ها مینیمم فاز^۱ نباشد پاسخ قابل قبولی در بر نخواهد داشت و نمی‌تواند پایداری سیستم را تضمین نماید.

با توجه به دلایل ذکر شده روش‌های کنترل مقاوم مرسوم، جهت بهبود عملکرد مبدل‌های سوئیچینگ موردنظر قرار گرفته‌اند. نویسنده‌گان در [۸] با به کار گیری تکنیک گام به عقب، یک کنترل کننده مقاوم در برابر عدم قطعیت‌های پارامتری، برای تنظیم ولتاژ خروجی مبدل افزاینده طراحی کردند. همچنین در [۹] یک کنترل کننده H_2 مقاوم به مبدل افزاینده اعمال شده است. کنترل مقاوم H_∞ نیز یکی دیگر از روش‌های کنترلی است که نویسنده‌گان در [۱۰] با استفاده از حل معادله ریکاتی در یک مبدل افزاینده به کار بسته‌اند. همچنین در مرجع [۴۱] از روش کنترلی شکل-دهی حلقه H_∞ برای مبدل افزاینده ولتاژ ثابت مرتبه ۲ استفاده کرده است.

در این تحقیق مبدل SEPIC^۲ مورد بررسی و مطالعه قرار گرفته است که به تفصیل در فصل سوم توضیح داده می‌شود. تاکنون روش‌های کنترلی متنوعی برای مبدل SEPIC پیشنهاد شده است: مرجع [۱۱] از کنترل تطبیقی استفاده کرده است، در کنترل تطبیقی تغییرات ناگهانی به خوبی پاسخ داده نمی‌شود و نیاز به تغییر قوانین کنترلی می‌باشد. مرجع [۱۲] به کنترل PI تنظیم شده با شبکه عصبی پرداخته است که محاسبات و طراحی پیچیده مشکل عمدۀ این روش کنترلی محسوب می‌شود و مرجع [۱۳] کنترل فازی را پیشنهاد داده است، این روش نیز مانند کنترل عصبی حجم محاسبات زیادی داشته و برای تنظیم قواعد آن نیاز به دانش فرد خبره است. در [۱۴] کنترل حالت لغزشی استفاده شده است، گرچه این روش کنترلی مقاومت مناسبی در برابر نامعینی‌ها دارد اما باید به معایبی همچون بهره بالای کنترل کننده و وجود لرزش^۳ سیگنال کنترل نیز توجه داشت [۱۵]. بررسی‌های انجام شده فوق باعث می‌شود که دید بهتری به کنترل کننده‌های مقاوم داشته باشیم،

¹ Minimum Phase

² Single-Ended Primary Inductor converter

³ Chattering

کنترل کننده های مقاوم بهینه خطی H_{∞} عملکرد مطلوبی را در برابر نامعینی ها (پارامتری و غیر پارامتری) و اغتشاشات از خود نشان می دهد [16].

۳-۱ اهداف پایان نامه

اغلب در مبدل های DC-DC هدف اصلی تنظیم ولتاژ خروجی است حال باید سیستم کنترلی برای این مبدل ها به گونه ای طراحی شود که این هدف به صورت مطلوب و با رعایت استانداردهای موجود محقق گردد. اول این که باید ولتاژ خروجی در کمترین زمان ممکن به نقطه تنظیم مطلوب همگرا شود، همچنین بالازدگی آن باید کم باشد. می توان با کنترل کننده های کلاسیک متداول مانند PI، به موارد گفته شده دست یافت.

اما با توجه به این که مقدار عناصر به کار گرفته شده در مدار مثل خازن، سلف و مقاومت معمولاً با مقدار گفته شده نامی توسط تولید کنندگان می تواند متفاوت باشد کارایی کنترل کننده های متداول با محدودیت روبرو خواهد شد. از سوی دیگر با وجود اغتشاشات خارجی و امکان تغییر بار نیاز به کنترل کننده ای می باشد که بتواند بر تمام این محدودیتها غلبه کند، روش های طراحی کنترل مقاوم در حوزه فرکانس مانند H_{∞} برای طراحی کنترل کننده با در نظر گرفتن موارد فوق امتحان خود را پس داده اند. تمرکز اصلی ما در این پایان نامه استفاده از روش کنترل مقاوم H_{∞} برای طراحی کنترل کننده برای مبدل SEPIC است. اهداف اصلی این پایان نامه را در موارد زیر خلاصه کرد:

۱. طراحی کنترل کننده مقاوم H_{∞} به منظور غلبه بر نامعینی ها و تغییرات بار
۲. دستیابی به پایداری و کارایی مقاوم سیستم کنترلی
۳. مقایسه کنترل کننده مقاوم H_{∞} با کنترل کننده PI
۴. مقایسه کنترل کننده مقاوم H_{∞} با یکی دیگر از روش های کنترل مقاوم (سنترز μ)
۵. مقایسه بین مبدل SEPIC و مبدل افزاینده با کنترل کننده مقاوم H_{∞}

۴-۱ ساختار پایان نامه

این پایان نامه در ۵ فصل تدوین شده است که بعد از فصل مقدمه بدین ترتیب ارائه می‌گردد:

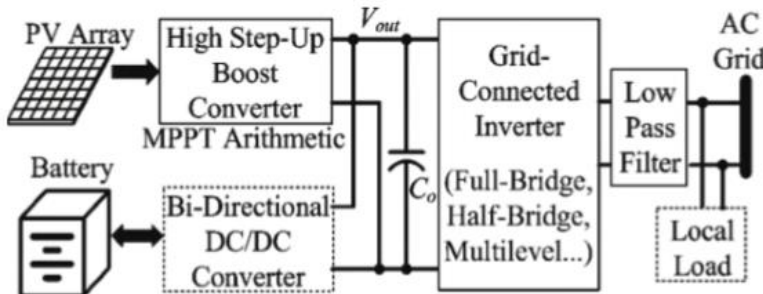
فصل مبدل‌های مورداستفاده شده در سیستم‌های فتوولتائیک معرفی می‌شوند، در فصل سوم ابتدا کنترل مقاوم H_{∞} بررسی می‌شود سپس مبدل SEPIC معرفی و کنترل کننده‌های مقاوم و PI برای این مبدل و مقاوم برای مبدل افزاینده طراحی می‌شود. در فصل چهارم نتایج شبیه‌سازی بر روی مدل دقیق برای تائید مطالب و اثبات کارایی طرح پیشنهادی ارائه می‌شود. در نهایت فصل پنجم نتیجه-گیری و پیشنهادها برای کارهای آینده ارائه می‌شود.

فصل ۲

معرفی مبدل‌های مورد استفاده در سیستم‌های فتوولتائیک

۱-۲ مقدمه

ولتاژ خروجی آرایه‌های PV نسبتاً کم است و برای رسیدن به ولتاژ بایاس بالا برای شبکه‌های مبدل‌های تمام پل، نیم پل و یا چند سطحی، از پیکربندی سری PV استفاده می‌شود. ازین‌رو، توان خروجی آرایه PV به علت عدم تطابق مازول و سایه مقطوعی، مخصوصاً در مناطق شهری بهشدت کاهش میابد. شکل ۱-۱ دیاگرام یک سیستم توان شبکه PV تک‌فاز را نشان می‌دهد. در پیکربندی موازی، ولتاژ خروجی آرایه PV کم است برای افزایش ولتاژ PV به یک ولتاژ بالا نیاز به مبدل‌های DC-DC کارآمد و افزاینده بهره بالا می‌باشد. در یک کلام، به علت نیاز به تراکم توان بالا در شبکه‌های تجدیدپذیر، وجود مبدل DC-DC کارآمد، ارزان و با بهره افزاینده بالا الزامی است. در سال‌های اخیر، مبدل‌های زیادی برای این منظور طراحی شده‌اند که در ادامه، انواع ساختارهای مختلف مبدل‌های بهره بالا^۱ در دو کلاس غیرایزوله و ایزوله معرفی شده و مزايا و معایب هر یک موردنبحث قرار می‌گيرد.



شکل ۲-۱: شماتیک یک سیستم فتوولتائیک تک‌فاز

۲-۲ مبدل‌های غیرایزوله با بهره ولتاژ بالا

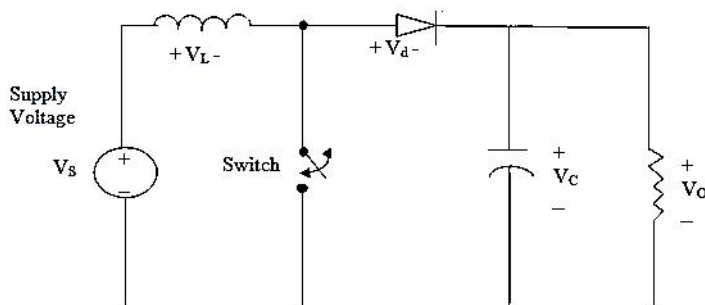
در بعضی از کاربردهای الکترونیک قدرت، حجم ترانسفورمر مبدل‌ها مانع بزرگی است. چراکه

^۱ High Step-Up Converter

افزایش حجم، سلف نشتی ترانسفورمر را بیشتر کرده و ولتاژ بزرگی را روی قطعات مبدل ایجاد می-کند درنتیجه آن تلفات کلیدزنی افزایش می‌باید. این مله ضمن افزایش EMI^۱، راندمان مبدل را کاهش می‌دهد؛ بنابراین وزن، حجم و تلفات ترانسفورمر، فاکتورهای محدودکننده استفاده از مبدل-های ایزوله می‌باشند. در این بخش به بررسی مبدل‌های بهره بالای غیرایزوله پرداخته و محاسن و معایب آن‌ها بیان می‌گردد.

۱-۲-۲ مبدل افزاینده^۲ ساده

مبدل‌های افزاینده مرسوم نمی‌توانند بهره ولتاژ بالایی را، به علت تلفات ناشی از سلف، خازن فیلتری، سوئیچ و دیود خروجی تهیه کنند. از طرفی افزایش بیش از اندازه دوره وظیفه موجب می‌شود که پدیده بازیابی معکوس به‌طورجدی نمایان شده و نرخ توان نامی دیود خروجی نیز افزایش یابد. همچنین این افزایش بیش از اندازه، فرکانس سوئیچینگ^۳ و اندازه سیستم را محدود می‌کند؛ بنابراین تحت این شرایط، بازده بسیار کم است و مشکل تداخل الکترومغناطیسی نیز شدید می‌باشد. شکل ۲-۲ یک مبدل افزاینده ساده را نشان می‌دهد [۴].



شکل ۲-۲: مبدل افزاینده ساده [۴]

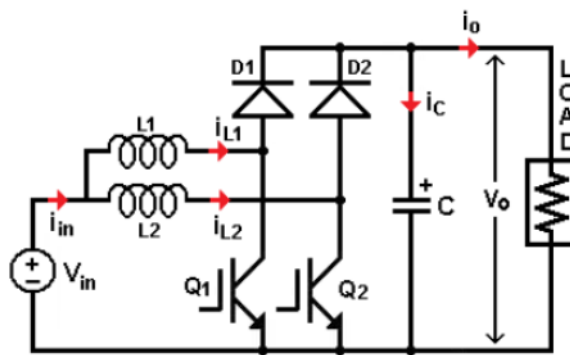
^۱ Electromagnetic Interference

^۲ Boost

^۳ Switching

۲-۴-۲ مبدل افزاینده اینترلیود^۱

تکنیک المان‌های توان موازی یکی از راه حل‌ها برای افزایش تراز توان است. هرچند که این روش هم نمی‌تواند ریپل جریان ورودی و خروجی را کاهش دهد و به علت اختلاف پارامتر المان‌های توان، خود به خودی مشکل می‌باشد. ساختار اینترلیود راه حل مؤثر دیگری برای افزایش تراز توان است که می‌تواند ریپل جریان را کاهش دهد، اندازه مؤلفه پسیو را کم کند، واکنش گذرا را بهبود بخشد و گرما را بین لایه‌ها توزیع کند [۱۷ و ۴]. شکل ۳-۲ یک مبدل افزاینده اینترلیود دوفاز را نشان می‌دهد، به‌هرحال المان‌های توان هنوز در شرایط سوئیچینگ سخت عمل می‌کنند و از آنجایی که در کاربردهای ولتاژ بالا مسئله بازیابی معکوس دیود خروجی جدی است، راندمان مبدل محدود می‌باشد.

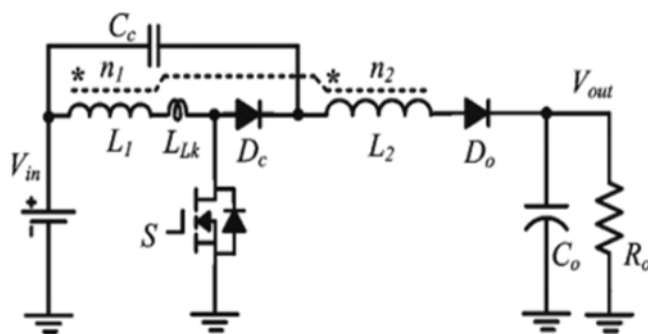


شکل ۳-۲: مبدل افزاینده اینترلیود [۱۷]

۳-۴-۲ مبدل افزاینده بهره بالا با سلف تزویج

سلف تزویج می‌تواند به عنوان یک ترانسفورمر برای افزایش بهره ولتاژ در مبدل‌های DC-DC غیر ایزوله عمل کند، شکل ۴-۲ یک مبدل افزاینده بهره بالا با سلف تزویج را نشان می‌دهد. برای رسیدن به عملکرد سوئیچینگ نرم، یک مبدل بوست افزاینده بهره بالا با سلف تزویج در [۱۸] پیشنهاد شده است. دوره روشنی سوئیچ‌های کمکی بسیار کوتاه است تا تلفات اضافی کاهش یابد اما مدار پیچیده است و هزینه بالاست.

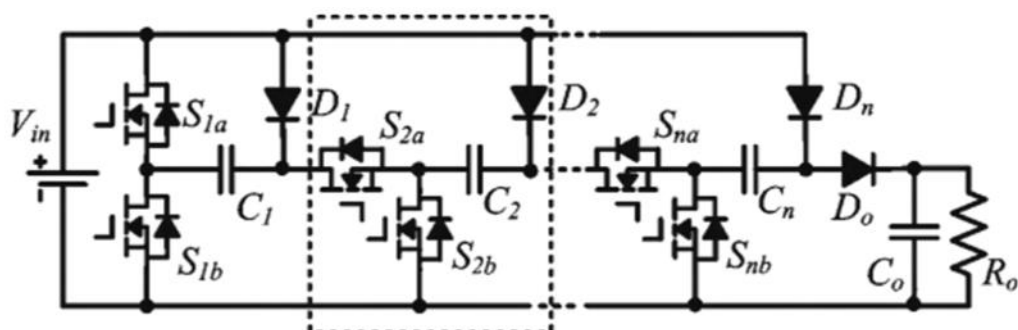
^۱ Interleaved



شکل ۴-۲: مبدل افزاینده بهره بالا با سلف تزویج [۱۸]

۴-۲-۳ مبدل افزاینده بهره بالا با سوئیچ خازنی

خازن می‌تواند به عنوان منبع ولتاژ دیگری برای رسیدن به یک مبدل افزاینده بهره بالا به کاربرده شود، تعداد زیادی از مبدل‌های DC-DC سوئیچ خازنی با نسبت تبدیل بالا در [۱۹] ارائه شده‌اند. در این گونه از مبدل‌ها از مشکل تیزی جریان در مبدل‌های رایج جلوگیری شده است، در شکل ۵-۲ مبدل افزاینده بهره بالا با سوئیچ خازنی مشاهده می‌شود. در مبدل‌های سوئیچ خازنی به هسته مغناطیسی مانند سلف و ترانسفورمر نیاز نیست. برای بهبود تراکم توان، فرکانس سوئیچینگ را می‌توان به سطح بالایی رساند. از این‌رو تعداد زیادی المان توان برای رسیدن به ولتاژ بالا نیاز است که باعث پیچیده‌تر شدن مدار و بالا رفتن هزینه سیستم می‌شود. قابلیت رگولاسیون ولتاژ خروجی در تعییرات بار ضعیف است چراکه ولتاژ خروجی باید کسری یا ضربی از ولتاژ ورودی باشد.



شکل ۵-۲: مبدل افزاینده بهره بالا با سوئیچ خازنی [۱۹]

۵-۴-۲ مبدل افزاینده بهره بالا با سلف و سوئیچ خازنی

مبدل سوئیچ خازنی و مبدل بوست را می‌توان باهم الحاق کرد تا به یک ولتاژ غیر پله‌ای رسید.

خانواده‌ای از مبدل‌های DC-DC تک سوئیچ با بهره ولتاژ بالا در [۲۰] پیشنهاد شده است، شکل ۶-۲

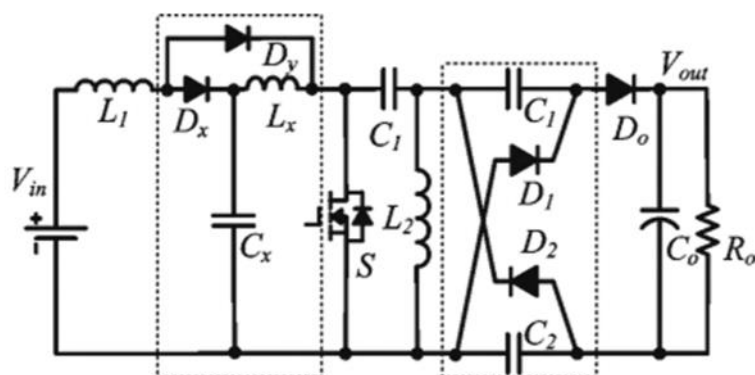
مبدل افزاینده بهره بالا با سلف و سوئیچ خازنی را نشان می‌دهد. بهره ولتاژ مبدل می‌تواند بیشتر شود

و استرس ولتاژ سوئیچ توسط سلول سوئیچ کاهش می‌یابد. ضعف اصلی مبدل‌های افزاینده بهره بالا با

سلف و سوئیچ خازنی، تلفات سوئیچینگ بالای آن است که به علت عملکرد سوئیچینگ سخت رخ

می‌دهد. بعلاوه تعداد المان‌های مغناطیسی زیاد است که بهبود سطح توان را محدود می‌کند؛ بنابراین

از این مبدل‌ها برای کاربردهای توان پایین استفاده می‌شود.



شکل ۶-۴: مبدل افزاینده بهره بالا با سلف و سوئیچ خازنی [۲۰]

۶-۴-۳ مبدل افزاینده بهره بالا با سلف تزویج و سوئیچ خازنی

نوعی ارتقا یافته از مبدل افزاینده بهره بالا با سلف تزویج و سوئیچ خازنی در [۲۱ و ۲۲] پیشنهاد

شده است، شکل ۷-۲ مبدل افزاینده بهره بالا با سلف تزویج و سوئیچ خازنی را نشان می‌دهد. این

مبدل کارایی ذکر شده در ادامه رو دارد:

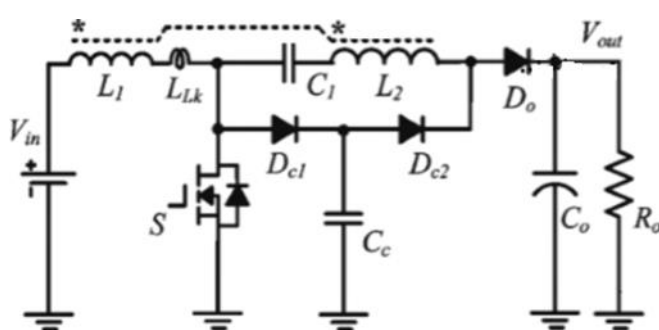
الف) بهره ولتاژ توسط سلف تزویج و سوئیچ خازنی بیشتر شده است.

ب) انرژی نشتی بازیابی شده و حلقه ولتاژ در MOSFET^۱ توسط مدار کلمپ پسیو^۲ حذف شده است.

ج) استرس ولتاژ سوئیچ کم است تا باعث کاهش تلفات هدایتی شود.

د) مسئله بازیابی معکوس دیود خروجی توسط نشتی القایی کاهش یافته است.

ح) مبدل ساده و کنترل آن آسان می‌باشد.



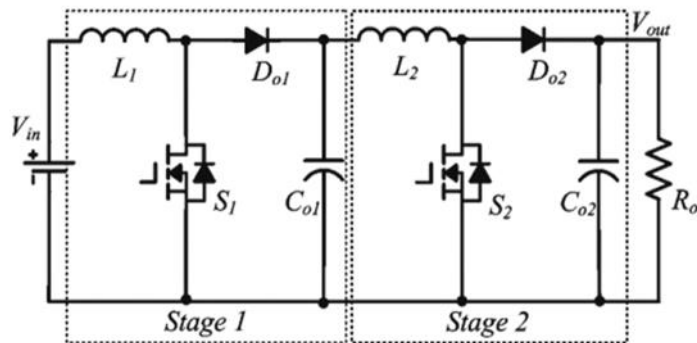
شکل ۷-۲: مبدل افزاینده بهره بالا با سلف تزویج و سوئیچ خازنی [۲۱]

۷-۴-۲ مبدل سری

با به کار بردن ساختار سری بهره ولتاژ را می‌توان افزایش داد و ریپل جریان را کاهش تا نیازهای افزاینده بهره بالا را برآورده سازد. شکل ۸-۲ یک مبدل سری را نشان می‌دهد [۲۳]. استرس ولتاژ طبقه اول کم است و می‌تواند با یک فرکانس سوئیچینگ پایین کار کند تا تلفات سوئیچینگ را کاهش دهد. با این وجود مبدل‌های سری به دو دسته از المان‌های توان نیازمندند، هسته‌های مغناطیسی و مدارات کنترلی پیچیده و گران هستند. مشکل دیگر پایداری سیستم ساختار سری است و از این‌رو مدار کنترل باید بدقت طراحی شود. از آنجایی که برای کاربردهایی با ولتاژ خروجی بالا نیاز است تا در طبقه دوم سطح ولتاژ را بالا نگاه داریم، مشکل بازیابی معکوس دیود خروجی شدید است.

^۱ Metal–Oxide–Semiconductor Field-Effect Transistor

^۲ Passive Clamp Circuit



[۲۳] شکل ۸-۲: مبدل سری

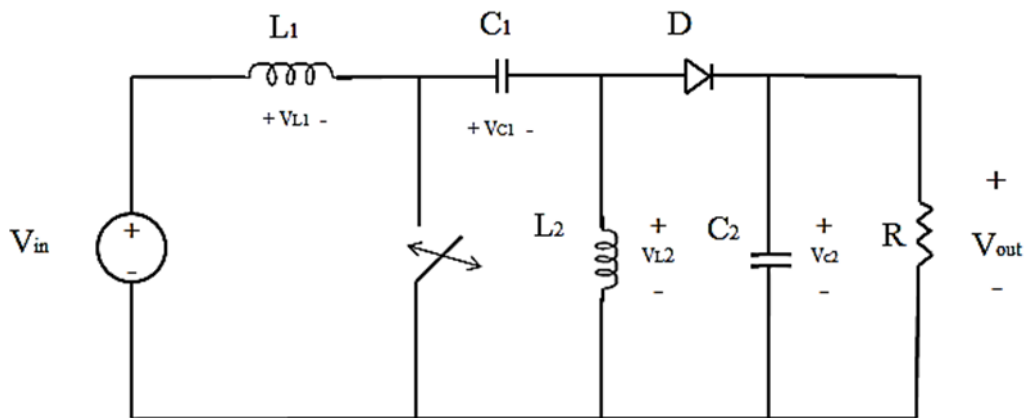
۸-۴-۲ مبدل SEPIC^۱

مبدل SEPIC از مبدل کاک^۲ گرفته شده است که این مبدل نیز نتیجه‌ای از مبدل افزاینده-کاهنده^۳ می‌باشد. شکل ۹-۲ یک مبدل SEPIC را نشان می‌دهد. سوئیچ قدرت در سمت ولتاژ پایین مبدل قرار دارد پس تلفات سوئیچینگ پایین‌تر است، سلف در سمت ورودی جریان قرار دارد به همین دلیل ریپل جریان ورودی را محدود می‌کند، همچنین SEPIC دارای دو سلف می‌باشد که می‌توانند روی یک هسته پیچیده شوند و با یک نسبت تبدیل مناسب، ریپل جریان ورودی را در تئوری تا صفر کاهش داد. در این مبدل برای افزایش بهره ولتاژ کافی است نسبت وظیفه را بالا ببریم ولی عملاً نمی‌توان از ضریب وظیفه بزرگ‌تر از ۰.۸۵ استفاده کرد که بهره این مبدل را محدود می‌نماید، ولتاژ شکست MOSFET و دیود خروجی مبدل SEPIC بالاتر از مبدل افزاینده می‌باشد، جریان عبوری از MOSFET در مبدل SEPIC برای توان یکسان، بالاتر از مبدل افزاینده است [۲۴ و ۲۵].

¹ Single-Ended Primary-Inductor Converter

² Cuk Converter

³ Buck-Boost



[۲۴] شکل ۹-۲: مبدل SEPIC

۳-۲ مبدل‌های ایزوله با بهره ولتاژ بالا

با بهره‌گیری از ترانسفورمر ایزوله‌کننده، ایزولاسیون به کمک سیم‌های عایق و نوارهای عایق انجام می‌شود که در این حالت تا صدها ولت و بیشتر ولتاژ قابل تحمل وجود دارد. حسن دیگر ترانسفورمر ایزوله‌کننده افزودن خروجی‌های متعدد بدون نیاز به رگولاتور جداگانه است.

۱-۳-۲ مبدل پوش-پول^۱

مبدل پوش-پول درواقع متشکل از دو مبدل فوروارد است که در فاز متقابل کار می‌کنند از آنجایی که هر نیمه از مبدل در هر نیم سیکل سوئیچینگ توان به بار تحویل می‌دهد، به همین دلیل نام پوش-پول به آن نهاده شده است. شکل ۱۰-۲ این مبدل را نشان می‌دهد.

از مزیت این مبدل می‌توان به توانایی تحویل چندصد واتی به بار اشاره کرد. وجود عدم تقارن عناصر مدار از معایب این مبدل است، به‌گونه‌ای که کوچک‌ترین عدم تقارن باعث درست عمل نکردن مدار و احیاناً سوختن ترانزیستورهای قدرت سوئیچینگ می‌شود. مشکل اصلی هنگامی بروز می‌کند که کنترل‌گر^۲ سعی در جبران سیکل وظیفه^۳ مدار هنگامی که بار با یک افزایش پله‌ای در جریان خروجی

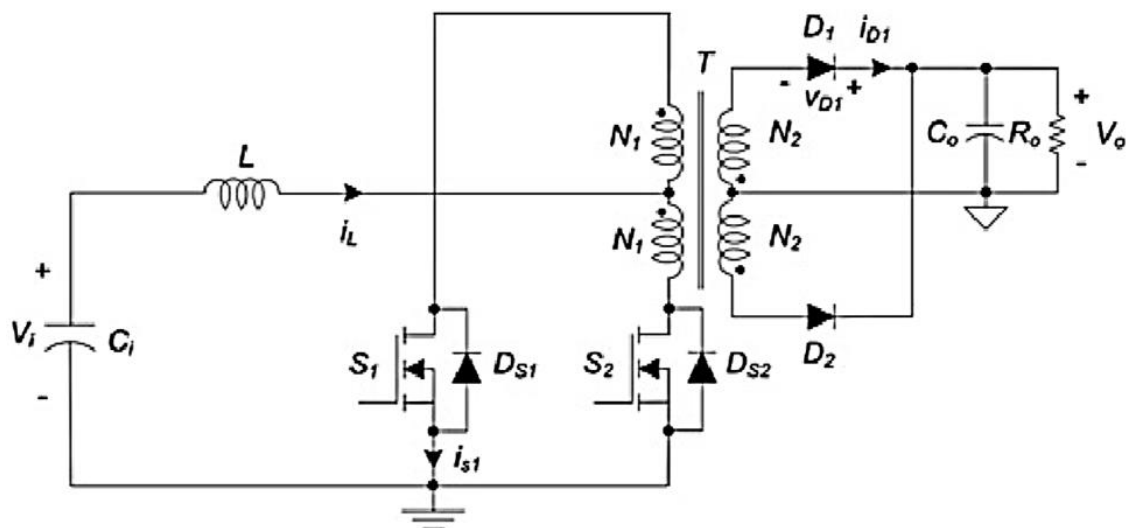
¹ Push-Pull

² Controller

³ Duty Cycle

مواجهه می‌شود بنماید که در این حالت هسته به اشباع می‌رود و هرگونه تلاشی در جهت افزایش توان

تحویلی به بار بیهوده است [۲۶].

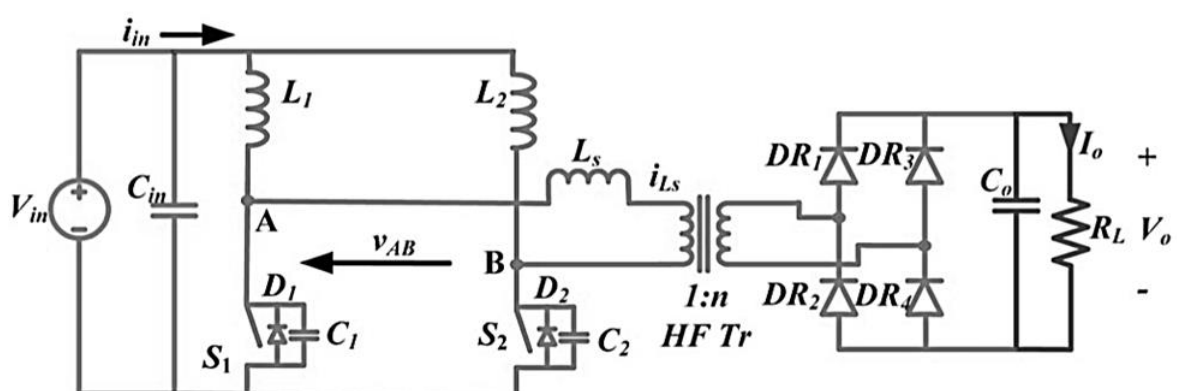


شکل ۲: مبدل پوش-پول [۲۶]

۲-۳-۲ مبدل نیم‌پل^۱

شکل دیگر مبدل با ترانسفورمر ایزوله آرایش نیم‌پل است، همان‌طور که در شکل ۱۱-۲ مشاهده

می‌شود در اینجا تنها یک سیم‌پیچ اولیه داریم که در کوپلاژ با یک ترانسفورمر سر وسط افزاینده و یا کاهنده می‌شود.



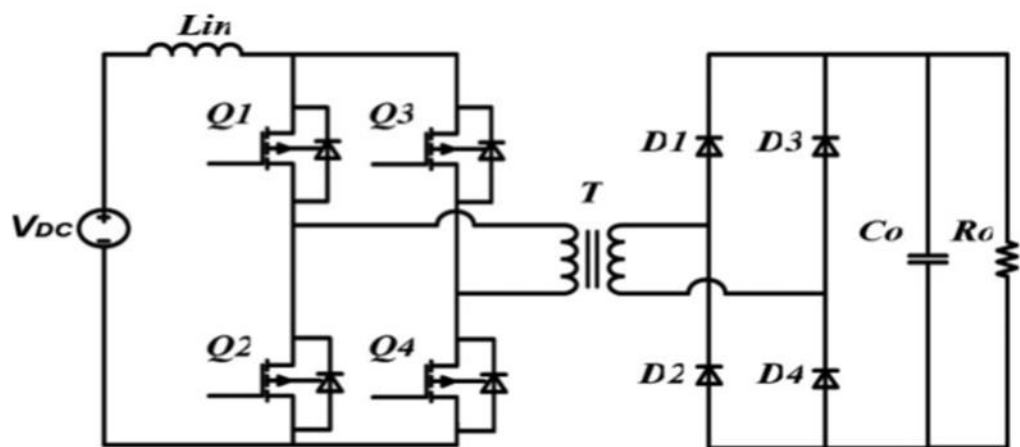
شکل ۱۱-۲: مبدل نیم‌پل ایزوله [۱۵]

^۱ Half-Bridge Converter

از مزایای این مبدل می‌توان به کوچک‌تر بودن ولتاژ شکست ترانزیستورها نسبت به پوش-پول اشاره کرد و همچنین استفاده از فقط یک سیم‌پیچی از بخش ورودی ترانس مبدل نیم‌پل اشاره کرد [۱۵]. مهم‌ترین نقطه ضعف مبدل نیم‌پل، خازن سری نسبتاً حجمی و گران قیمت آن اشاره کرد.

۳-۳-۴ مبدل تمام‌پل^۱

شکل ۱۲-۲ آرایش مبدل تمام‌پل را نشان می‌دهد. در اینجا در مقایسه با مبدل نیم‌پل خازن‌ها جای خود را به یک جفت ترانزیستور داده‌اند و هر جفت ترانزیستور کار هدایت را بر عهده می‌گیرند.



شکل ۱۲-۲: مبدل تمام‌پل [۱۶]

این مبدل قابلیت اطمینان بالایی دارد زیرا افت ولتاژ و پیک جریان کمتری برای هریک از ترانزیستور قرار می‌گیرد. یک عیب این مدار استفاده از چهار ترانزیستور است؛ بنابراین فضا و هزینه‌ی بیشتر به علت استفاده از دو عنصر سوئیچ اضافی عیب عمده این مدار به حساب می‌آید [۱۶].

^۱ Full-Bridge Converter

فصل ۳

طراحی کنترل کننده مقاوم H_{∞}

برای مبدل SEPIC

۱-۳ مقدمه

قوام^۱ یکی از اساسی‌ترین موضوعات طراحی در یک سیستم کنترلی است؛ زیرا سیستم‌های کنترلی در عمل علاوه بر آنکه در معرض اغتشاش‌های خارجی و نویز اندازه‌گیری هستند، بر اساس مدل‌های ریاضی طراحی می‌شوند که با سیستم واقعی اختلاف دارند. عموماً یک مهندس کنترل باید کنترل‌کننده‌ای طراحی نماید که ضمن پایدارسازی سیستم، سطحی از کارایی را در حضور اغتشاش سیگنال‌ها، تداخلات نویزها، دینامیک‌های مدل نشده سیستم و تغییرات پارامترهای سیستم فراهم آورد. این اهداف چندگانه طراحی به بهترین نحو از طریق ساختار پسخورد^۲ در سیستم کنترل حاصل می‌گردد.

۲-۳ مدل سازی، نامعینی

مدل‌سازی در سیستم‌های صنعتی معمولاً بر اساس روش‌هایی همچون استفاده از قوانین فیزیکی حاکم، مدل‌سازی تجربی، روش‌های مختلف شناسایی و غیره صورت می‌پذیرد. در همه این روش‌ها مدل‌سازی کلیه دینامیک‌های سیستم مدنظر نبوده و با توجه به نیاز، تنها بخش اصلی از دینامیک‌های سیستم مدل‌سازی می‌شود. بدین ترتیب مدل سیستم تنها می‌تواند بیانی تخمینی از رفتار دینامیکی واقعی سیستم‌ها باشد. به اختلاف مدل از واقعیت «عدم قطعیت»^۳ یا «نامعینی» در مدل‌سازی می‌گویند. نامعینی مدل بیانگر اختلاف رفتار سیستم واقعی با سیستم نامی آن بوده و به صورت جدول ۱-۳ قابل تعبیر است:

¹ Robustness

² Feedback

³ Uncertainty

جدول ۱-۳: انواع نامعینی

نامعینی بدون ساختار ^۲	نامعینی ساختار یافته ^۱
تعدادی از نامعینی‌ها به دلایل اختلال ^۳ دینامیکی، مانند دینامیک مدل نشده یا دینامیک‌های فرکانس بالا در بخش‌های مختلف یک سیستم ظاهر می‌شوند	در صورتی که ساختار یک مدل مشخص باشد (شامل مرتبه مدل) اما تعدادی از پارامترها دقیقاً مشخص نباشد ولی مشخصات آماری و ساختار آن‌ها معین باشد

پایداری در سیستم‌های کنترلی از اهمیت زیادی برخوردار است، چراکه ناپایداری تهدیدی برای سلامت سیستم و کاربرانی که با آن تعامل دارند محسوب می‌شود. در ادبیات کنترل هرگاه سخن از پایداری به میان می‌آید، منظور پایداری سیستم تنها با در نظر گرفتن مدل نامی سیستم است؛ اما اگر پایداری مقاوم را بخواهیم بررسی نماییم لازم است نه تنها سیستم نشان داده شده در شکل ۱-۳ به ازای مدل نامی پایدار باشد، بلکه ضروری است رفتار سیستم حلقه بسته به ازای بزرگ‌ترین میزان نامعینی نیز پایدار بماند. بدین ترتیب اگر تعبیر صحیحی از نامعینی سیستم واقعی انجام پذیرد، اطمینان خواهیم داشت که کنترل کننده طراحی شده در عمل نیز سیستم را پایدار می‌سازد.

اگر سیستم حلقه بسته‌ای وجود داشته باشد که کنترل کننده‌ی معینی برای آن طراحی شده است، می‌توان خصوصیات پایداری مقاوم^۴ و کارایی مقاوم^۵ را برای آن بررسی نمود. اگر اطمینان یابیم که شرایط پایداری سیستم به ازای بیشینه نامعینی ارضاء می‌شود، آنگاه تحلیل پایداری مقاوم در سیستم به انجام رسیده است. همچنین اگر این بررسی در مورد کارایی سیستم به ازای بیشینه نامعینی صورت پذیرد، تحلیل کارایی مقاوم سیستم صورت پذیرفته است. به کنترل کننده‌هایی که بدین صورت طراحی می‌شوند در اصطلاح کنترل کننده مقاوم گفته می‌شود [۲۹].

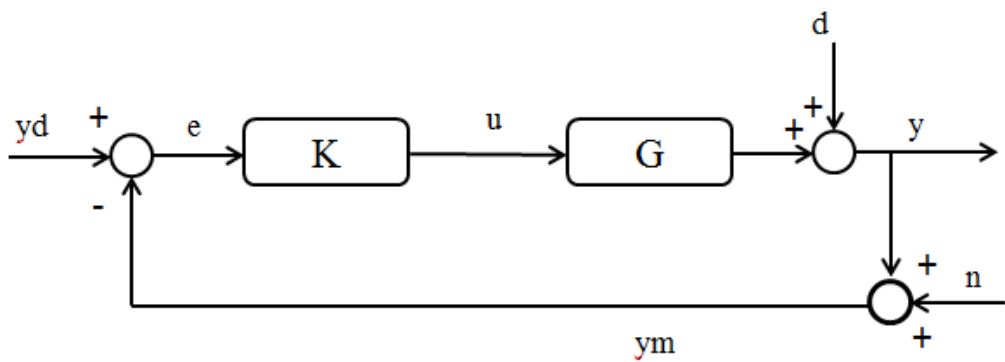
¹ Structured

² Unstructured

³ Perturbation

⁴ Robust Stability

⁵ Robust Performance



شکل ۳-۳: حلقه‌ی طراحی کنترل‌کننده پسخورد

۳-۳ تابع تبدیل حساسیت

در کنترل کلاسیک تابع بهره حلقه $L(s) = K(s).G(s)$ مبنای طراحی سیستم‌های کنترلی براساس روش‌هایی همانند مکان هندسی ریشه‌ها، روش نایکوئیست و نیکولز می‌باشد. این در حالی است که در کنترل مقاوم معمولاً تابع تبدیل حساسیت^۱ $S(s)$ ، مبنای طراحی قرار می‌گیرد [۲۹]. برای اینکه دلیل آن را بهتر بتوان تعبیر نمود، تعاریف زیر برای تابع حساسیت $S(s)$ و تابع مکمل حساسیت^۲ $T(s)$ در نظر بگیرید:

$$S(s) = \frac{1}{1 + K(s).G(s)} \quad (1-3)$$

و تابع مکمل حساسیت برابر است با:

$$T(s) = \frac{K(s).G(s)}{1 + K(s).G(s)} \quad (2-3)$$

بدین ترتیب $.S(s) + T(s) = 1$

^۱ Sensitivity Function

^۲ Complementary Sensitivity Function

حال همانند کنترل کلاسیک، با تعریف متغیرهای مختلف سیستم در شکل ۱-۳ تابع تبدیل حلقه بسته سیستم را برای خروجی y و خطای e به ورودی‌های سیستم y_d ، d و n تعیین می‌کنیم، به راحتی می‌توان نشان داد:

$$y(s) = \frac{K(s).G(s)}{1+K(s).G(s)} y_d(s) + \frac{1}{1+K(s).G(s)} d(s) - \frac{K(s).G(s)}{1+K(s).G(s)} n(s) \quad (3-3)$$

$$e(s) = y_d(s) - y(s) = \frac{1}{1+K(s).G(s)} y_d(s) - \frac{1}{1+K(s).G(s)} d(s) + \frac{K(s).G(s)}{1+K(s).G(s)} n(s) \quad (4-3)$$

برمینای تعاریف ارائه شده برای توابع حساسیت و مکمل آن، رابطه سیستم حلقه بسته به شکل زیر خلاصه می‌شود:

$$y(s) = T(s)y_d(s) + S(s)d(s) - T(s)n(s) \quad (5-3)$$

و

$$e(s) = S(s)y_d(s) - S(s)d(s) + T(s)n(s) \quad (6-3)$$

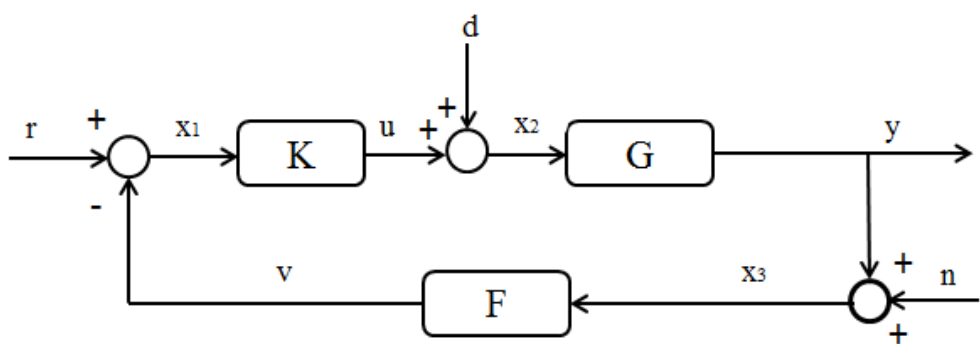
همان‌طور که از روابط فوق مشاهده می‌شود معیارهای کاهش خطای ردیابی، تضعیف اغتشاش و ایجاد ویژگی قوام به کوچک بودن تابع حساسیت $S(s)$ در پهنهای باند سیستم مرتبط می‌شود. این در حالی است که کاهش اثر نویز به تابع مکمل حساسیت $T(s)$ مرتبط می‌شود.

۴-۳ تحلیل پایداری و کارایی سیستم‌های کنترل مقاوم

در طراحی سیستم‌های کنترلی، اهداف کنترلی معمولاً در قالب یک و یا چند مورد از معیارهای پایداری نامی^۱ (NS)، کارایی نامی^۲ (NP)، پایداری مقاوم (RS) و کارایی مقاوم (RP) بیان می‌گردد.

۱-۴-۳ پایداری داخلی

سیستم پسخورد نشان داده شده در شکل ۲-۳ را در نظر بگیرید، اگر تمامی توابع تبدیل حلقه بسته این سیستم پسخورد، سره (و یا اکیداً سره) باشند، اصطلاحاً به آن سیستم پسخورد خوش-ساختار گفته می‌شود.



شکل ۲-۳: یک سیستم کنترل متقابل

با نوشتن روابط در تقاطع‌های جمع‌شونده خواهیم داشت:

$$x_1 = r - Fx_3$$

$$x_2 = d + Kx_1$$

$$x_3 = n + Gx_2$$

^۱ Nominal Stability

^۲ Nominal Performance

در شکل ماتریسی این روابط برابر خواهند بود با:

$$\begin{bmatrix} 1 & 0 & F \\ -K & 1 & 0 \\ 0 & -G & 1 \end{bmatrix} \begin{bmatrix} x_1 \\ x_2 \\ x_3 \end{bmatrix} = \begin{bmatrix} r \\ d \\ n \end{bmatrix}$$

پس سیستم فوق خوش‌ساختار است اگر ماتریس ۳ در ۳ حاصل‌شده تکین نبوده یا دترمینان آن که در این حالت برابر است با $(GKF + 1)$ ، صفر نشود. حال اگر سیستم خوش‌ساختار باشد ماتریس ۳ در ۳ معکوس‌پذیر خواهد بود و ۹ تابع تبدیل موردنظر وجود خواهند داشت که برابر است با:

$$\begin{bmatrix} x_1 \\ x_2 \\ x_3 \end{bmatrix} = \begin{bmatrix} 1 & 0 & F \\ -K & 1 & 0 \\ 0 & -G & 1 \end{bmatrix}^{-1} \begin{bmatrix} r \\ d \\ n \end{bmatrix} \quad (7-3)$$

یا

$$\begin{bmatrix} x_1 \\ x_2 \\ x_3 \end{bmatrix} = \frac{1}{1+GKF} \begin{bmatrix} 1 & -GF & -F \\ K & 1 & -KF \\ GK & G & 1 \end{bmatrix} \begin{bmatrix} r \\ d \\ n \end{bmatrix} \quad (8-3)$$

با توجه به رابطه (8-3) سیستم پسخورد، پایداری داخلی دارد اگر دو شرط زیر برقرار باشد [۲۹]:

- تابع تبدیل $GKF + 1$ هیچ صفری در سمت راست و یا بر روی محور موهومی صفحه

مختلط نداشته باشد یا $(\operatorname{Re}s \geq 0)$

- هیچ‌گونه حذف صفر و قطب در $\operatorname{Re}s \geq 0$ در هنگام تشکیل حاصل ضرب GKF اتفاق نیافتد.

۲-۴-۳ کارایی نامی

یک سیستم کارایی نامی (NP) دارد اگر پایداری داخلی نامی داشته باشد و اهداف کارایی برای سیستم نامی P تأمین گردد. شکل ۲-۳ را در نظر بگیرید، اگر تابع تبدیل حلقه برابر با $L = GK$ باشد آنگاه تابع تبدیل از ورودی (r) به خطای ردیابی (e) برابر تابع حساسیت خواهد بود:

$$S = (1 + L)^{-1} \quad (9-3)$$

با توجه به اینکه خطای ماندگار سیستم حلقه بسته تنها مقدار تابع حساسیت را در فرکанс صفر تعیین می‌کند، معیار کارایی نامی را با توسعه این محدودیت در کلیه فرکانس‌ها می‌توان تعبیر نمود. بدین ترتیب اگر مقدار حساسیت در کلیه فرکانس‌های مختلف از مقدار $(\omega)\epsilon$ کوچک‌تر باشد، داریم:

$$|S(j\omega)| < \epsilon(\omega) \quad (10-3)$$

حال اگر تابع وزنی^۱ $W_s(s) = \frac{1}{\epsilon}$ تعریف گردد آنگاه مشخصات کارایی نامی را می‌توان با نرم بی-

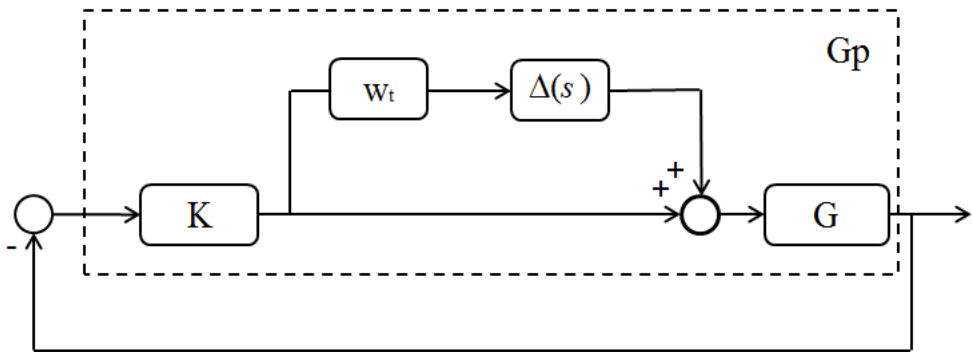
نهایت تابع تبدیل زیر تعبیر نمود:

$$\|W_s S\|_{\infty} < 1 \quad (11-3)$$

۳-۴-۳ پایداری مقاوم

با توجه به اهمیت نامعینی ضربی و استفاده از این نوع نامعینی در این پایان‌نامه، به تحلیل و تجزیه پایداری مقاوم و کارایی مقاوم شکل ۳-۳ می‌پردازیم:

^۱ Weighting Function



شکل ۳-۳: نمایی از یک سیستم نامی با نامعینی ضربی

بر طبق معیار پایداری داخلی مقاوم، سیستم دارای نامعینی ضربی پایداری مقاوم دارد اگر شرط

زیر برقرار باشد:

$$\|GK(I+GK)^{-1}\|_{\infty} \leq \frac{1}{\|W_t \Delta\|_{\infty}}, \quad \|\Delta\|_{\infty} < 1 \quad (12-3)$$

پس بر مبنای تابع متمم حساسیت T خواهیم داشت:

$$\|GK(I+GK)^{-1}\|_{\infty} \leq \frac{1}{|W_t|} \Rightarrow \|T\|_{\infty} \leq \frac{1}{|W_t|} \quad (13-3)$$

۴-۴-۳ کارایی مقاوم

یک سیستم کارایی مقاوم دارد اگر پایداری داخلی مقاوم داشته باشد و اهداف کارایی برای کلیه

مدل‌های نامعین تأمین گردد. برای مدل نامعینی ضربی ($G_p = (1+\Delta W_t)G$) داریم:

$$\|W_s S\|_{\infty} < 1 \Rightarrow \left\| \frac{W_s}{1+L} \right\|_{\infty} < 1 \quad (14-3)$$

بنا به تعریف کارایی مقاوم خواهیم داشت:

$$\left\| \frac{W_s}{1+(1+\Delta W_t)L} \right\|_{\infty} < 1 \Rightarrow \left\| \frac{W_s S}{1+\Delta W_t T} \right\|_{\infty} < 1 \quad (15-3)$$

پس اگر این شرط و شرط پایداری داخلی سیستم با نامعینی ضربی همزمان برقرار باشد، شرط

کارایی مقاوم برقرار است و داریم:

$$\left\| W_t T \right\|_{\infty} < 1 \quad \& \quad \left\| \frac{W_s S}{1+\Delta W_t T} \right\|_{\infty} < 1 \quad (16-3)$$

حال می‌توان رابطه (16-3) را خلاصه نمود و بر مبنای نرم بی‌نهایت یک تابع به صورت زیر

نمایش داد:

$$\left\| |W_s S| + |W_t T| \right\|_{\infty} < 1 \quad (17-3)$$

پس سیستم حلقه بسته با پسخورد واحد و نامعینی ضربی نشان داده شده در شکل ۳-۳ دارای

کارایی مقاوم است اگر و تنها اگر رابطه (17-3) برقرار باشد.

SEPIC ۵-۳ مبدل

مبدل SEPIC از مبدل کاک گرفته شده است که این مبدل نیز نتیجه‌های از مبدل باک-بوست می‌باشد، نام این مبدل از مبدل القاگر اولیه تک پایانه^۱ مشتق می‌شود.

۱-۵-۳ مزایای مبدل SEPIC

از میان مبدل‌های شناخته شده، مبدل‌های SEPIC، افزاینده-کاهنده و کاک توانایی افزایش و کاهش ولتاژ ورودی را دارند. به همین دلیل، این مبدل‌ها توانایی انتقال انرژی را از هر سطحی دارا هستند. ویژگی مطلوب دیگر جریان پیوسته خروجی است که به مبدل اجازه ارتباط موازی خروجی یا تبدیل به یک منبع ولتاژ با حداقل ظرفیت را می‌دهد. مبدل‌های افزاینده و کاهنده به دلیل عدم

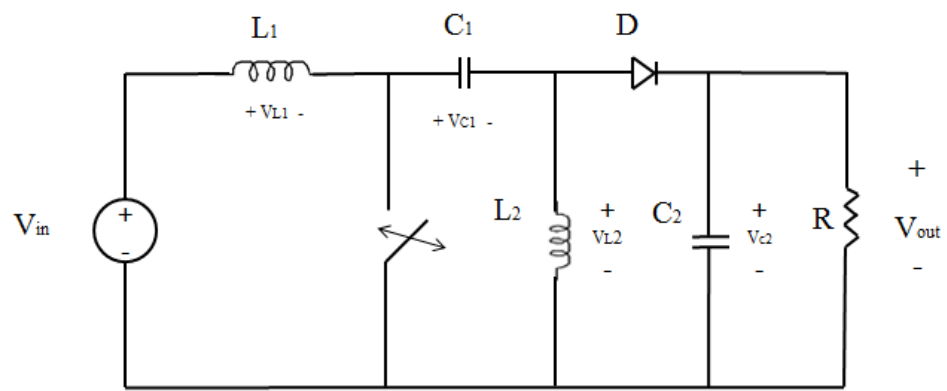
^۱ Single-Ended Primary Inductor converter

انعطاف‌پذیری ولتاژ خروجی مناسب نیستند. برای مثال، در شارژ باتری سیستم فتوولتائیک با کارکرد MPPT هیچ‌کدام از مبدل‌های افزاینده و کاهنده قادر نیستند باتری را به طور پیوسته شارژ کنند زیرا منحنی توان- ولتاژ با سطح نامعقولی تغییر می‌کند. عوامل زیادی می‌تواند برای ارائه مبدل‌های DC-DC تأثیرگذار باشد، همانند جریان ورودی- خروجی، هزینه، انعطاف‌پذیری، تأثیر آرایش سیستم فتوولتائیک. برخلاف مبدل افزاینده-کاهنده، مبدل SEPIC یک خروجی غیرمعکوس دارد و از خازن سری برای ایزوله کردن ورودی از خروجی استفاده می‌کند. مبدل کاهنده و افزاینده-کاهنده یک جریان ورودی ناپیوسته دارند که موجب از دست رفتن توان بیشتر به دلیل سوئیچ کردن ورودی می‌شود. مبدل SEPIC و کاک هر دو می‌توانند ولتاژ خروجی بزرگ‌تر و یا کوچک‌تر از ولتاژ ورودی داشته باشند. علاوه بر این، آن‌ها جریان پیوسته ورودی و عملکرد بهتری در مقایسه با مبدل‌های فلاپک و افزاینده-کاهنده دارند [۳۰-۳۱]. هیچ قانون کلی وجود ندارد که کدامیک از این دو بهتر است [۳۲-۳۳]؛ اما بین ولتاژهای ورودی و خروجی مبدل SEPIC پلاریته معکوس وجود ندارد که این قابلیت این مبدل را برای بسیاری از کاربردها مناسب می‌سازد. در بخش بعد با نحوه کار این مبدل بیشتر آشنا می‌شویم.

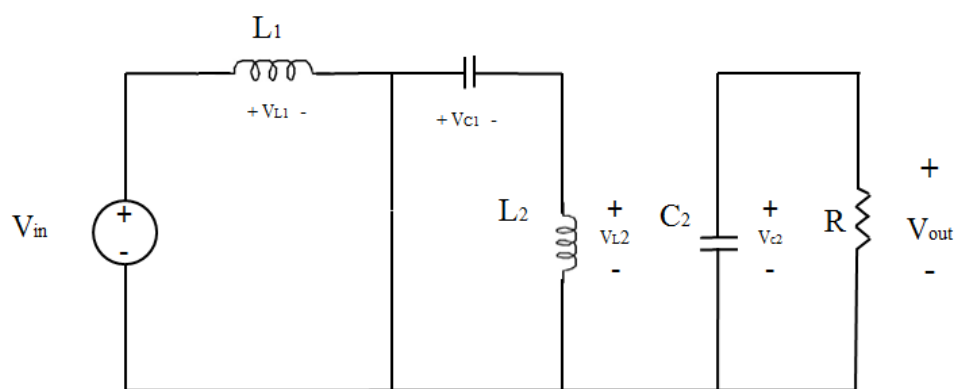
۴-۵-۳ شرح عملکرد مبدل

دیاگرام مداری مبدل SEPIC و مدار معادلش در دو حالت سوئیچ روشن و سوئیچ خاموش در شکل ۴-۳ نشان داده شده است.

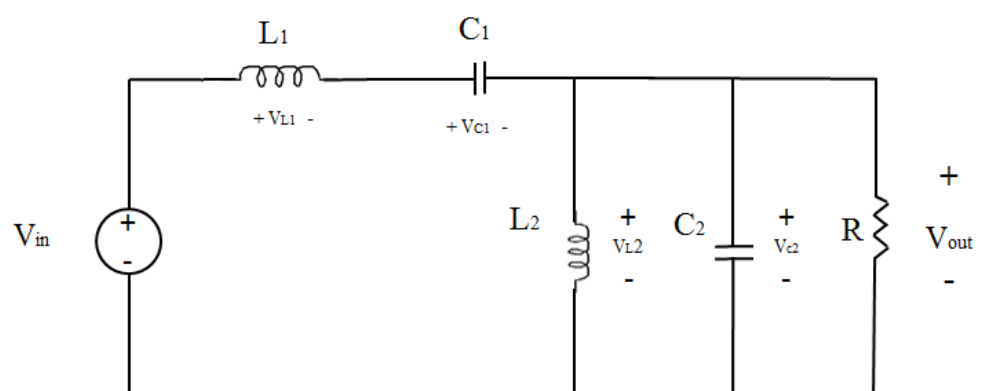
در زمان تناوب (که نسبت وظیفه است) که سوئیچ بسته است خازن جهت تأمین جریان بار خروجی استفاده می‌شود، شارژ سلف از طریق ولتاژ ورودی و انرژی سلف از طریق خازن تأمین می‌شود. در زمان که سوئیچ باز است و دیود در بایاس مستقیم بوده و هادی است هر دو سلف وظیفه تأمین جریان خازن خروجی را بر عهده دارند، سلف در طول این زمان خازن را شارژ می‌کند.



(الف)



(ب)



(ج)

شکل ۴-۳: (الف) مدار برای کلید بسته و دیود خاموش (ب) مدار برای کلید باز و دیود روشن

با توجه به شکل ۴-۳ و از آنجایی که مقدار میانگین ولتاژ دو سر سلف برای عملکرد متناوب صفر

است بهره انتقال ولتاژ به صورت زیر محاسبه می شود [۳۴]:

$$(VL_{1(sw\ closed)})DT_s + (VL_{1(sw\ open)})(1-D)T_s = 0$$

$$V_{in}DT_s - V_{out}(1-D)T_s = 0 \Rightarrow \frac{V_{in}}{V_{out}} = \frac{D}{1-D} \quad (18-3)$$

و همچنین داریم:

$$D = \frac{V_{out}}{V_{out} + V_{in}} \quad (19-3)$$

که در آن D نسبت وظیفه است و در بازه $0 \leq D \leq 1$ قرار دارد، با فرض اینکه تلفاتی در مبدل

وجود ندارد

$$P_{in} = P_{out} \Rightarrow V_{in}I_{in} = V_{out}I_{out}$$

که با حل آن برای جریان میانگین سلف که همان جریان میانگین منبع است داریم:

$$I_{L1} = I_{in} = \frac{V_{out}I_{out}}{V_{in}} \quad (20-3)$$

تغییرات در I_{L1} هنگامی که کلید بسته است از معادله زیر بدست می آید:

$$\begin{aligned} V_{L1} &= V_{in} = L_1 \frac{dI_{L1}}{dt} = L_1 \frac{\Delta I_{L1}}{\Delta t} = L_1 \frac{\Delta I_{L1}}{DT} \\ \Delta I_{L1} &= \frac{V_{in}D}{L_1 F_{sw}} \end{aligned} \quad (21-3)$$

که در آن F_{sw} فرکانس سوئیچینگ است.

برای L_2 جریان میانگین از قانون کیرشهف داریم:

$$I_{L2} = I_{C2} + I_{out} - I_{C1}$$

جريان ميانگين در هر خازن صفر است بنابراین جريان ميانگين در L_2 برابر می‌شود با:

$$I_{L2} = I_{out} \quad (22-3)$$

تغییرات در I_{L2} از مدار هنگامی که کلید بسته است تعیین می‌شود

$$V_{L2} = -V_{C1} = -L_2 \frac{dI_{L2}}{dt} = -L_2 \frac{\Delta I_{L2}}{\Delta t} = -L_2 \frac{\Delta I_{L2}}{DT}$$

که با حل برای ΔI_{L2} داریم:

$$\Delta I_{L2} = \frac{V_{in}D}{L_2 F_{sw}} \quad (23-3)$$

طبقه خروجی مانند مبدل افزاینده شامل دیود، C_2 و مقاومت بار است، بنابراین ریپل ولتاژ

خروجی برابر است با:

$$\Delta V_{out} = \Delta V_{C2} = \frac{V_{out}D}{RC_2 F_{sw}} \quad (24-3)$$

که با حل آن برای C_2 داریم:

$$C_2 = \frac{D}{R \left(\frac{\Delta V_{out}}{V_{out}} \right) F_{sw}} \quad (25-3)$$

تغییرات ولتاژ در C_1 با بررسی مدار با کلید بسته شکل ۴-۳ تعیین می‌شود. جريان خازن I_{C1}

عكس I_{L2} می‌باشد که در رابطه (۲۲-۳) مقدار ميانگين آن محاسبه شد.

$$\Delta V_{C1} = \frac{\Delta Q}{C_1} = \frac{I_{out} \Delta t}{C_1} = \frac{I_{out} DT}{C_1} = \frac{V_{out} D}{RC_1 F_{sw}} \quad (26-3)$$

که با حل رابطه (۲۶-۳) برای C_1 داریم:

$$C_1 = \frac{D}{R \left(\frac{\Delta V_{C1}}{V_{out}} \right) F_{sw}} \quad (27-3)$$

۳-۵-۳ محاسبه عناصر مبدل

برای محاسبه مقادیر مبدل از پنل خورشیدی ۳۰۵ واتی ۷۲ سلوالی ساخت شرکت MAGI Solar

آلمان استفاده شده است [۳۵] که مشخصات آن در جدول ۲-۳ ذکر شده است:

پارامترهای مبدل تحت تأثیر عوامل مختلف ثابت نبوده و عدم قطعیت‌هایی را شامل می‌شوند. با توجه به مشخصات جدول ۲-۳ و روابط (۲۷-۳) تا (۱۸-۳) پارامترهای مختلف مبدل را محاسبه کرده و همچنین محدوده عدم قطعیت برای هر پارامتر در نظر گرفته شده است که در جدول ۳-۳ مشاهده می‌شود. بدین منظور با استفاده از روابط (۱۹-۳) الی (۲۷-۳) مقادیر پارامتره برایند با:

$$D = \frac{V_{out}}{V_{out} + V_{in}} = \frac{74}{74 + 37} = 0.66$$

$$L_1 = \frac{V_{in\min} D_{\min}}{\Delta I_{L1} F_{sw}} = \frac{29.6 \times 0.625}{0.54 \times 10e^3} = 3.4 \text{ mH}$$

$$\Delta I_{L1} = 0.1 \times I_{L1} = 0.54 \quad \text{که در رابطه بالا}$$

$$L_2 = \frac{V_{in\min} D_{\min}}{\Delta I_{L2} F_{sw}} = \frac{29.6 \times 0.625}{0.25 \times 10e^3} = 7.4 \text{ mH}$$

$$C_1 = \frac{D_{\min}}{R_{\max} \left(\frac{\Delta V_{C1}}{V_{out}} \right) F_{sw}} = \frac{0.625}{27 \times \frac{3}{74} \times 10e^3} = 57 \mu\text{f}$$

$$C_2 = \frac{D_{\min}}{R_{\max} \left(\frac{\Delta V_{out}}{V_{out}} \right) F_{sw}} = \frac{0.625}{27 \times \frac{2}{74} \times 10e^3} = 85 \mu\text{f}$$

جدول ۳-۲: مشخصات پنل استفاده شده برای طراحی [۳۵]

مشخصات پنل خورشیدی	SP-305
نوع سلول خورشیدی	تک کریستالی سیلیکونی
ابعاد سلول خورشیدی	156 mm x 156 mm
وزن پنل خورشیدی	23 kg
ابعاد پنل خورشیدی به میلی متر	طول 1956 عرض 992 عمق 50
طول کابل	900 میلی متر
تعداد سلول خورشیدی در یک پنل	72
تعداد دیود	6
مقاومت الکتریکی عایق	50000 K Ohm
ماکزیمم ولتاژ سیستم	1000 ولت مستقیم
ماکزیمم توان خروجی در شرایط استاندارد	305-310 وات
ولتاژ خروجی پنل در حالت مدار باز	46.26Voc/V
جریان خروجی از پنل در حالت اتصال کوتاه	8.74Vmp/V
ماکزیمم جریان در بیشترین توان خروجی	8.19Isc/A
ماکزیمم ولتاژ در بیشترین توان خروجی	37.21Imp/V
بازده سلول خورشیدی	18.4%
بازده پنل خورشیدی	15.56%
ضریب دمایی تغییر جریان اتصال کوتاه	0.036
ضریب دمایی تغییر ولتاژ مدار باز	-0.33
ضریب دمایی تغییر توان ماکزیمم	-0.45
تلورانس در توان خروجی	0~+3%

جدول ۳-۳: پارامترهای مبدل انتخابی و دامنه تغییرات در نظر گرفته شده

V_{in}	37 - 20%
V_{out}	74
R	$18 \pm 50\%$
L_1	$3.4mH \pm 20\%$
L_2	$7.4mH \pm 20\%$
C_1	$57\mu f \pm 20\%$
C_2	$85\mu f \pm 20\%$
F_{sw}	10kHz

۴-۵-۳ مدل سازی فضای حالت مبدل

در الکترونیک قدرت برای مدل سازی مبدل های سوئیچینگ در حدود نقطه‌ی کار از روشی تحت عنوان معادلات حالت متوسط^۱ استفاده می‌شود که در آن معادلات مدار مربوط به مبدل برای بازه‌های زمانی که کلید خاموش یا روشن است نوشته می‌شود و سپس مقدار متوسط روابط بدست آمده به عنوان معادلات حالت سیستم در نظر گرفته می‌شود [۳۶ و ۳۷].

در ادامه پس از معرفی این روش، مراحل بدست آوردن معادلات حالت مبدل پیشنهادی را ارائه خواهیم کرد.

جهت بدست آوردن تابع تبدیل سیگنال کوچک ولتاژ خروجی به سیگنال ورودی (زمان وظیفه کلید قدرت) به ترتیب زیر عمل می‌کنیم:

- معادلات حالت مدار را در حالت بسته بودن کلید می‌نویسیم.

^۱ State-Space Average Model

- معادلات حالت مدار را در حالت باز بودن کلید می‌نویسیم.
- معادلات حالت اول را در D و معادلات حالت دوم را در $(D-1)$ ضرب کرده و سپس با یکدیگر جمع می‌کنیم.

بدین ترتیب معادلات میانگین مدار بدست می‌آید. پس از آن به خطی سازی معادلات و بدست آوردن معادلات سیگنال کوچک می‌پردازیم.

- کلیه پارامترها را به شکل مجموع پارامتر سیگنال کوچک و سیگنال بزرگ می‌نویسیم و در معادلات میانگین جایگذاری می‌کنیم.
- مشتق کمیات سیگنال بزرگ و همچنین حاصل ضرب دو کمیت سیگنال بزرگ و کوچک را برابر صفر در نظر می‌گیریم، بدین ترتیب معادله‌ی ماتریسی به فرم زیر بدست خواهد آمد:

$$\dot{\tilde{x}} = A\tilde{x} + B\tilde{u} + J\tilde{d}$$

- با گرفتن لاپلاس از معادله‌ی فوق و یک محاسبه ماتریسی ساده، تابع تبدیل موردنظر بدست می‌آید:

$$\tilde{x}(s) = (sI - A)^{-1} [\tilde{x}(0) + B\tilde{u}(s) + J\tilde{d}(s)]$$

- به منظور بدست آوردن تابع تبدیل سیگنال کوچک پارامترهای مدار به سیگنال ورودی و $\tilde{u}(s)$ را برابر صفر در نظر می‌گیریم و خواهیم داشت:

$$\frac{\hat{x}(s)}{\hat{d}(s)} = (sI - A)^{-1} J \quad (28-3)$$

بدین ترتیب و با توجه به رابطه فوق تابع تبدیل سیگنال کوچک کمیات مختلف مدار بدست می-

آید.

با توجه به مطلب فوق و شکل ۴-۳ معادله میانگین مبدل به صورت زیر خواهد بود:

$$\left\{ \begin{array}{l} \frac{dI_{L1}}{dt} = \frac{1}{L_1} V_{in} \\ \frac{dI_{L2}}{dt} = -\frac{1}{L_2} V_{C1} \\ \frac{dV_{C1}}{dt} = \frac{1}{C_1} I_{L2} \\ \frac{dV_{C2}}{dt} = -\frac{1}{RC_2} V_{C2} \end{array} \right\} \times D + \left\{ \begin{array}{l} \frac{dI_{L1}}{dt} = -\frac{1}{L_1} V_{C1} - \frac{1}{L_1} V_{C2} + \frac{1}{L_1} V_{in} \\ \frac{dI_{L2}}{dt} = \frac{1}{L_2} V_{C2} \\ \frac{dV_{C1}}{dt} = \frac{1}{C_1} I_{L1} \\ \frac{dV_{C2}}{dt} = \frac{1}{C_2} I_{L1} - \frac{1}{C_2} I_{L2} - \frac{1}{RC_2} V_{C2} \end{array} \right\} \times (1-D)$$

$$\begin{bmatrix} \dot{I}_{L1} \\ \dot{I}_{L2} \\ \dot{V}_{C1} \\ \dot{V}_{C2} \end{bmatrix} = \begin{bmatrix} 0 & 0 & -\frac{1-D}{L_1} & -\frac{1-D}{L_1} \\ 0 & 0 & -\frac{D}{L_2} & \frac{1-D}{L_2} \\ \frac{1-D}{C_1} & \frac{D}{C_1} & 0 & 0 \\ \frac{1-D}{C_2} & -\frac{1-D}{C_2} & 0 & -\frac{1}{RC_2} \end{bmatrix} \begin{bmatrix} I_{L1} \\ I_{L2} \\ V_{C1} \\ V_{C2} \end{bmatrix} + \begin{bmatrix} \frac{1}{L_1} \\ 0 \\ 0 \\ 0 \end{bmatrix} V_{in}$$

(۲۹-۳)

$$y = [0 \ 0 \ 0 \ 1] \begin{bmatrix} I_{L1} \\ I_{L2} \\ V_{C1} \\ V_{C2} \end{bmatrix}$$

بعد از اعمال خطی‌سازی حول نقطه کار داریم:

$$\begin{bmatrix} \dot{\tilde{I}}_{L1} \\ \dot{\tilde{I}}_{L2} \\ \dot{\tilde{V}}_{C1} \\ \dot{\tilde{V}}_{C2} \end{bmatrix} = \begin{bmatrix} 0 & 0 & -\frac{1-D}{L_1} & -\frac{1-D}{L_1} \\ 0 & 0 & -\frac{D}{L_2} & \frac{1-D}{L_2} \\ \frac{1-D}{C_1} & \frac{D}{C_1} & 0 & 0 \\ \frac{1-D}{C_2} & -\frac{1-D}{C_2} & 0 & -\frac{1}{RC_2} \end{bmatrix} \begin{bmatrix} \tilde{I}_{L1} \\ \tilde{I}_{L2} \\ \tilde{V}_{C1} \\ \tilde{V}_{C2} \end{bmatrix} + \begin{bmatrix} \frac{V_{C1}+V_{C2}}{L_1} \\ -\frac{V_{C1}+V_{C2}}{L_2} \\ \frac{I_{L2}-I_{L1}}{C_1} \\ \frac{I_{L2}-I_{L1}}{C_2} \end{bmatrix} \tilde{d}$$

$$y = [0 \ 0 \ 0 \ 1] \begin{bmatrix} \tilde{I}_{L1} \\ \tilde{I}_{L2} \\ \tilde{V}_{C1} \\ \tilde{V}_{C2} \end{bmatrix}$$

پس از آن که به خطی سازی سیستم پرداختیم با جایگذاری پارامترهای مبدل در رابطه فوق و

نقشه کار $D = 0.66$ داریم:

$$\begin{bmatrix} \dot{\tilde{I}}_{L1} \\ \dot{\tilde{I}}_{L2} \\ \dot{\tilde{V}}_{C1} \\ \dot{\tilde{V}}_{C2} \end{bmatrix} = \begin{bmatrix} 0 & 0 & -100 & -100 \\ 0 & 0 & -89.19 & 45.94 \\ 5964.9 & 11578.9 & 0 & 0 \\ 4000 & -4000 & 0 & -653.6 \end{bmatrix} \begin{bmatrix} \tilde{I}_{L1} \\ \tilde{I}_{L2} \\ \tilde{V}_{C1} \\ \tilde{V}_{C2} \end{bmatrix} + \begin{bmatrix} 32647 \\ -15000 \\ -17192.9 \\ -11529.4 \end{bmatrix} \tilde{d} \quad (30-3)$$

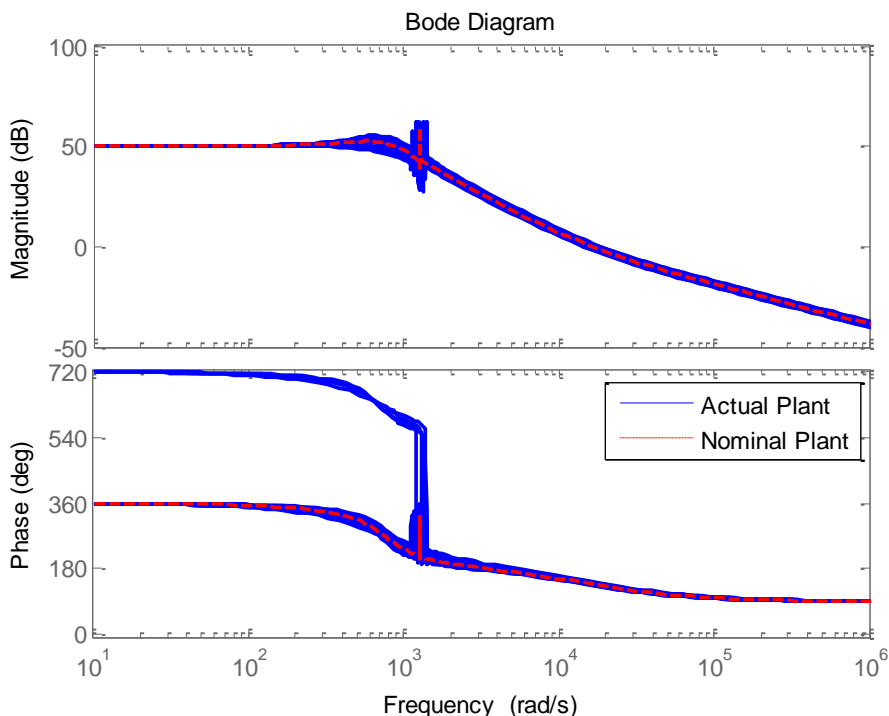
$$y = [0 \ 0 \ 0 \ 1] \begin{bmatrix} \tilde{I}_{L1} \\ \tilde{I}_{L2} \\ \tilde{V}_{C1} \\ \tilde{V}_{C2} \end{bmatrix}$$

همچنین می‌توان با توجه با رابطه (۲۸-۳)تابع تبدیل مبدل را به صورت زیر بدست آورد:

$$G = \frac{\tilde{V}_{C2}}{\tilde{d}} = \frac{-1.153e04s^3 + 1.906e08s^2 - 1.804e10s + 3.096e14}{s^4 + 653.6s^3 + 2.213e06s^2 + 1.065e09s + 9.483e11} \quad (31-3)$$

۶-۳ طراحی کنترل کننده مقاوم H_∞ برای مبدل SEPIC

از رابطه (۳۱-۳) حاصل می‌شود که سیستم دارای یک صفر نامینیمم فاز $P = -0.5 \pm j1277$, $-326.28 \pm j689.22$ و چهار قطب پایدار $Z = 16534$, $-1.794 \pm j1274$ است. با تعریف پارامترهای نامعین سیستم در MATLAB می‌توان سیستم را مورد تجزیه و تحلیل قرار داد و ابتدا پاسخ فرکانسی سیستم نامی و سیستم دارای نامعینی را می‌توان در شکل (۳-۵) مشاهده کرد.



شکل ۳-۵: نمودار بود سیستم نامی و دارای نامعینی

با افزایش بهره سیستم حلقه بسته به سمت بی‌نهایت، قطب‌های حلقه بسته به سمت صفرهای حلقه باز حرکت خواهند نمود؛ بنابراین حضور صفر نامینیمم فاز سبب ناپایداری در بهره‌های بزرگ می‌شود [۳۸] که به نوعی یکی از محدودیت‌های طراحی کنترل کننده می‌باشد.

۱-۶-۳ انتخاب توابع وزنی

یکی از بخش‌های مهم در مسائل بهینه‌سازی مقاوم، انتخاب توابع وزنی است. به طور کلی می‌توان از طریق توابع وزنی مشخصات عملکردی سیستم کنترلی را به شکل مطلوب بیان کرد. معمولاً این کار با بیان‌های متفاوت اما با ماهیت‌های مشابه عنوان می‌شود^[۳۹].

$W_t(s)$ تابع وزنی که برای ایجاد پایداری مقاوم می‌باشد و یک کران بالا از سیستم نامعین است و بر اساس رابطه (۱۳-۳) باید به گونه‌ای محاسبه شود که اندازه $\frac{1}{W_t(s)}$ در تمامی فرکانس‌ها بزرگ‌تر از تابع مکمل حساسیت (T) باشد. برای بدست آوردن $W_t(s)$ ابتدا دیاگرام بود $G_p = (1 + \Delta W_t)G$ → $\Delta W_t = ((\frac{G_p}{G}) - 1)$ نقطه از کران بالای آن را انتخاب کردیم و سپس تابع وزنی زیر بدست آمد که اگر دیاگرام بود $\Delta = ((\frac{G_p}{G}) - 1) \frac{1}{W_t}$ است.

$$W_t(s) = 0.01 \frac{0.01267s^3 + 191.6s^2 + 106166s + 6.778e^6}{s^2 + 62.15s + 1.83e^6} \quad (۳۲-۳)$$

از کنترل خطی به یاد داریم که سرعت پاسخ سیستم با ω_n متناسب است و فراجهش پاسخ سیستم تنها به ضریب میرایی^۱ (ξ) وابسته است، حال برای پیدا کردن تابع وزنی W_s از رابطه (۹-۳) داریم که:

$$S = \frac{1}{1+L} = \frac{s(s + 2\xi\omega_n)}{s^2 + 2\xi\omega_n + \omega_n^2}$$

^۱ Damping Ratio

لذا پهنهای باند سیستم تقریباً برابر است با:

$$\omega_b = \frac{\omega_n}{\sqrt{2}} = 4.3390e+03 \quad (33-3)$$

بالاتر از فرکانس پهنهای باند، سیستم حلقه بسته نمی‌تواند فرمان ورودی را دنبال کند و اغتشاش را حذف نماید، زیرا در فرکانس‌های بالا مقدار تابع حساسیت S کوچک نخواهد بود و لذا خطای سیستم لزوماً به سمت صفر میل نخواهد کرد.

$$M_s = \|S\|_\infty = \|S(j\omega_{\max})\|_\infty = \frac{\alpha\sqrt{\alpha^2 + 4\xi^2}}{\sqrt{(1-\alpha^2)^2 + 4\xi^2\alpha^2}} \quad (34-3)$$

در این رابطه α و ω_{\max} برابر هستند با:

$$\alpha = \sqrt{0.5 + 0.5\sqrt{1 + 8\xi^2}} \quad (35-3)$$

$$\omega_{\max} = \alpha\omega_n$$

تابع باید به گونه‌ای طراحی شود که تابع حساسیت در فرکانس‌های بالا کوچک‌تر از M_s باشد تا خطای گذرای سیستم کم باشد و فراجهش زیادی تولید نگردد، در فرکانس‌های پایین نیز مقدار حساسیت صفر باشد تا سیستم به حالت پایدار رسیده باشد و خطای حالت پایدار زیادی بر سیستم تحمیل نگردد؛ اما چون $|S(0)| = 0.01 = \varepsilon$ در نظر گرفته می‌شود و داریم:

$$W_s(s) = \psi \frac{\frac{s}{M_s} + \omega_b}{s + \omega_b\varepsilon} = 0.0066 \frac{15.88s + 4339}{s + 43.39} \quad (36-3)$$

که ψ در رابطه فوق ضریب تنظیم است.

۴-۶-۳ انتخاب کنترل کننده

با توجه به توابع وزنی که در قسمت قبل بدست آمد و روابط پیشین، می‌توان کنترل کننده زیر را

بدست آورد:

$$K = \frac{237.7s^6 + 1.575e05s^5 + 9.095e08s^4 + 5.308e11s^3 + 9.757e14s^2 + 4.47e17s + 1.987e20}{s^7 + 2.632e04s^6 + 2.074e08s^5 + 4.74e11s^4 + 6.636e14s^3 + 7.331e17s^2 + 5.264e20s + 2.151e22} \quad (37-3)$$

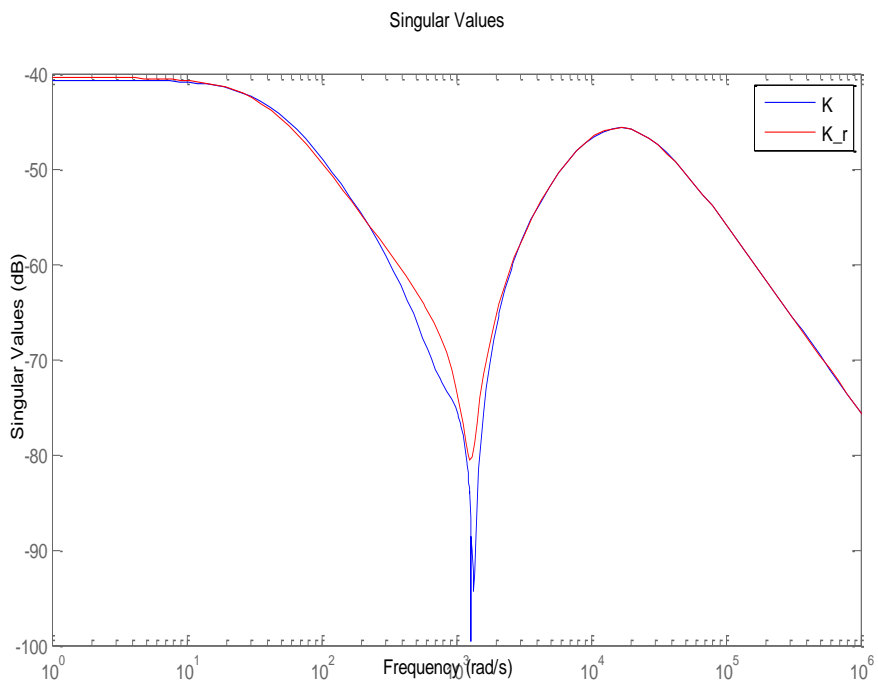
همان‌گونه که مشاهده می‌شود کنترل کننده فوق از درجه ۷ است که این موضوع باعث پیچیدگی طراحی و پیاده‌سازی می‌شود، بنابراین باید یک کنترل کننده مرتبه کاهش یافته بدست آورد که به اندازه کافی ساده بوده و در عمل قابل اجرا باشد.

با استفاده از روش‌های تقلیل درجه به کنترل کننده زیر دست یافتم که عملکرد مشابهی با

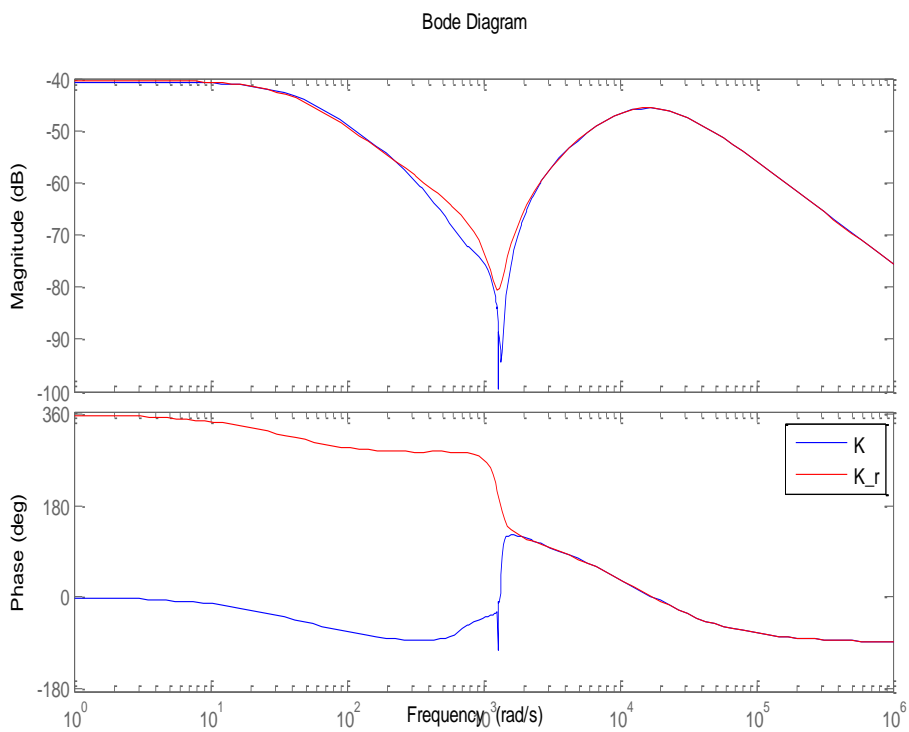
کنترل کننده رابطه (۳۷-۳) دارد:

$$K = \frac{237.9s^3 + 4.782e04s^2 + 3.56e08s + 1.12e11}{s^4 + 2.591e04s^3 + 1.925e08s^2 + 3.358e11s + 1.162e13} \quad (38-3)$$

به منظور بررسی یکسان بودن عملکرد کنترل کننده مرتبه کاهش یافته با کنترل کننده مرتبه ۷ اقدام به رسم مقادیر ویژه و دیاگرام بود دوتابع کردیم که در شکل ۳-۶ و شکل ۳-۷ مشاهده می‌نمایید



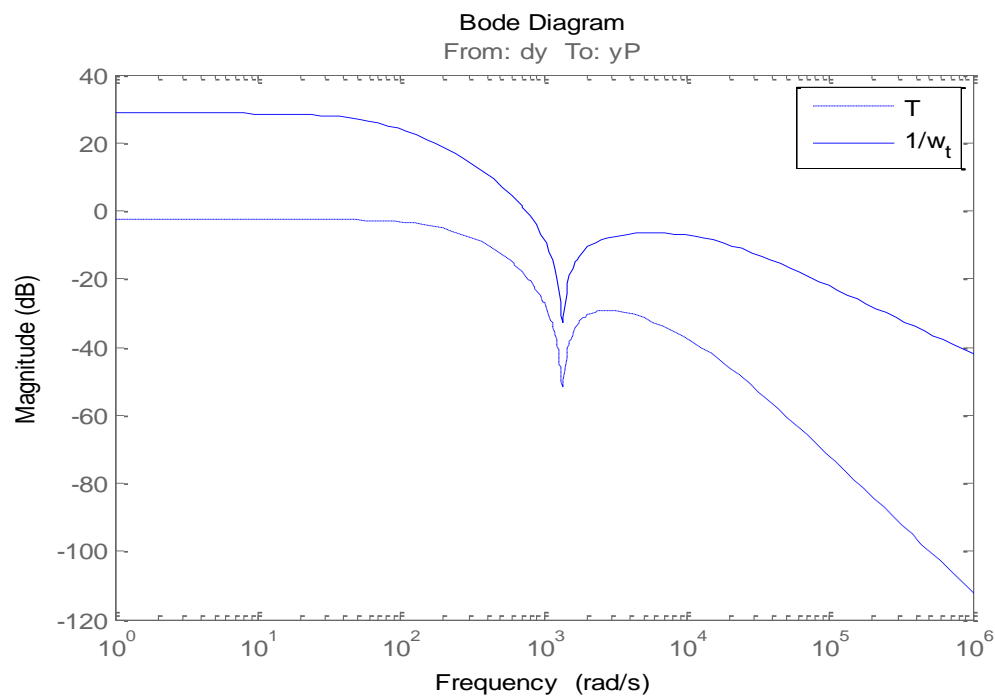
شکل ۳-۶: مقادیر ویژه دو کنترل کننده مرتبه ۷ و مرتبه کاوش یافته



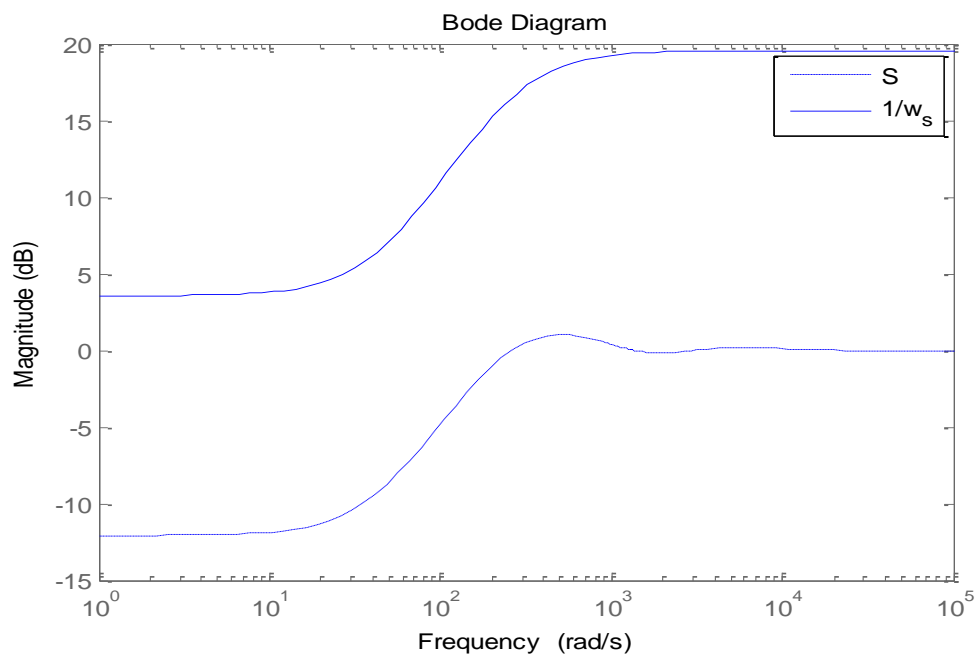
شکل ۳-۷: دیاگرام بود دو کنترل کننده مرتبه ۷ و مرتبه کاوش یافته

اکنون باید مقاوم بودن کنترل کننده طراحی شده را بررسی کنیم، برای این کار باید روابط (۱۱-۳)، (۱۳-۳) و (۱۷-۳) که در زیر نیز مشاهده می‌شود برقرار باشد:

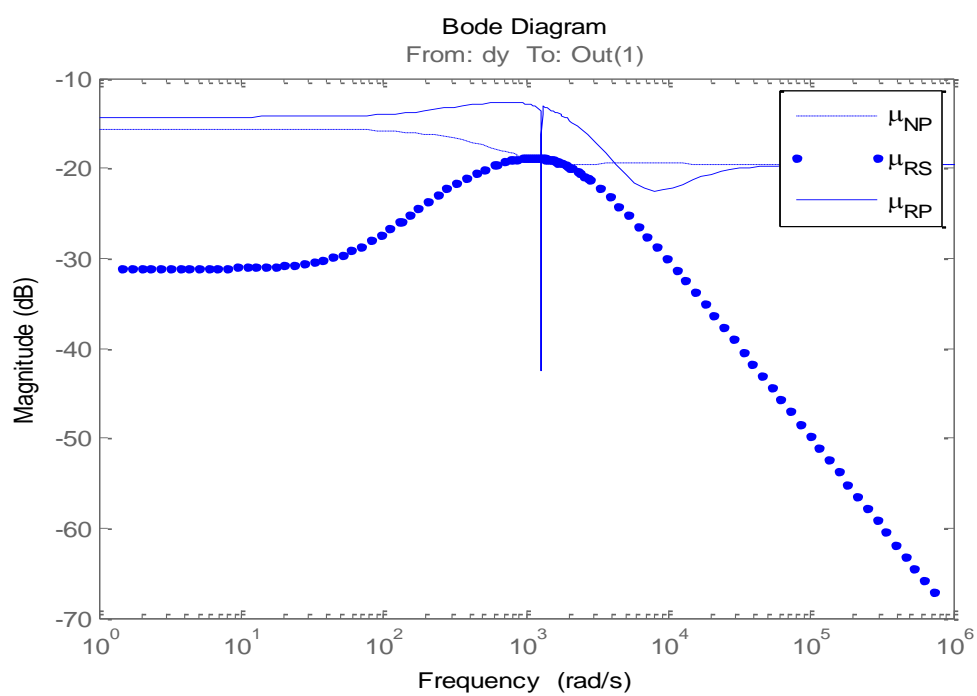
$$\begin{aligned} RS &\Leftrightarrow \mu_{RS} = |W_t T| < 1 \\ NP &\Leftrightarrow \mu_{NP} = |W_s S| < 1 \\ RP &\Leftrightarrow \mu_{RP} = |W_t T| + |W_s S| = \mu_{RS} + \mu_{NP} < 1 \end{aligned} \quad (۳۹-۳)$$



شکل ۳-۸: بررسی پایداری مقاوم سیستم حلقه بسته



شکل ۹-۳: بررسی عملکرد نامی سیستم حلقه بسته



شکل ۱۰-۳: بررسی عملکرد مقاوم سیستم حلقه بسته

۷-۳ طراحی کنترل کننده به روش سنتز μ برای مبدل SEPIC

یک روش بهینه‌سازی موثر برای طراحی با تقریب کنترل کننده روش سنتز μ است که به عنوان تکرار K-D-K شناخته می‌شود، و منجر به یک کنترل کننده جدید با برقراری همزمان شرایط پایداری و کارایی مقاوم خواهد شد. روش طراحی به روش K-D-K به طریق زیر می‌باشد:

- با حدس اولیه از D شروع کنید.
- گام K : مقدار D را ثابت نگه دارید و مساله بهینه‌سازی H_∞ زیر را به منظور یافتن کنترل کننده مقاوم K حل کنید

$$K = \inf_{k(s)} \|DF_l(M, K)D^{-1}\|_{\infty} = \inf_{k(s)} \|DND^{-1}\|_{\infty} \quad (40-3)$$

- گام D : مقدار K را ثابت نگه دارید و ماتریس قطری کننده ی D به منظور کمینه‌سازی تابع هزینه زیر را در هر فرکانس بیابید

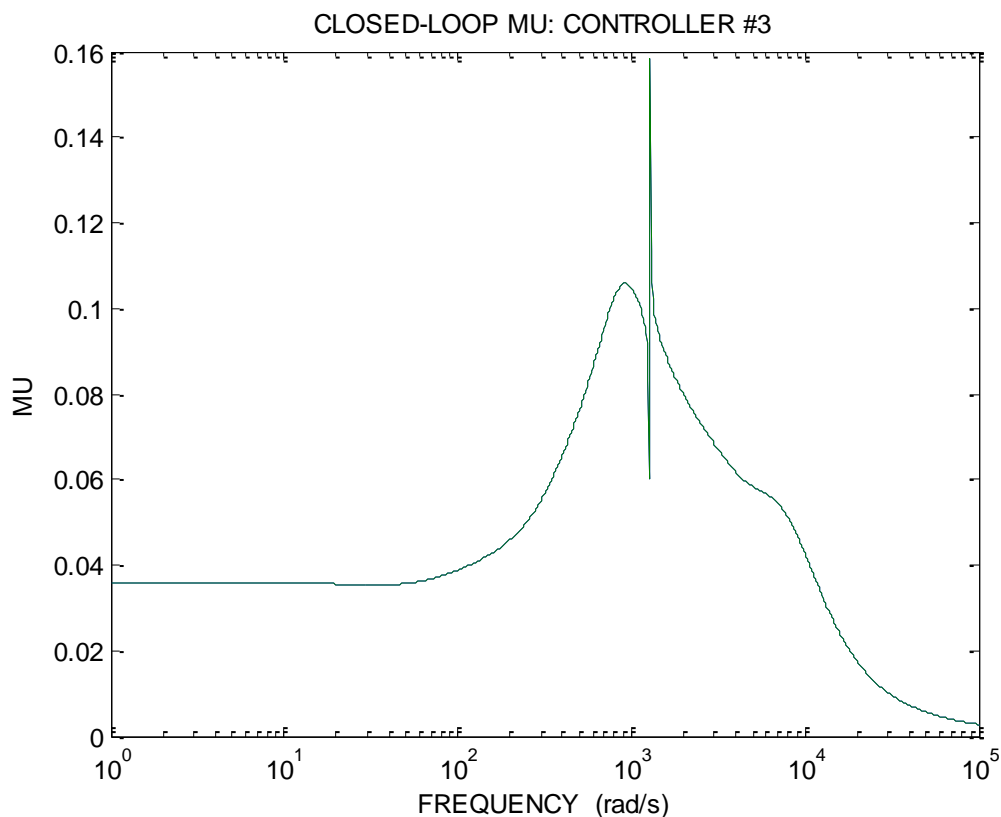
$$D(j\omega) = \inf_D \bar{\sigma}[DF_l(M, K)D^{-1}] = \inf_D \bar{\sigma}[DND^{-1}] \quad (41-3)$$

- از طریق برآش، ماتریس تابع تبدیل D را بر اساس توزیع فرکانسی مقدار تکین ساختاریافته با یک تابع تبدیل کمینه‌فاز و پایدار تقریب بزنید. اگر تابع هزینه گام سوم از مقدار ۱ کمتر بود، حل مساله را متوقف کرده در غیراینصورت به گام دوم برگردید

به طراحی سیستم پرداختیم و نتایج حاصل شده پس از ۳ تکرار به صورت زیر است:

Iteration #	1	2	3
Controller Order	7	9	11
Total D-Scale Order	0	2	4
Gamma Achieved	10.474	4.777	1.943
Peak mu-Value	8.144	1.829	0.158

در شکل ۱۱-۳ نشان داده است که بیان می‌کند شرط مورد نظر برای عملکرد مطلوب کنترل کننده برقرار شده است.



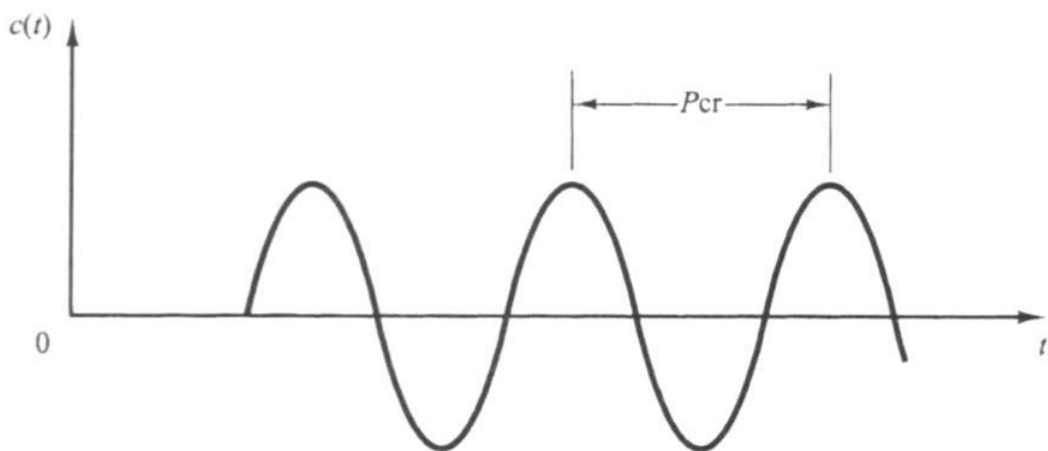
شکل ۱۱-۳: μ سیستم حلقه بسته

کنترل کننده طراحی شده از این روش به قرار زیر است:

$$K = \frac{928.7s^{10} + 5.74e06s^9 + 1.022e10s^8 + 2.116e13s^7 + 2.565e16s^6}{s^1 + 3.703e04s^10 + 5.759e08s^9 + 4.605e12s^8 + 2.125e16s^7 + 5.515e19s^6} \\ + \frac{2.098e19s^5 + 1.746e22s^4 + 2.687e24s^3 - 1.951e27s^2 - 2.747e29s + 2.043e31}{+7.358e22s^5 + 9.453e25s^4 + 6.832e28s^3 + 2.76e31s^2 + 4.222e33s + 2.37e35} \quad (۴۲-۳)$$

۸-۳ طراحی کنترل کننده PI برای مبدل SEPIC

برای طراحی کنترل کننده PI برای مبدل SEPIC از روش زیگلر- نیکولز استفاده می کنیم. در این روش ابتدا $T_d = 0$ و $T_i = \infty$ قرار می دهیم، در این صورت تنها از عمل کنترل تناوبی استفاده می شود. K_p را از صفر زیاد می کنیم تا به مقدار بحرانی K_{cr} برسد، جایی که خروجی برای اولین بار نوسان نامیرا پیدا می کند (اگر به ازای هیچ مقدار K_p خروجی نوسان نامیرا نداشته باشد این روش قابل اعمال نیست). پس مقدار بهره بحرانی K_{cr} و زمان تناوب P_{cr} متناظر با آن به طور تجربی تعیین می شود (شکل ۱۲-۳)



شکل ۱۲-۳: نوسان نامیرا با زمان تناوب [۴۰]

حال بر اساس توضیحات فوق برای طراحی کنترل کننده PI داریم:

$$K_{cr} = 0.05875 \quad (43-3)$$

$$P_{cr} = 0.00266$$

سپس با استفاده از جدول ۴ پارامترهای T_d ، T_i ، K_p و T_{cr} تنظیم می شوند [۴۰]

جدول ۴-۳: قواعد تنظیم زیگلر - نیکلز [۴۰]

T_d	T_i	K_p	نوع کنترل کننده
0	∞	$0.5 K_{cr}$	P
0	$1.2 \frac{K_p}{P_{cr}}$	$0.45 K_{cr}$	PI
$0.125 K_p P_{cr}$	$2 \frac{K_p}{P_{cr}}$	$0.6 K_{cr}$	PID

با جایگذاری (۴۳-۳) در روابط جدول ۴-۳ خواهیم داشت:

$$K_{PI}(s) = 0.0264(1 + \frac{1}{11.9s}) \quad (44-3)$$

۹-۳ طراحی کنترل کننده H_∞ برای مبدل افزاینده ساده

برای مبدل افزاینده ساده طراحی کنترل مقاوم را به منظور مقایسه با مبدل SEPIC با توجه به

جدول ۲-۳ انجام می‌دهیم و در جدول ۵-۳ داریم که:

جدول ۵-۳: پارامترهای مبدل افزاینده و دامنه تغییرات

V_{in}	$37 \pm 20\%$
V_{out}	74
R	$18 \rightarrow 50$
L	$576 \mu H \pm 20\%$
C	$30.8 \mu F \pm 20\%$
F_{sw}	10kHz

با توجه مطالب ارائه شده در بخش ۴-۵-۳ معادلات فضای حالت پس از عمل خطی سازی به صورت زیر قابل مشاهده است:

$$\begin{bmatrix} \dot{\tilde{I}}_L \\ \dot{\tilde{V}}_C \end{bmatrix} = \begin{bmatrix} 0 & -\frac{1-D}{L} \\ \frac{1-D}{C} & -\frac{1}{RC} \end{bmatrix} \begin{bmatrix} \tilde{I}_L \\ \tilde{V}_C \end{bmatrix} + \begin{bmatrix} \frac{V_c}{L} \\ \frac{I_L}{C} \end{bmatrix} \tilde{d}$$

$$y = [0 \ 0 \ 0 \ 1] \begin{bmatrix} \tilde{I}_L \\ \tilde{V}_C \end{bmatrix} \quad (45-3)$$

با مراجعه به بخش ۳-۶ می‌توان توابع وزنی را به صورت زیر برای مدل افزاینده محاسبه کرد و داریم:

$$W_t(s) = 0.001(s + 500) \quad (46-3)$$

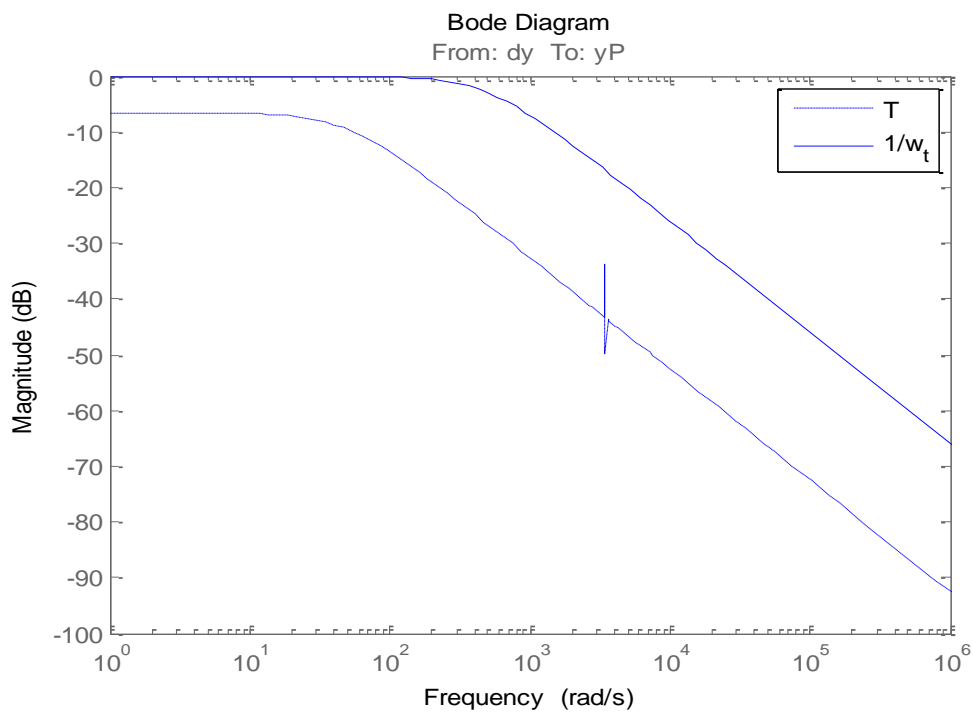
۹

$$W_s(s) = 0.5 \frac{s + 50}{s + 30.27} \quad (47-3)$$

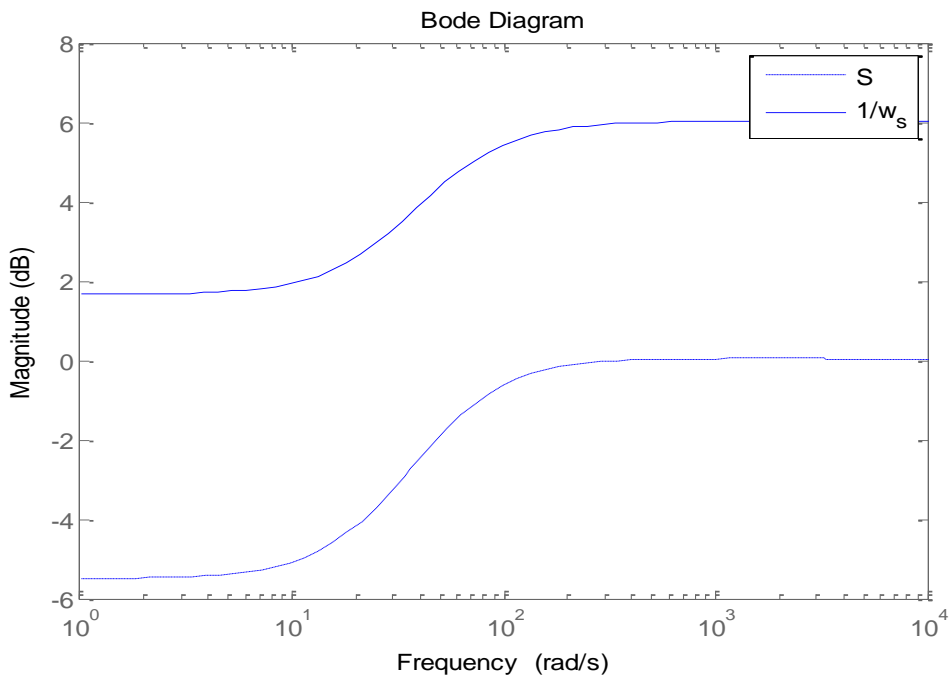
با توجه به توابع وزنی و روابط پیشین، می‌توان کنترل‌کننده زیر را بدست آورد:

$$K = \frac{2.577e04s^3 + 7.8e05s^2 + 3.064e11s + 9.274e12}{s^4 + 2.442e08s^3 + 1.96e12s^2 + 1.105e14s + 1.556e15} \quad (48-3)$$

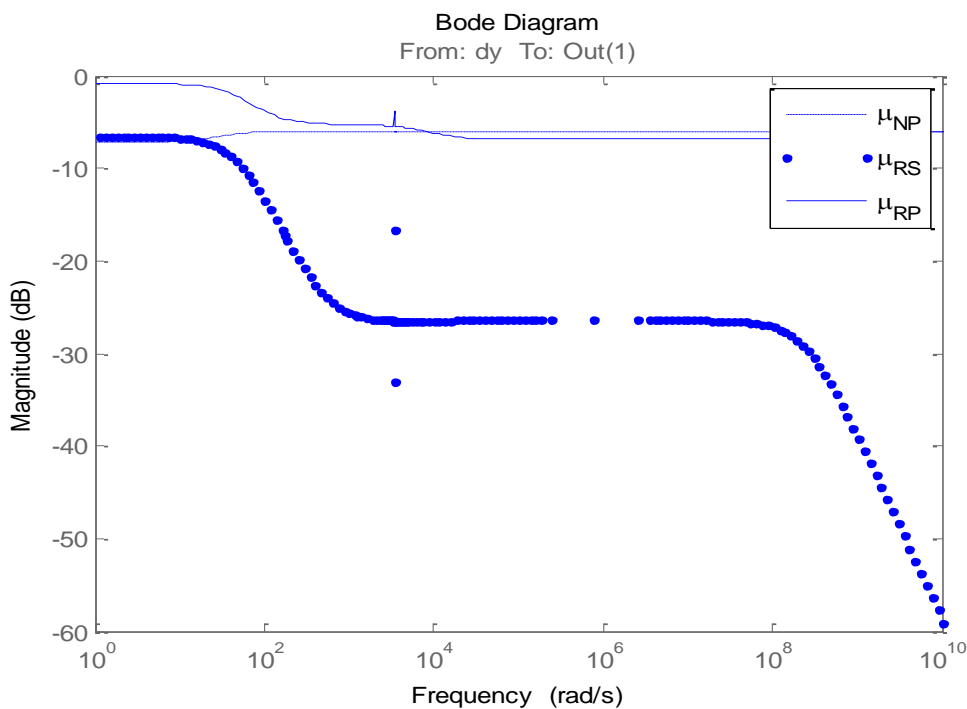
اکنون باید مقاوم بودن کنترل‌کننده طراحی شده را بررسی کنیم، برای این کار باید رابطه (۳۹-۳) برقرار گردد.



شکل ۱۳-۳: بررسی پایداری مقاوم سیستم حلقه بسته مبدل افزاینده ساده



شکل ۱۴-۳: بررسی عملکرد نامی سیستم حلقه بسته مبدل افزاینده ساده



شکل ۳-۱۵: بررسی عملکرد مقاوم سیستم حلقه بسته مبدل افزاینده ساده

۱۰-۳ نتیجه گیری

در این فصل ابتدا به بررسی کنترل مقاوم پرداخته شد، سپس دلایل انتخاب مبدل SEPIC و مدل‌سازی آن با استفاده از پنل خورشیدی MAGI Solar آلمان مورد بحث قرار گرفته شد. بعد از آن با توجه به مشخصات پارامترهای مبدل، کنترل‌کننده‌های مقاوم H_{∞} ، سنتزیا و کنترل‌کننده PI طراحی شد. در آخر این مراحل برای مبدل افزاینده ساده نیز اعمال و مورد بررسی قرار گرفته شد. در فصل بعد نتایج حاصل از شبیه‌سازی به تفصیل بیان می‌شود.

فصل ۴

شبیه سازی

۱-۴ مقدمه

در فصل سوم به مطالعه و بررسی مبدل و روش کنترلی پرداختیم و کنترل کننده مناسب را طراحی کردیم.

به‌طور کلی در این فصل نتایج حاصل از شبیه‌سازی سیستم کلی به‌طور کامل نمایش داده و مورد ارزیابی و مقایسه قرار خواهد گرفت.

به‌طوری که پیش‌تر اشاره شد با پیاده‌سازی کنترل کننده، سیستم پایداری مقاوم خود را حفظ می‌کند.

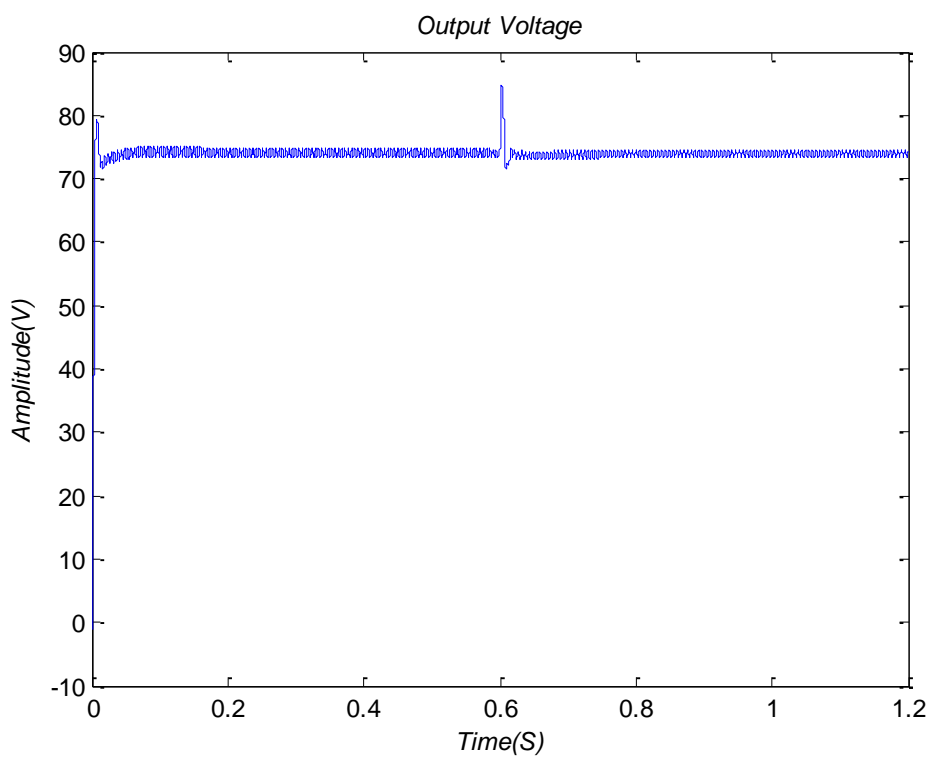
۲-۴ شبیه سازی مبدل SEPIC با کنترل کننده مقاوم H_{∞} در مدل

میانگین

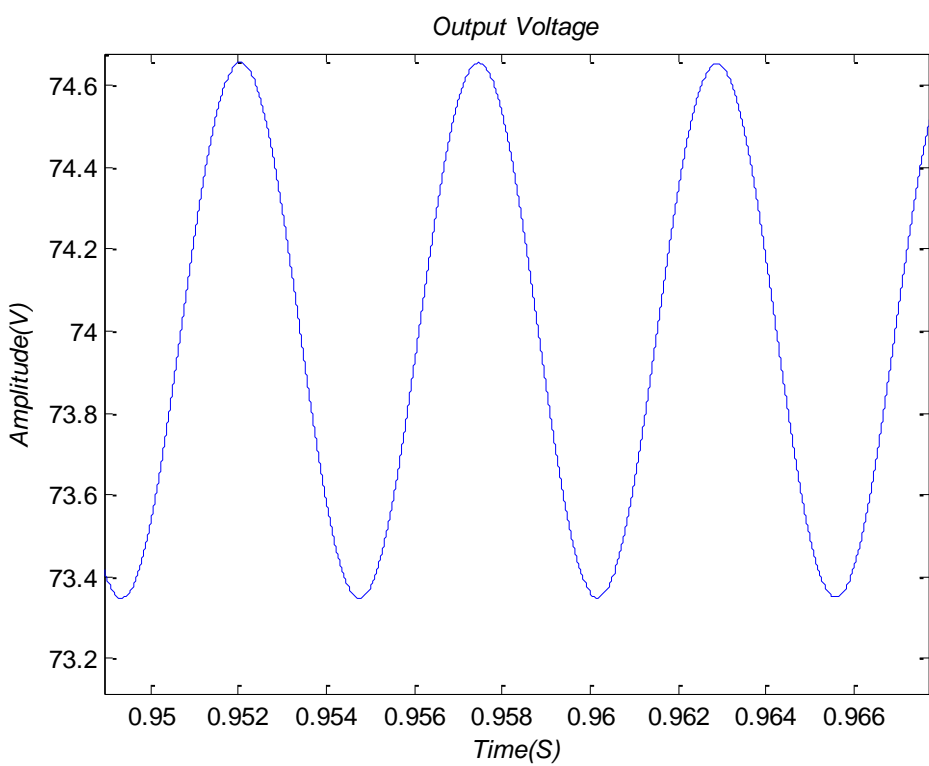
در اینجا با استفاده از رابطه (۳۰-۳) و جدول ۳-۳ به شبیه سازی مبدل SEPIC پرداختیم و نتایجی که مشاهده می‌کنید بدست آمد

ابتدا به بررسی نتیج حاصل از کنترل کننده مرتبه ۷ می‌پردازیم و در شکل ۱-۴ ولتاژ خروجی مبدل در مقادیر نامی قابل مشاهده است، همانطور که مشاهده می‌کنید کنترل کننده به خوبی عمل کرده و بر روی مقدار ۷۴ تنظیم شده است.

به منظور بررسی اثر نامعینی بر روی عملکرد مبدل در زمان ۰.۶ ثانیه تغییرات پارامتری بر روی مبدل اعمال کردیم اما همنگونه که از شکل ۱-۴ مشاهده می‌شود کنترل کننده به خوبی این نامعینی را پاسخ داد و در عملکرد مبدل خللی ایجاد نشد.



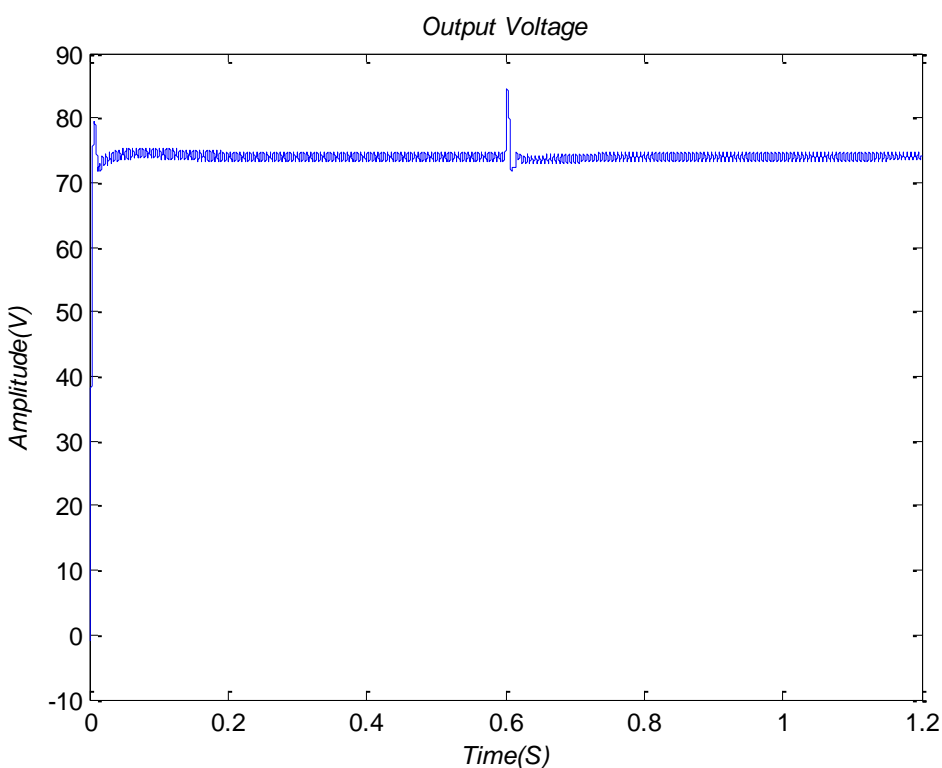
شکل ۱-۴: ولتاژ خروجی مبدل SEPIC با کنترل کننده مقاوم مرتبه ۷ در مدل میانگین



شکل ۲-۴: خطای ولتاژ خروجی مطلوب و کنترل شده مبدل SEPIC در حالت مدل میانگین

شکل ۴-۴ خطای ولتاژ خروجی مطلوب و کنترل شده را نشان می‌دهد که برابر با مقدار ۱.۲۵ می‌باشد که مقدار خیلی کمی است

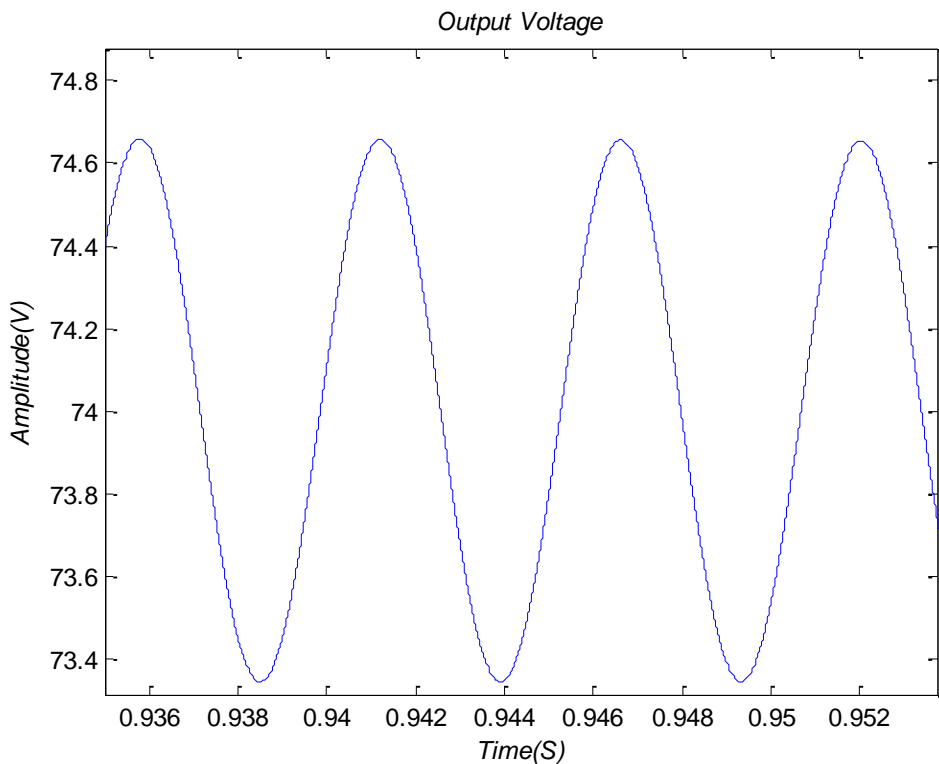
حال به نتایج حاصل از کنترل کننده مقاوم H_∞ مرتبه کاهش یافته می‌پردازیم. در شکل ۳-۴ ولتاژ خروجی مبدل به همراه نامعینی در لحظه ۰.۶ ثانیه را مشاهده می‌کنید



شکل ۳-۴: ولتاژ خروجی مبدل SEPIC با کنترل کننده مقاوم مرتبه کاهش یافته در مدل میانگین

همان طور که مشاهده می‌کنید کنترل کننده مرتبه کاهش یافته هم به خوبی کنترل کننده مرتبه ۷ از عهد کنترل مبدل برآمده است و نامعینی اعمال شده تاثیری بر عملکرد مبدل نداشت و بر روی مقدار ۷۴ به خوبی تنظیم شده است.

نمودار بزرگ‌نمایی شکل فوق را در شکل ۴-۴ مشاهده می‌نمایید



شکل ۴-۴: خطای ولتاژ خروجی مطلوب و کنترل شده مبدل SEPIC با کنترل کننده مرتبه کاوش یافته در حالت مدل میانگین

همانطور که مشاهده می نمایید مقدار ریپل ولتاژ خروجی با حالت قبل تفاوتی ندارد که مرتبه کنترل کننده ۳ واحد کاوش یافته است.

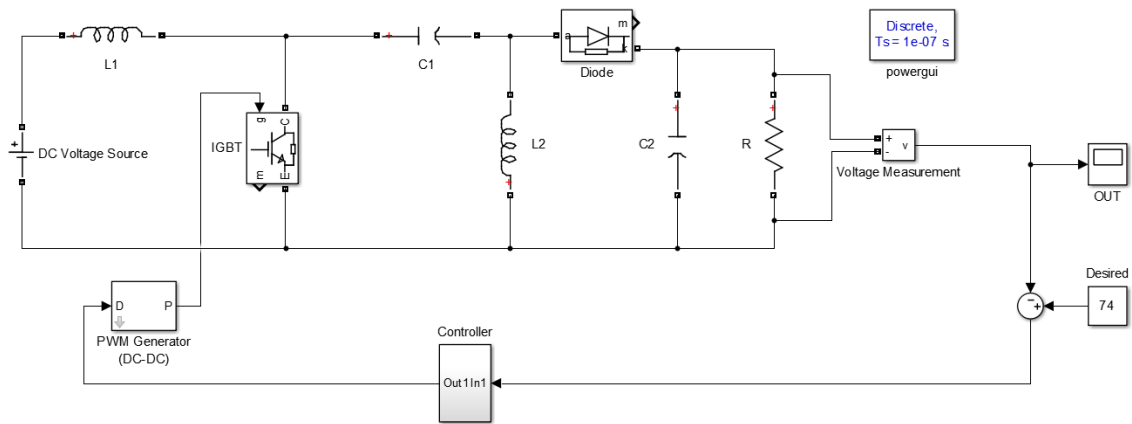
در ادامه به منظور ارزیابی بیشتر عملکرد سیستم و مشاهده پاسخ نهایی به دست آمده از آن، نتایج حاصل از شبیه سازی را در نقاط مختلف سیستم فیدبک و همچنین مدار داخلی مبدل نشان داده خواهد شد.

* به منظور بررسی پایداری و عملکرد مقاوم، مقادیر سلف و خازن مبدل را در بدترین حالت طراحی قرار می دهیم.

۳-۴ شبیه‌سازی مبدل SEPIC با کنترل کننده مقاوم

شکل ۵-۴ شمای کامل شده مبدل SEPIC بر اساس جدول ۳-۳ پس از پیاده‌سازی کنترل کننده

مقاوم را نشان می‌دهد

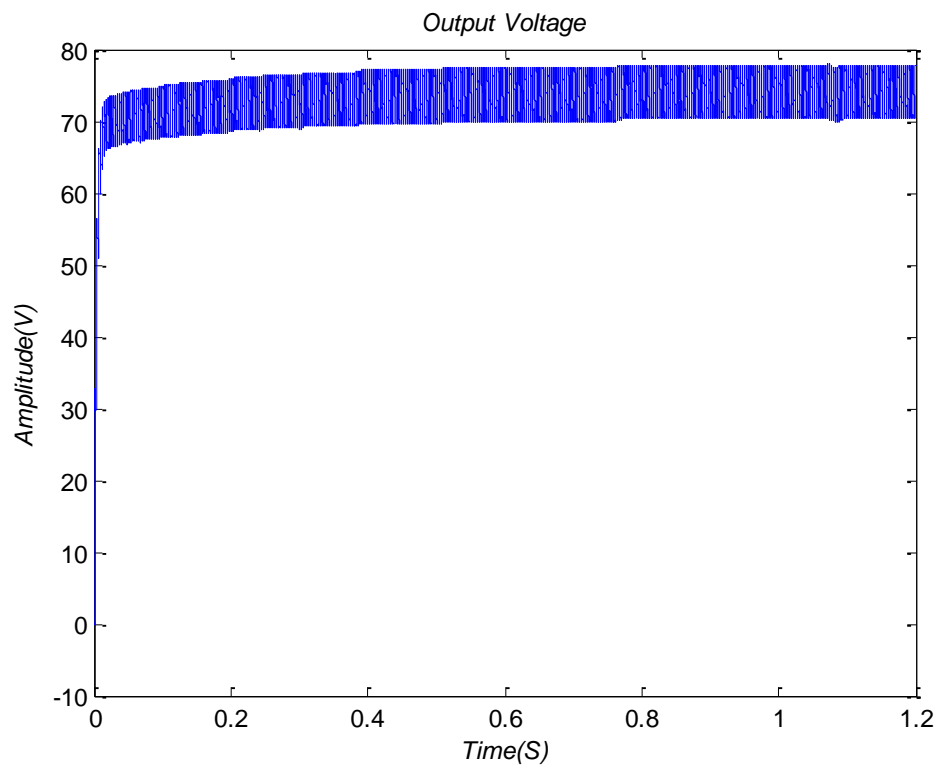


شکل ۵-۵: نمایی از مبدل SEPIC حلقه بسته

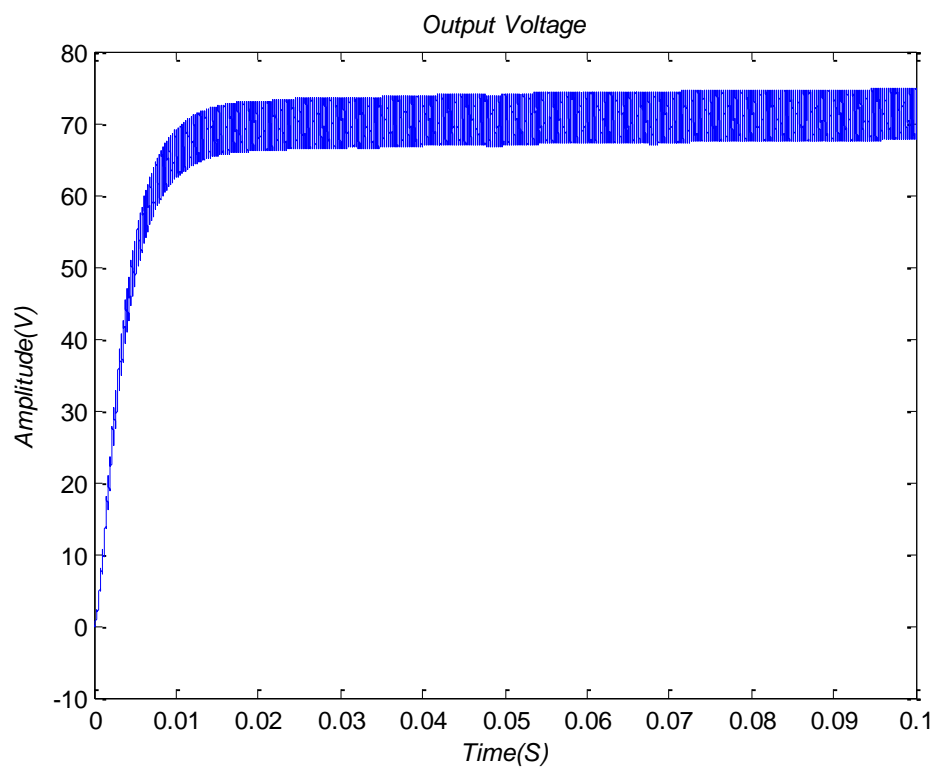
شکل ۶-۴ شکل موج ولتاژ خروجی مبدل SEPIC را با کنترل کننده مقاوم H_{∞} در بازه‌ی زمانی

۱.۲ ثانیه نشان می‌دهد. همانطور که از این شکل مشخص است، سیستم با دقت و سرعت خوبی پاسخ داده است.

از آنجایی که سرعت پاسخ سیستم بالا است برای بررسی جزئی‌تر، در بازه‌ی کوچک‌تر ۰.۱ پاسخ سیستم را رسم می‌کنیم (شکل ۷-۴). می‌توان مشاهده کرد ولتاژ خروجی مبدل فراجهشی ندارد و به خوبی پاسخ داده است.

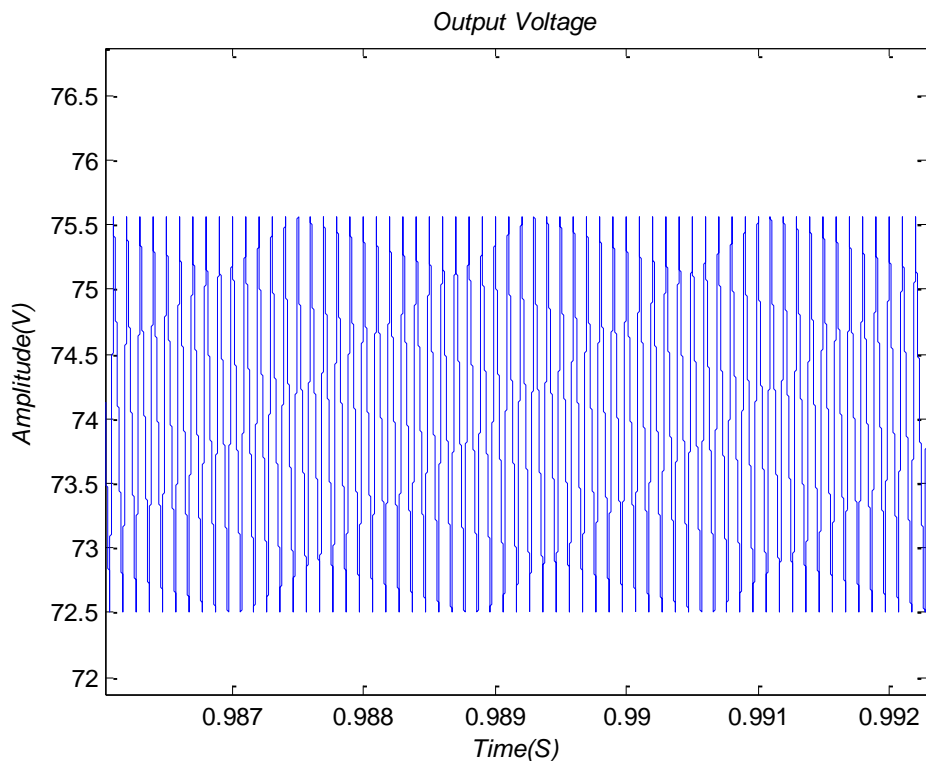


شکل ۴-۶: ولتاژ خروجی مبدل SEPIC با کنترل‌کننده مقاوم ∞



شکل ۷-۴: ولتاژ خروجی مبدل SEPIC با کنترل‌کننده مقاوم ∞

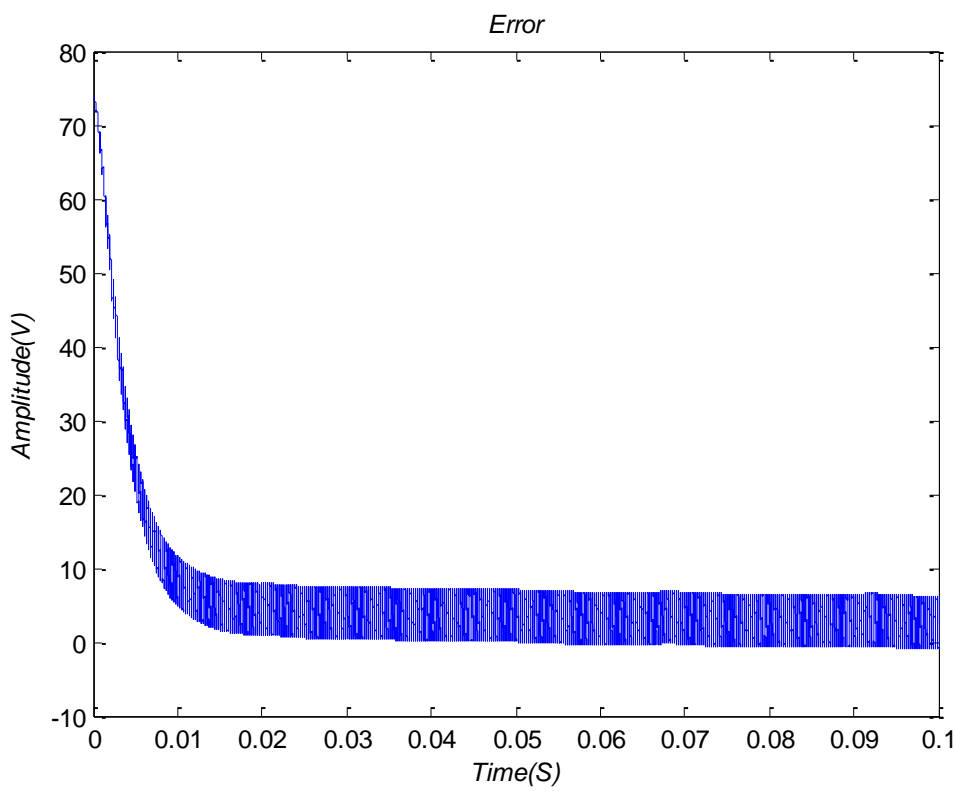
نمودار بزرگنمایی شده شکل ۶-۴ نشان‌دهنده دقیق‌تر ولتاژ خروجی و همچنین میزان ریپل موجود در آن خواهد بود که در شکل ۸-۴ آمده است.



شکل ۸-۴: ریپل ولتاژ خروجی مبدل SEPIC با کنترل کننده مقاوم H_∞

همانطور که از شکل فوق ملموس است ریپل ولتاژ خروجی ۳ ولت است که در حضور نامعینی‌های تعریف شده در جدول ۳-۳ و مقدار نه‌چندان بزرگ خازن خروجی، پاسخ مناسبی است.

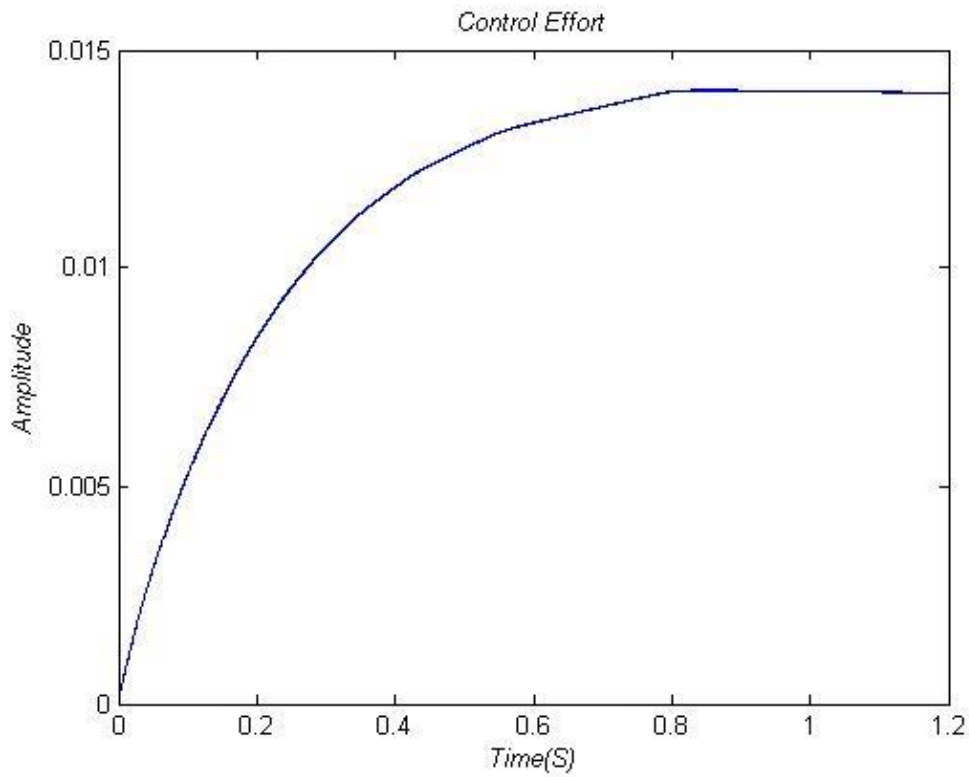
شکل ۹-۴ خطای ولتاژ خروجی را نشان می‌دهد:



شکل ۹-۴: خطای ولتاژ خروجی مبدل SEPIC با کنترل کننده مقاوم H_∞

ملاحظه می‌شود که کنترل کننده با دقت خوبی خط را کاهش داده و در یک مقدار ثابت حفظ می‌کند.

در آخر سیگنال کنترل، کنترل کننده مقاوم برای مبدل SEPIC در مشخص است. همانطور که مشاهده می‌شود تلاش کنترلی صورت گرفته عدد ۱۴۰۰ را نمایش می‌دهد. تلاش کنترلی در این مبدل بین باید بین -0.66 تا $+0.44$ می‌بود)



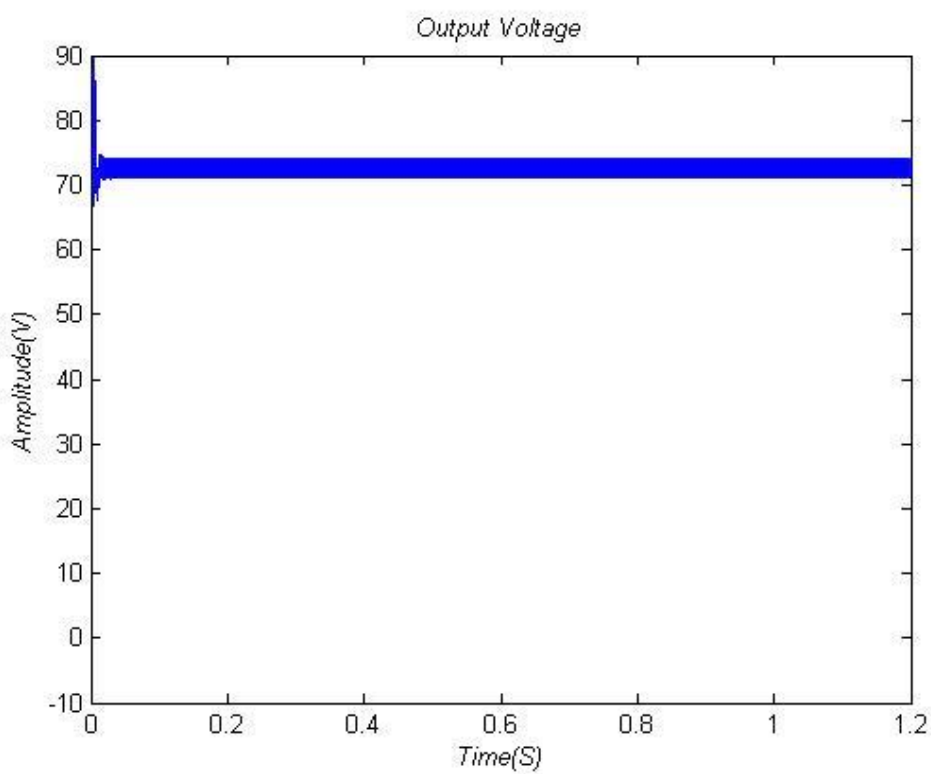
شکل ۱۰-۴ : سیگنال کنترل کننده مقاوم H_{∞} برای مبدل SEPIC

۴-۴ شبیه سازی مبدل SEPIC با کنترل کننده سنتز μ

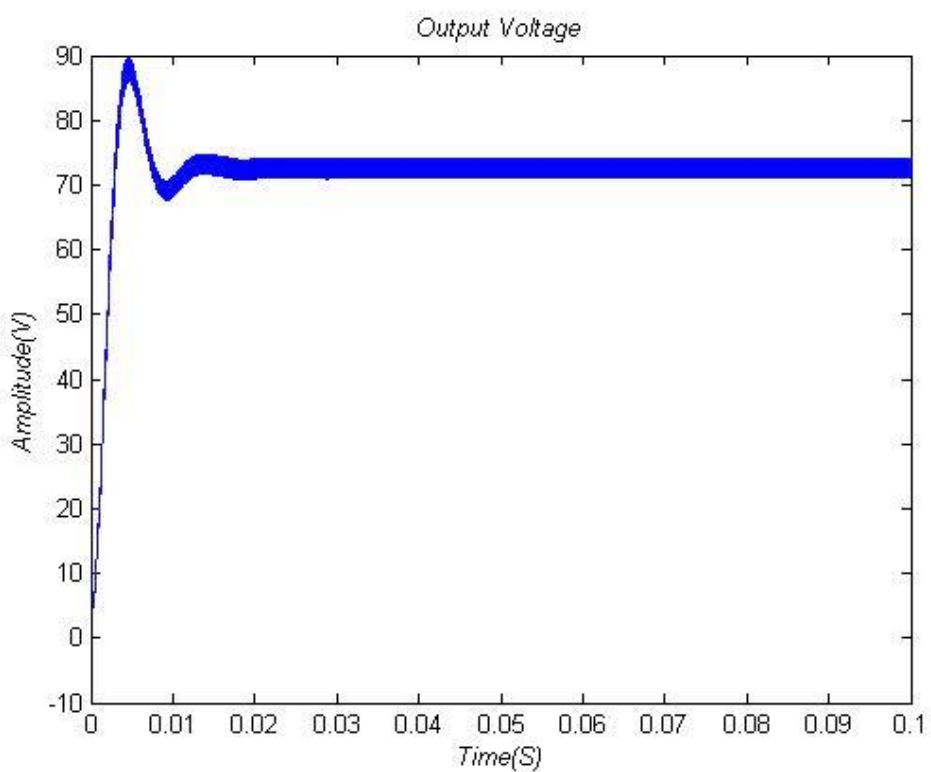
با توجه به بخش ۳-۷ با استفاده از کنترل کننده مقاوم به روش سنتز μ اقدام به کنترل سیستم شکل ۵-۴ می کنیم.

شکل موج ولتاژ خروجی مبدل SEPIC را در بازه زمانی ۱.۲ ثانیه نشان می دهد. از آنجایی که سرعت پاسخ سیستم بالا است برای بررسی جزئی تر، در بازه‌ی کوچک‌تر ۰.۱ پاسخ سیستم را رسم می کنیم (شکل ۱۷-۴)

همانطور که مشاهده می شود با وجود این که سرعت پاسخ سیستم مناسب است اما فراجهش ولتی دارد.

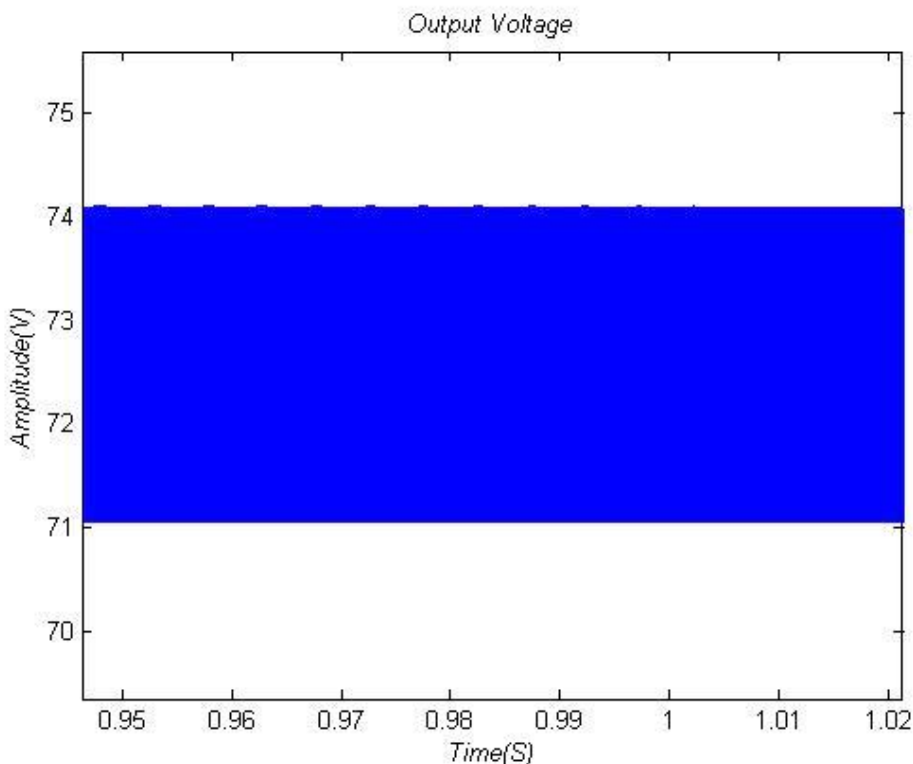


شکل ۱۱-۴: ولتاژ خروجی مبدل SEPIC با استفاده از کنترل کننده مقاوم سنتز μ



شکل ۱۲-۴: ولتاژ خروجی مبدل SEPIC با استفاده از کنترل کننده مقاوم سنتز μ

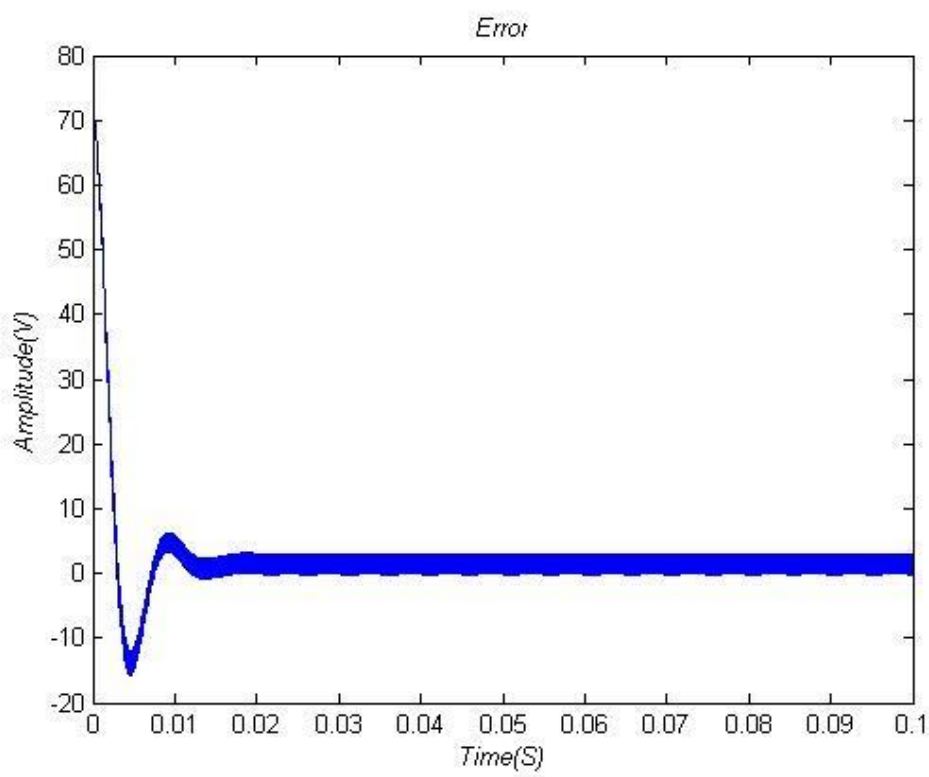
نمودار بزرگنمایی شده شکل ۱۱-۴ نشان دهنده دقت ولتاژ خروجی و همچنین میزان ریپل موجود در آن خواهد بود که در شکل ۱۳-۴ آمده است.



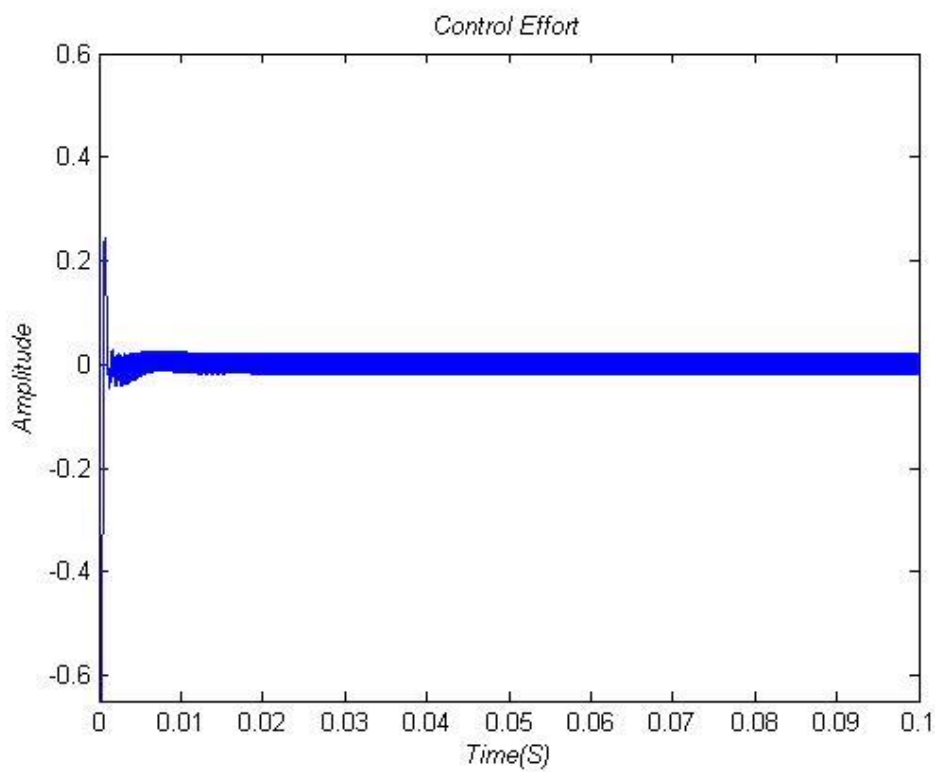
شکل ۱۳-۴: ریپل ولتاژ خروجی مبدل SEPIC با استفاده از کنترل کننده مقاوم سنتزی

از شکل فوق مشخص می‌شود علاوه بر این که ولتاژ خروجی علاوه بر این که ریپل ولتاژ خروجی ۳ ولتی دارد، خطای حالت ماندگار نیز دارد

در ادامه به بررسی خطای سیستم و تلاش کنترلی کنترل کننده مقاوم سنتزی می‌پردازیم که در و آورده شده است



شکل ۱۴-۴: خطای ولتاژ خروجی مبدل SEPIC با استفاده از کنترل کننده مقاوم سنتزی μ



شکل ۱۵-۴: سیگنال کنترل کننده مقاوم سنتزی μ برای مبدل SEPIC

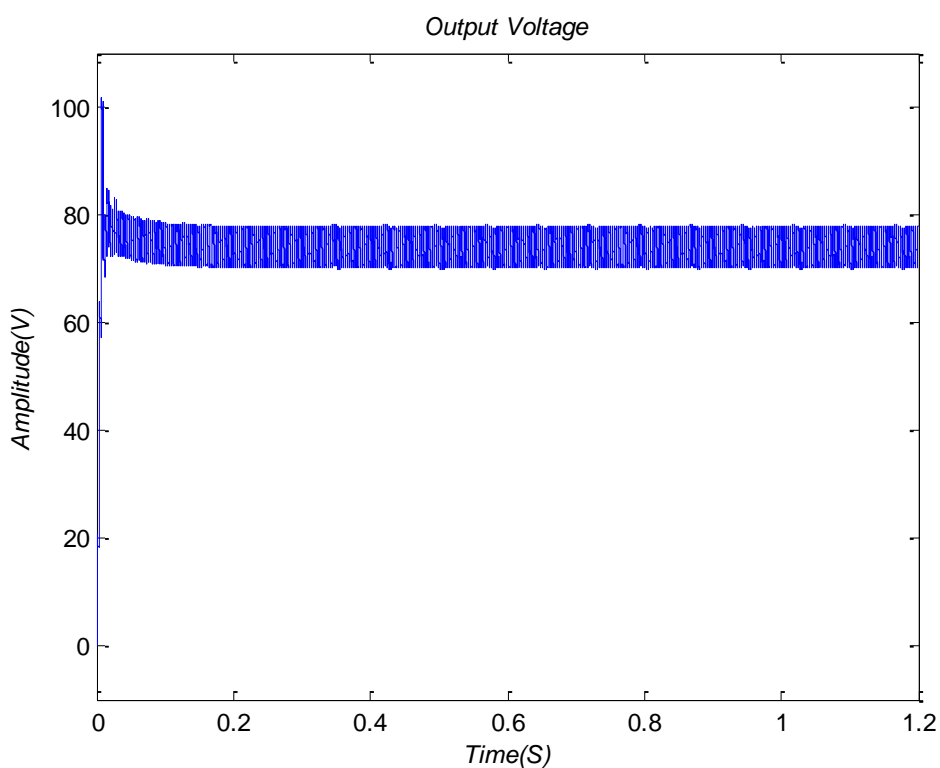
۵-۴ شبیه‌سازی مبدل SEPIC با کنترل کننده PI

با توجه به بخش ۳-۸ با استفاده از کنترل کننده PI اقدام به کنترل سیستم شکل ۵-۴ می‌کنیم

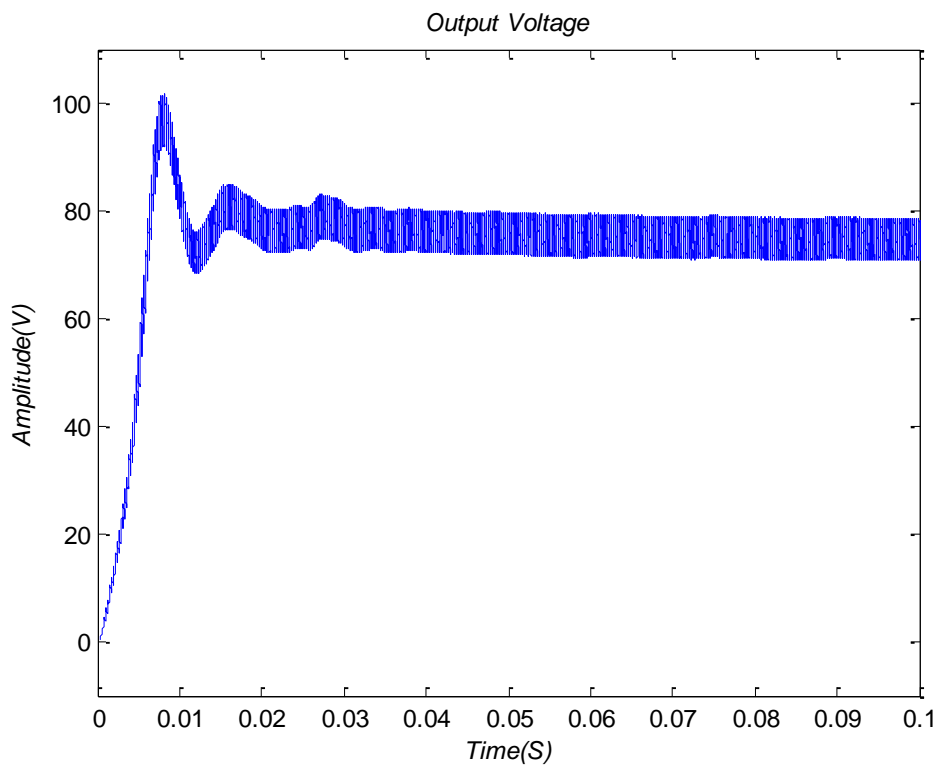
شکل ۱۶-۴ شکل موج ولتاژ خروجی مبدل SEPIC را در بازه‌ی زمانی ۰.۲ ثانیه نشان می‌دهد.

از آنجایی که سرعت پاسخ سیستم بالا است برای بررسی جزئی‌تر، در بازه‌ی کوچک‌تر ۰.۱ ثانیه

سیستم را رسم می‌کنیم (شکل ۱۷-۴).



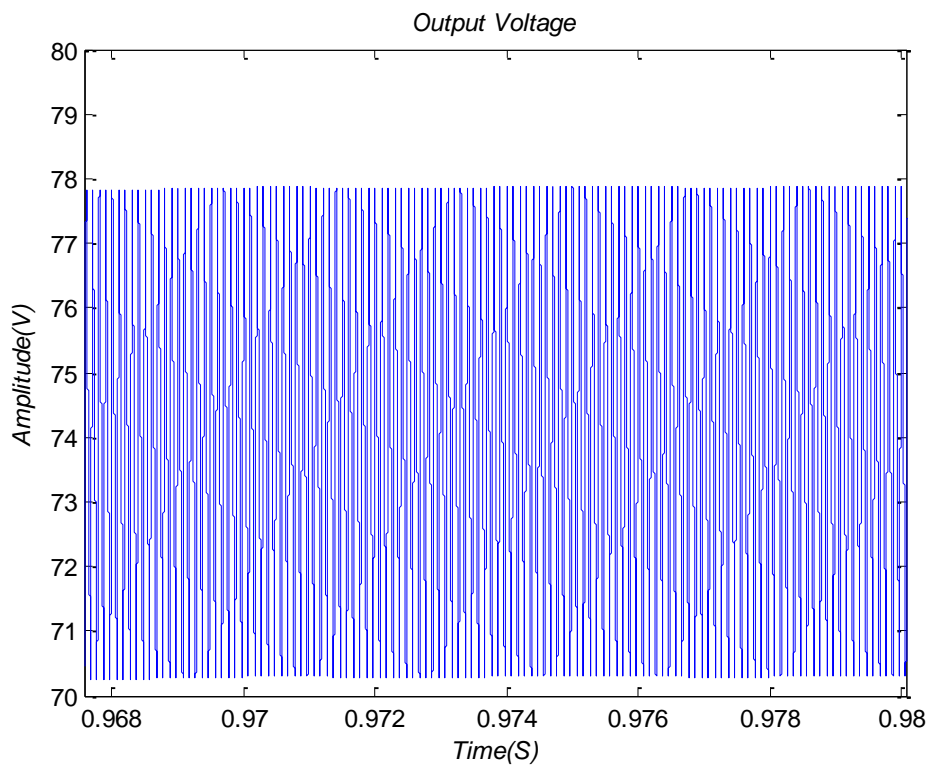
شکل ۱۶-۴: ولتاژ خروجی مبدل SEPIC با کنترل کننده PI



شکل ۱۷-۴: ولتاژ خروجی مبدل SEPIC با کنترل کننده PI

با توجه به شکل های فوق، علیرغم این که سرعت پاسخ سیستم مانند کنترل کننده مقاوم بالا بود و از شکل ۱۷-۴ دریافت می شود که پاسخ سیستم دارای فراجهشی ۳۰ ولتی است که مقدار زیادی است و ممکن است برای کاربردهای فتوولتائیک خطرناک باشد و به کل سیستم آسیب بزند.

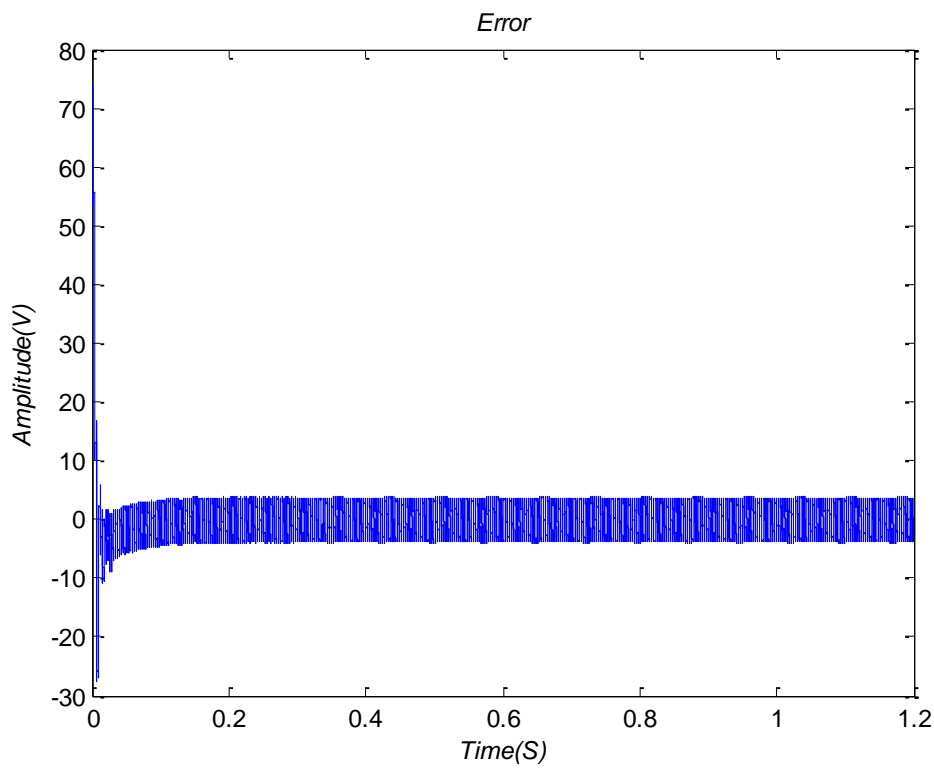
نمودار بزرگ نمایی شده شکل ۱۶-۴ نشان دهنده دقیق ولتاژ خروجی و همچنین میزان ریپل موجود در آن خواهد بود که در شکل ۱۸-۴ آمده است.



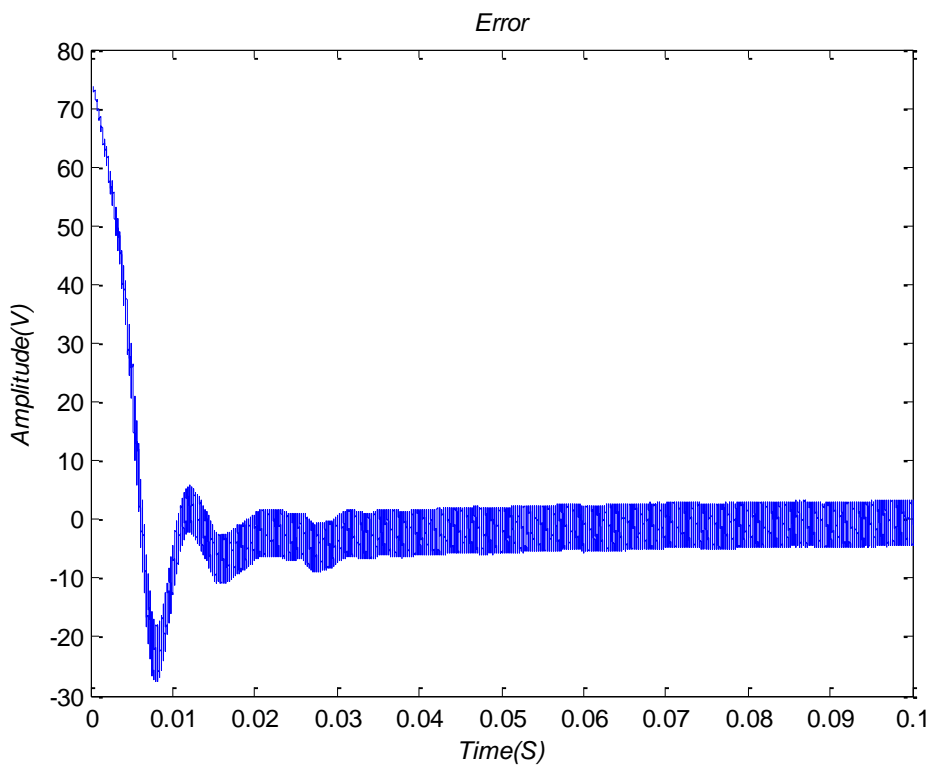
شکل ۱۸-۴: ریپل ولتاژ خروجی مبدل SEPIC با کنترل کننده PI

ملاحظه می‌شود که کنترل کننده PI به خوبی کنترل کننده مقاوم عمل نکرده و ریپل ولتاژ خروجی تقریباً زیادی (حدوداً ۷.۶ ولت) را در خود دارد.

شکل ۱۹-۴ خطای ولتاژ خروجی را در بازه زمانی ۱.۲ ثانیه نشان می‌دهد:



شکل ۱۹-۴: خطای ولتاژ خروجی مبدل SEPIC با کنترل کننده PI



شکل ۲۰-۴: خطای ولتاژ خروجی مبدل SEPIC با کنترل کننده PI

چون پاسخ سیستم سریع است در شکل ۲۰-۴ ۲۰ خطای ولتاژ خروجی را در ۰.۱ ثانیه رسم کرده-

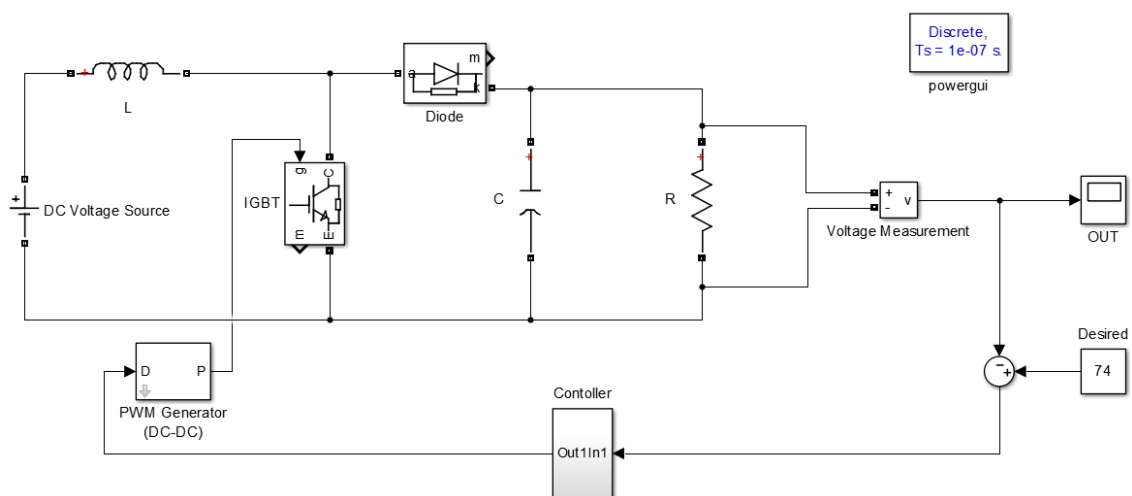
ایم. ملاحظه می‌شود که کنترل کننده خطای را کاهش می‌دهد و در یک مقدار ثابت حفظ می‌کند؛ اما

پاسخ حالت‌گذرای مناسبی ندارد.

۶-۴ شبیه‌سازی مبدل افزاینده ساده با کنترل کننده مقاوم

با توجه به بخش ۳-۸ به بررسی و شبیه‌سازی مبدل افزاینده ساده جدول ۵-۳ با کنترل کننده

مقاوم رابطه (۴۸-۳) می‌پردازیم.

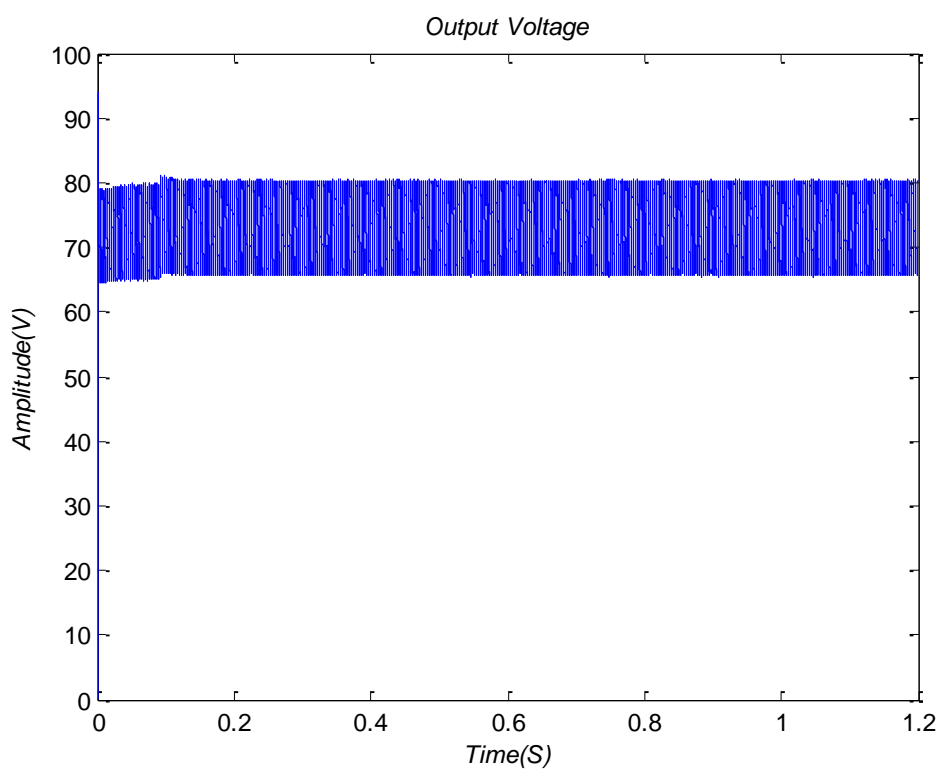


شکل ۲۱-۴: نمایی از مبدل افزاینده ساده حلقه بسته

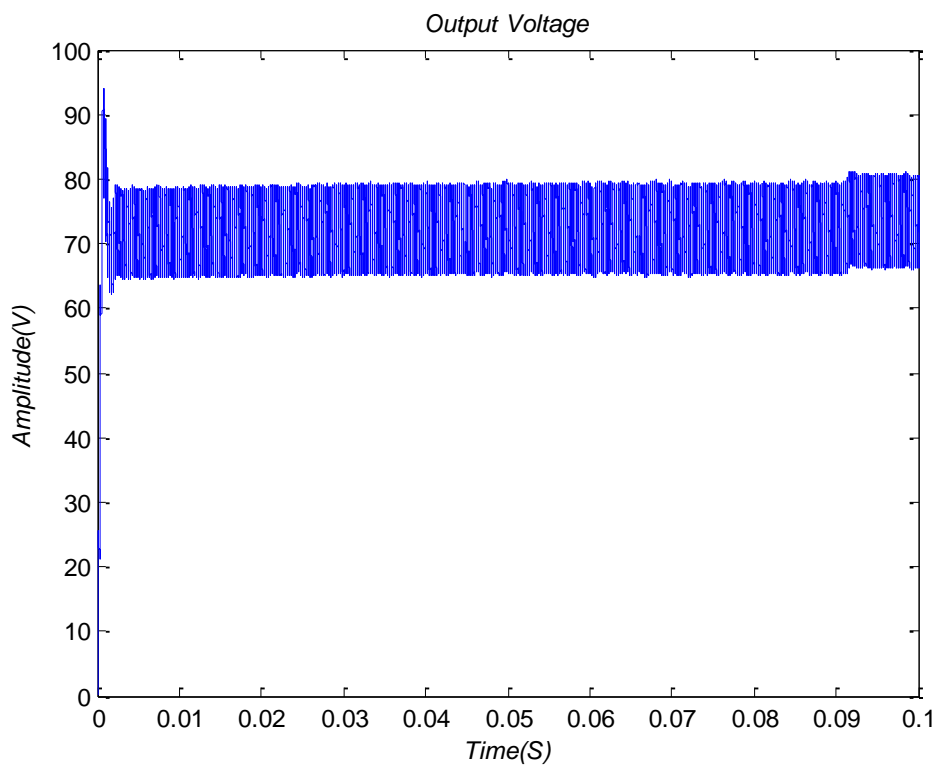
شکل ۲۱-۴ نمایی از مبدل افزاینده ساده را نشان می‌دهد که با کنترل گر مقاوم H_{∞} کنترل می-

شود. در مرحله نخست ولتاژ خروجی مبدل را بررسی می‌کنیم. شکل ۲۲-۴ ولتاژ خروجی مبدل

افزاینده ساده را با حضور نامعینی در بازه زمانی ۱.۲ ثانیه نشان می‌دهد.



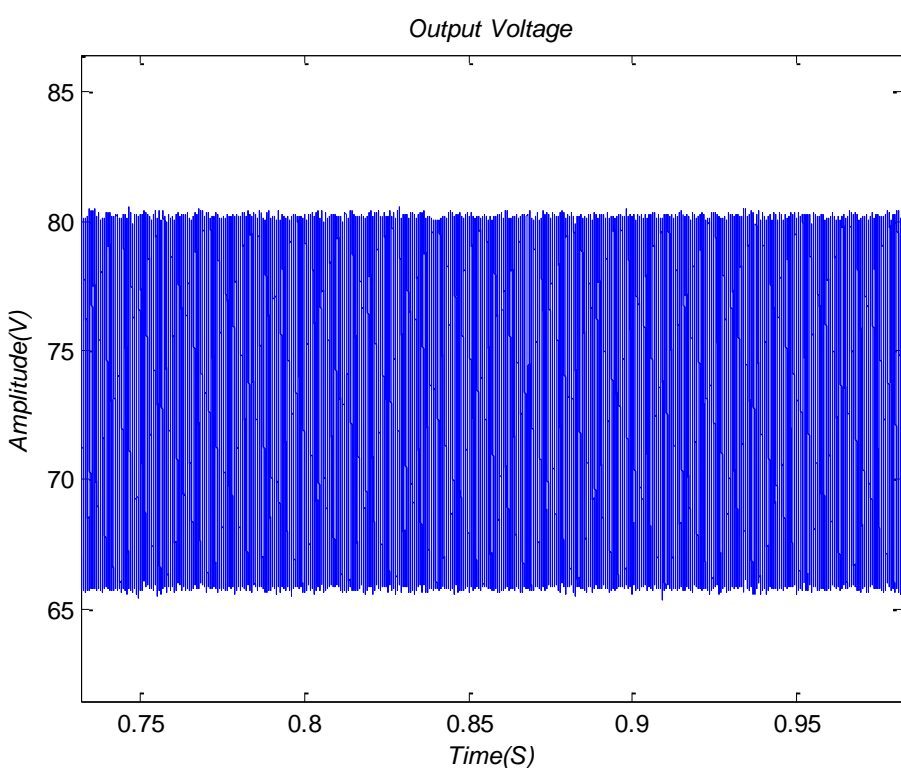
شکل ۲۲-۴: ولتاژ خروجی مبدل افزاینده ساده با کنترل کننده مقاوم



شکل ۲۳-۴: ولتاژ خروجی مبدل افزاینده ساده با کنترل کننده مقاوم

از آنجایی که سرعت پاسخ سیستم بالا است برای بررسی بیشتر پاسخ سیستم را در بازه 0.1 ثانیه در شکل ۲۳-۴ رسم می‌کنیم. مشاهده می‌شود که با وجود آن که سرعت پاسخ سیستم بالا است اما برخلاف مبدل SEPIC که فراجهشی نداشت، این مبدل فراجهش حدوداً 20 ولتی دارد.

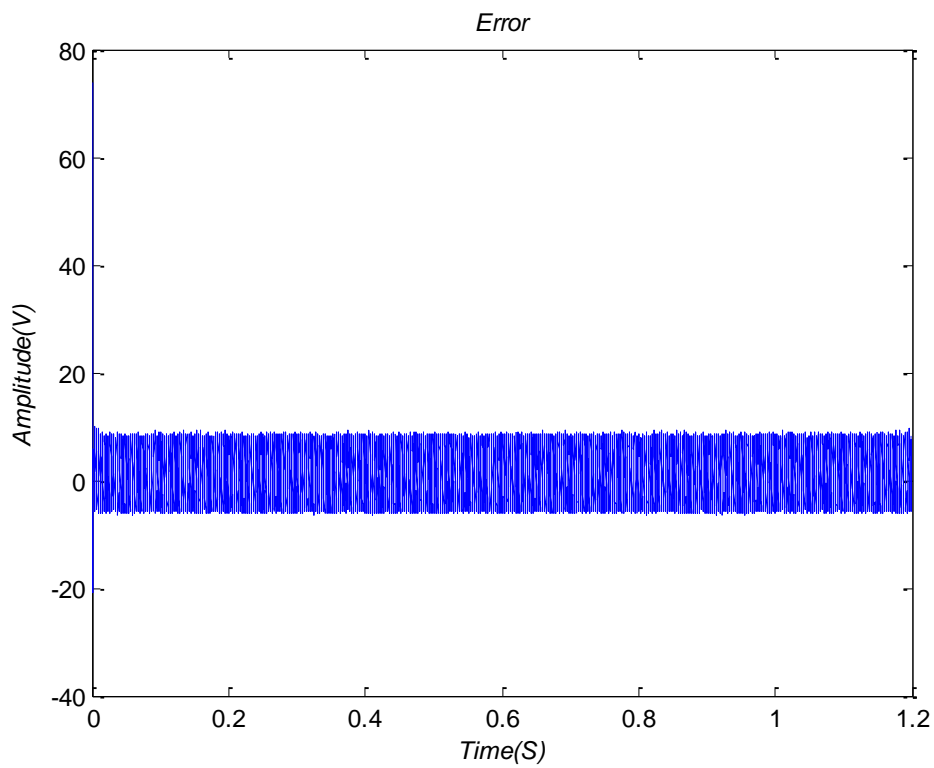
نمودار بزرگ‌نمایی شده شکل ۲۲-۴ نشان‌دهنده دقت ولتاژ خروجی و همچنین میزان ریپل موجود در آن خواهد بود که در شکل ۲۴-۴ آمده است.



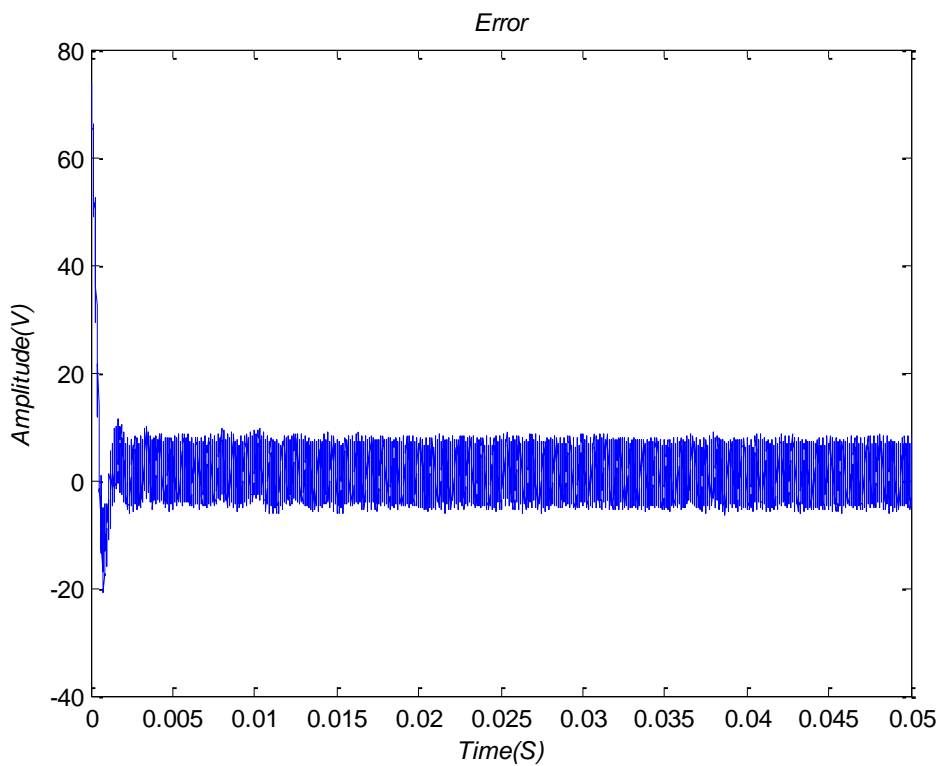
شکل ۲۴-۴: ریپل ولتاژ خروجی مبدل افزاینده ساده با کنترل کننده مقاوم

ملاحظه می‌شود که ریپل ولتاژ خروجی مبدل افزاینده ساده برخلاف مبدل SEPIC مقدار بزرگی است (حدوداً 14 ولت) که مقدار زیادی است.

شکل ۲۵-۴ خطای ولتاژ خروجی را در بازه زمانی 1.2 ثانیه نشان می‌دهد:



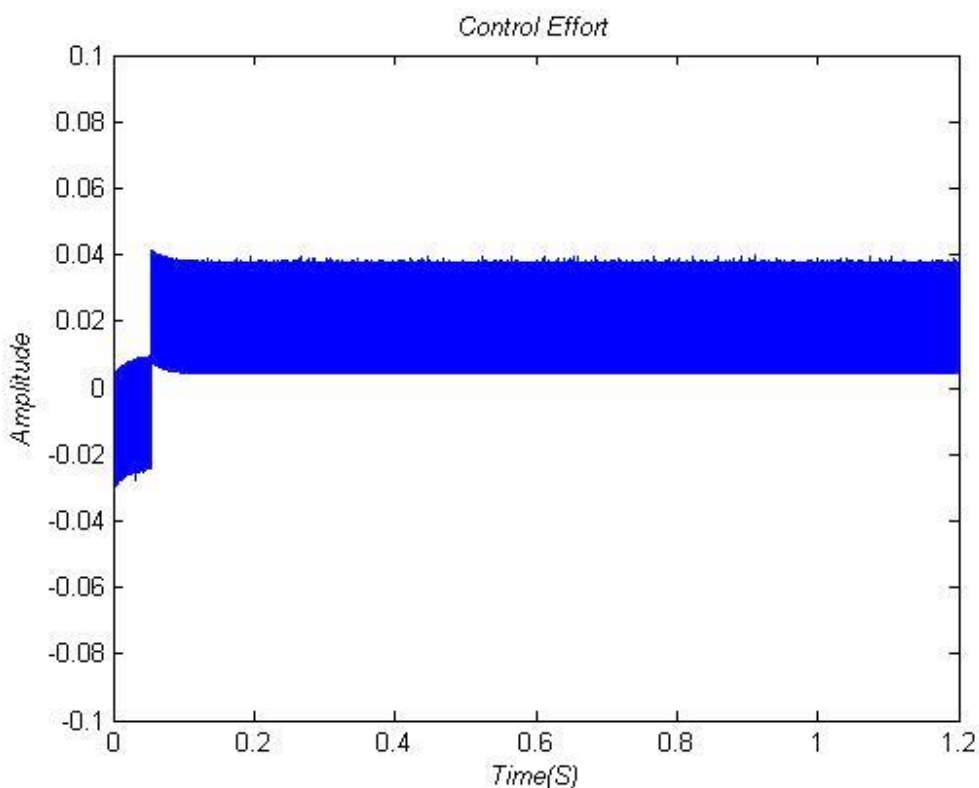
شکل ۲۵-۴: خطای ولتاژ خروجی مبدل افزاینده ساده با کنترل کننده مقاوم



شکل ۲۶-۴: خطای ولتاژ خروجی مبدل افزاینده ساده با کنترل کننده مقاوم

چون در شکل ۲۵-۴ جزئیات به خوبی به نمایش در نیامده است، خطای ولتاژ خروجی را در بازه‌ی زمانی 0.05 رسم کرده‌ایم (شکل ۲۶-۴). همان‌گونه که مشاهده می‌شود کنترل کننده با سرعت خوبی خط را کاهش داده است و در یک مقدار ثابت حفظ می‌کند اما پاسخ حالت گذرا دارای نوساناتی است.

در آخر سیگنال کنترل، کنترل کننده مقاوم برای مبدل SEPIC در مشخص است. همانطور که مشاهده می‌شود تلاش کنترلی صورت گرفته عدد 0.02 را نمایش می‌دهد. (تلاش کنترلی در این مبدل بین باید بین -0.5 تا $+0.5$ می‌بود)



شکل ۲۷-۴: سیگنال کنترل کننده مقاوم H_∞ برای مبدل افزاینده ساده

۷-۴ نتیجه‌گیری

در این فصل به شبیه‌سازی مبدل‌های الکترونیک قدرت SEPIC و افزاینده ساده پرداختیم. نتایج حاصل از شبیه‌سازی در بخش‌های قبل گواه آن است که مبدل SEPIC با کنترل کننده مقاوم در مقایسه با کنترل PI ضمن تضمین پایداری، فراجهشی ندارد و مقدار ریپل ولتاژ خروجی ۳ ولت است (شکل ۸-۴)، در حالی که در طرف مقابله مبدل SEPIC با کنترل کننده PI دارای فراجهش ۳۰ (شکل ۱۷-۴) و ریپل ولتاژ ۷.۲ ولت است (شکل ۱۸-۴) که دقت قابل قبولی نیست، اما زمان نشست کمتری در مقایسه با کنترل مقاوم دارد، همچنین در مقایسه بین کنترل کننده‌های مقاوم H_{∞} و سنتز M کنترل کننده H_{∞} عملکرد بهتری داشت.

در مقایسه نتایج حاصل از شبیه‌سازی بین مبدل‌های SEPIC و افزاینده ساده با کنترل کننده مقاوم، ولتاژ خروجی مبدل افزاینده ساده دارای فراجهش ۲۰ (شکل ۲۳-۴) و ریپل ولتاژ ۱۴ ولتی است (شکل ۲۴-۴) ولی سرعت بهتری در مقایسه با SEPIC دارد.

γν

فصل ۵

نتیجه گیری و پیشنهادات

۱-۵ نتیجه گیری

در این پایان نامه روش کنترل مقاوم H_{∞} برای مبدل SEPIC ارائه شده است. در ابتدا به بررسی مبدل های DC-DC که قابلیت استفاده در سیستم های فتوولتائیک را دارند پرداخته شده است، سپس در مورد کنترل مقاوم H_{∞} توضیحاتی ارائه شده است.

با بررسی های انجام شده دلایل انتخاب مبدل SEPIC ارائه شد و با استفاده از یک پنل ۳۰۵ واتی شرکت MAGI Solar آلمان روابط مدل سازی معادلات حالت میانگین مبدل، توابع تبدیل سیگنال ورودی و خروجی محاسبه گردید. تقریبی بودن این روابط و سایر تخمین ها وجود نامعینی و اغتشاشات باعث می شود تا در حالت کلی طراحی کنترل گرهای کلاسیک با ضرایب ثابت و بر اساس مدل بدست آمده، نتواند عملکرد مطلوب را داشته باشد.

نتایج بدست آمده در بخش پیاده سازی نشان می دهد که روش پیشنهادی عملکرد پایدارتری در برابر نامعینی و اغتشاشات موجود در مبدل نسبت به کنترل گر PI دارد.

همچنین برای مبدل SEPIC یک کنترل کننده PI و کنترل کننده مقاوم به روش سنتز μ طراحی گردید و بر روی مبدل افزاینده ساده روش کنترلی مقاوم H_{∞} پیاده سازی شد. نشان داده شد که کنترل مقاوم H_{∞} ضمن این که پایداری سیستم را تضمین می کند، کار کرد بهتری نیز دارد.

در مقایسه بین کنترل مبدل های SEPIC و افزاینده ساده مشاهده شد که مبدل SEPIC بهتر است و پاسخ بهتری مخصوصاً در ریپل ولتاژ و فراجهش کمتر، نسبت به مبدل افزاینده ساده دارد.

۲-۵ پیشنهادات

- استفاده از مدارهای اسنابر در مبدل SEPIC

مدارهای اسنابر مدارهای کوچکی هستند که موجب افزایش کیفیت قابلیت اعتماد مبدل می‌شوند. از مهمترین مزایای اسنابرها می‌توان به کاهش تلفات سوئیچینگ و میرا کردن نوسانات ولتاژ و جریان سوئیچ اشاره کرد.

- استفاده از کنترل هایبرید

با توجه به ماهیت کلیدزنی مبدل‌های الکترونیک قدرت می‌توان آن‌ها را در قالب سیستم‌های هایبرید بیان کرد و سپس کنترل‌کننده مورد نظر را طراحی نمود.

- استفاده از ردیاب ماکزیمم توان

از آنجایی که بازده سیستم‌های فتوولتائیک به توان خروجی پنل نیز مرتبط است می‌توان از ردیاب ماکزیمم توان برای بهبود عملکرد سیستم نیز استفاده کرد.

منابع

- [1] W. C. Sinke, D. F. Montoro, E. Despotou, S. Nowak, and E. Perezagua, “The solar Europe industry initiative: Research, technology development and demonstration in support of 2020 and long-term targets,” Conf. Rec. IEEE Photovolt. Spec. Conf., pp. 424–429, 2010.
- [۲] ع.رجیبی، م. سیماب، ج.آقایی ” طراحی سیستم پردازنده توان تک مرحله‌ای جهت اتصال آرایه‌های فتوولتائیک به شبکه برق تک‌فاز“، دومین همایش ملی انرژی‌های نو و پاک، ۱۳۹۲
- [3] D. a I. Qinghui and C. Jun, “Improving the efficiency of solar photovoltaic power generation in several important ways,” Int. Technol. Innov. Conf. 2009 (ITIC 2009), pp. 15–15, 2009.
- [4] G. Franceschini, E. Lorenzani, M. Cavatorta, A. Bellini, “3boost: A High-Power Three-Phase Step- Up Full-Bridge Converter for Automotive Applications,” IEEE Trans. Ind. Electron, vol. 55, no.1, pp. 173-183, Jan. 2008.
- [5] J. A. Morales-Saldana, R. Galarza-Quirino, J. Leyva-Ramos, E. E. Carbajal-Gutierrez, and M. G. Ortiz-Lopez, “Multiloop controller design for a quadratic boost converter,” Electric Power Applications, IET, vol. 1, no. 3. pp. 362–367, 2007.
- [6] M. Perez, R. Ortega, and J. R. Espinoza, “Passivity-based PI control of switched power converters,” Control Systems Technology, IEEE Transactions on, vol. 12, no. 6. pp. 881–890, 2004.
- [7] V. F. Montagner and L. D. Peres, “ H_{∞} control with pole location for a DC-DC converter with a switched load,” 2003 IEEE Int. Symp. Ind. Electron. (Cat. No.03TH8692), vol. 1, 2003.
- [8] H. El Fadil and F. Giri, “Robust and Nonlinear Control of PWM DC-to-DC Boost Power Converters,” in 2007 IEEE Power Electronics Specialists Conference, 2007, pp. 407–412.
- [9] V. F. Montagner, L. a. Maccari, R. C. L. F. Oliveira, and H. Pinheiro, “Robust $\mathcal{H}2$ control applied to boost converters: design, experimental validation and performance analysis,” IET Control Theory Appl, vol. 6, no. 12, pp. 1881–1888, 2012.
- [10] R. Naim, G. Weiss, and S. Ben-Yaakov, “ H_∞ control applied to boost power converters,” IEEE Trans. Power Electron, vol. 12, no. 4, pp. 677–683, 1997.
- [11] M. Killi and S. Samanta, “An Adaptive Voltage Sensor Based MPPT for

Photovoltaic Systems with SEPIC Converter including Steady State and Drift Analysis," *Industrial Electronics, IEEE Transactions on*, vol. PP, no. 99. p. 1, 2015.

- [12] S. Venkatanarayanan and M. Saravanan, "Control of SEPIC converter using neural network tuned PI controller," Power, Energy and Control (ICPEC), 2013 International Conference on. pp. 458–462, 2013.
- [13] A. El Khateb, N. Abd Rahim, J. Selvaraj, and M. N. Uddin, "Fuzzy-Logic-Controller-Based SEPIC Converter for Maximum Power Point Tracking," Industry Applications, IEEE Transactions on, vol. 50, no. 4. pp. 2349–2358, 2014.
- [14] E. Mamarelis, G. Petrone, and G. Spagnuolo, "Design of a Sliding-Mode-Controlled SEPIC for PV MPPT Applications," Industrial Electronics, IEEE Transactions on, vol. 61, no. 7. pp. 3387–3398, 2014.
- [15] I. Bendaas and F. Naceri, "A new method to minimize the chattering phenomenon in sliding mode control based on intelligent control for induction motor drives," *Serbian J. Electr. Eng*, vol. 10, no. 2, pp. 231–246, 2013.
- [16] D-W. Gu, P. H. Petkov, and M. M. Konstantinov, *Robust Control Design with MATLAB*, 2nd edn. Secaucus, NJ, USA: Springer-Verlag New York, Inc, 2013.
- [17] D.Jeba Sundari Newlin," A Performance Comparison of Interleaved Boost Converter and Conventional Boost Converter for Renewable Energy Application"Proceedings of 2013 International Conference on Green High Performance Computing March 14-15, 2013, India
- [18] R. J. Wai, C. Y. Lin, C. C. Chu, "High step-up DC-DC converter for fuel cell generation system," in Proc. IEEE IECON'04, 2004, pp. 57-62
- [19] H. S. Chung, A. Ioinovici, W. L. Cheung, "Generalized structure of bi-directional switched-capacitor DC/DC converters," IEEE Trans. Circuits and Syst. I Fundam Theory Appl, vol. 50, no.6, pp. 743-753, Jun. 2003.
- [20] E. H. Ismail, M. A. Al-Saffar, A. J. Sabzali, A. A. Fardoun, "A Family of Single-Switch PWM Converters With High Step-Up Conversion Ratio," IEEE Trans. Circuits and Syst. I Regular Papers, vol. 55, no.4, pp. 1159-1171, May 2008.
- [21] R. J. Wai, R. Y. Duan, "High step-up converter with coupled-inductor," IEEE Trans. Power Electron, vol. 20, no.5, pp. 1025-1035, Sept. 2005.
- [22] R. Saravanakumar, High step-up isolated efficient single switch DC-DC converter for renewable energy source/Ain Shams Engineering Journal/ Available 3 June 2014
- [23] L. huber, M. M. Jovanovic, "A design approach for server power supplies for

networking,” in Proc. IEEE INTELEC’00 2000, p. 1163-1169.

- [24] M. Kalantar and S. M. G. Mousavi, “Posicast control within feedback structure for a DC – DC single ended primary inductor converter in renewable energy applications,” *Appl. Energy*, vol. 87, no. 10, pp. 3110–3114, 2010.
- [25] A. Ghasemi, S. Ieee, S. Fazlollohzadeh, E. Adib, and M. Ieee, “A New Non-isolated High Step-up SEPIC Converter for Photovoltaic Applications,” pp. 51–56, 2012.
- [26] M. Jabbari and H. Farzanehfard, “Family of soft-switching resonant DC – DC converters,” *Power Electron. IET*, no. January 2007, pp. 113–124, 2009.
- [27] U. R. Prasanna, A. K. Rathore, S. Member, S. K. Mazumder, S. Member, and A. A. Zcs, “Novel Zero-Current-Switching Current-Fed Half-Bridge Isolated DC / DC Converter for Fuel-Cell-Based Applications,” vol. 49, no. 4, pp. 1658–1668, 2013.
- [28] A. Mousavi, P. Das, G. Moschopoulos, and S. Member, “A Comparative Study of a New ZCS DC – DC Full-Bridge Boost Converter With a ZVS Active-Clamp Converter,” vol. 27, no. 3, pp. 1347–1358, 2012.
- [29] J. Doyle, B. Francis, and A. Tannenbaum, “Feedback Control Theory,” *Design*, vol. 134, no. 6, p. 219, 1990
- [30] S. J. Chiang, H-J. Shieh, and M-C. Chen, “Modeling and Control of PV Charger System With SEPIC Converter,” *Industrial Electronics, IEEE Transactions on*, vol. 56, no. 11. pp. 4344–4353, 2009.
- [31] Z. Chen, “PI and Sliding Mode Control of a Cuk Converter,” *Power Electronics, IEEE Transactions on*, vol. 27, no. 8. pp. 3695–3703, 2012.
- [32] A. El Khateb, N. A. Rahim, and J. Selvaraj, “Optimized PID controller for both single phase inverter and MPPT SEPIC DC/DC converter of PV module,” *Electric Machines & Drives Conference (IEMDC), 2011 IEEE International*. pp. 1036–1041, 2011.
- [33] A. El Khateb, N. A. Rahim, J. Selvaraj, and M. N. Uddin, “Maximum power point tracking of single-ended primary-inductor converter employing a novel optimisation technique for proportional-integral-derivative controller,” *Power Electronics, IET*, vol. 6, no. 6. pp. 1111–1121, 2013.
- [34] N. Mohan “First Course on Power Electronics AND Drives,”, MNPERE, Year 2003 Edition
- [35] <http://www.magisolar.com/default.php?mod=c&s=ss4efafbc>

- [36] M. Biswal, “control techniques for DC-DC buck converter with improved performance”, M.Sc Dissertation, Dept. ECE, National Institute of Technology Rourkela, Mar.2011.
- [37] B. Johansson, “DC-DC Converters - Dynamic Model Design and Experimental Verification”. Doctora Dissertation, Dept IEA, Lund University,2004
- [38] S. Skogestad and I. Postlethwaite, “*Multivariable feedback control: analysis and design,*”John Wiley & Sons ,vol. 21. 2005.
- [39] K. Zbou, J.C. Doyle “Essentials of robust control,” 3st Edition, Automatica, vol. 38, no. 5. pp. 910–912, 2013
- [40] K. Ogata, “Modern Control Engineering,”,Tom Robbins, vol. 17. 2010

[۴۱] محبوبه رضائی " طراحی کنترل کننده با روش شکل دهی حلقه H_{∞} برای مبدل افزاینده ولتاژ ثابت مرتبه ۲ با استفاده از الگوریتم ممتیک " دانشگاه شاهروود، ۱۳۹۲

Abstract

To stabilize the output voltage of the photovoltaic systems DC-DC converters usually are used, among these converters SEPIC converter with respect to its features is a suitable option for this work. As this converter be controlled better overall efficiency of system increases, according to the non-linear behavior, existing uncertainties, parametric changes, load disturbances and variable input voltage in DC-DC converters, classic line controllers generally lose their desired and do not show good control functions. H_∞ Linear optimal robust controllers show desired functions against unspecified (parametric and non-parametric) and disturbances. This thesis has been presented with the aim of controlling SEPIC converter voltage in the presence of system parametric changes using H_∞ robust control method. For this purpose, after the introduction of SEPIC converter, system state-space model and system modeling with an unspecified has been done and H_∞ robust controller has been designed to control the output voltage. Then robust controller function results and also compared with PI controller method have been presented. The simulation results show the superiority of H_∞ robust controller toward the PI controller.

Keywords: H_∞ robust controller, SEPIC converter, Uncertainty, PI controller



University of Shahrood

Faculty of Electrical & Robotic Engineering

Robust H_{∞} Control of SEPIC Converter for Photovoltaic Applications

Vahid Kamali

Supervisor:

Dr Hossein Gholizade-Narm

September of 2015